

Utjecaj orhidektomije na izvanorbitalnu suznu žljezdu štakora

Grahovac, Gordan

Doctoral thesis / Disertacija

2015

Degree Grantor / Ustanova koja je dodijelila akademski / stručni stupanj: **University of Zagreb, School of Medicine / Sveučilište u Zagrebu, Medicinski fakultet**

Permanent link / Trajna poveznica: <https://urn.nsk.hr/um:nbn:hr:105:964370>

Rights / Prava: [In copyright/Zaštićeno autorskim pravom.](#)

Download date / Datum preuzimanja: **2024-05-09**



Repository / Repozitorij:

[Dr Med - University of Zagreb School of Medicine](#)
[Digital Repository](#)



SVEUČILIŠTE U ZAGREBU
MEDICINSKI FAKULTET

Gordan Grahovac

**Utjecaj orhidektomije na
izvanorbitalnu suznu žljezdu štakora**

DISERTACIJA



Zagreb, 2015.

SVEUČILIŠTE U ZAGREBU
MEDICINSKI FAKULTET

Gordan Grahovac

**Utjecaj orhidektomije na
izvanorbitalnu suznu žljezdu štakora**

DISERTACIJA

Zagreb, 2015.

Disertacija je izrađena u Zavodu za histologiju i embriologiju Medicinskog fakulteta Sveučilišta u Zagrebu, Centru za elektronsku mikroskopiju Medicinskog fakulteta Sveučilišta u Zagrebu i Zavodu za kliničku i eksperimentalnu patologiju na odjelu za elektronsku mikroskopiju i imunofluorescenciju Kliničke bolnice Dubrava.

Voditelj rada: prof. dr. sc. Davor Ježek

Zahvaljujem mentoru prof. dr. sc. D. Ježeku na velikoj pomoći tijekom pripreme i izrade ove disertacije.

Zahvaljujem laboratorijskim tehničarima u Zavodu za histologiju i embriologiju te Centru za elektronsku mikroskopiju Medicinskog fakulteta Sveučilišta u Zagrebu na pomoći pri pripremi preparata.

Srdačno zahvaljujem svojoj obitelji na podršci i velikom razumijevanju, bez čega ništa od ovog ne bi bilo ostvarivo.

1.	Uvod	1
2.	Anatomija suznog aparata štakora	2
3.	Histološka građa suzne žljezde štakora.....	3
3.1	Matične stanice acinusa suzne žljezde štakora	5
3.2	Inervacija suzne žljezde štakora	6
4.	Funkcija suzne žljezde štakora.....	7
5.	Promjene izvanorbitalne suzne žljezde sa starenjem životinje	7
6.	Rast i mitotska aktivnost izvanorbitalne suzne žljezde štakora.....	9
7.	Ekspresija androgenih i estrogenih receptora u izvanorbitalnoj suznoj žljezdi štakora	10
8.	Harderova žljezda	11
9.	“Harderizacija”	12
10.	Cilj i svrha rada.....	13
11.	Uzorci i postupci.....	14
11.1	Životinje	14
11.2	Postupci	15
11.2.1	Analgezija i anestezija životinja	15
11.2.2	Žrtvovanje životinja.....	15
11.2.3	Obrada tkiva izvanorbitalne suzne žljezde	16
11.2.4	Kvalitativna histološka analiza	17
11.2.5	Kvantitativna stereološka analiza	19
11.2.5.1	Morfometrijska (stereološka) analiza na svjetlosnoj mikroskoposkoj razini	19
11.2.5.2	Morfometrijska (stereološka) analiza na ultrastrukturnoj razini	21
11.2.6	Statistička obrada podataka	22
12.	Rezultati	22
12.1	Kvalitativna histološka analiza	22
12.1.1	Kontrolna skupina životinja.....	22
12.1.1.1	Analiza tkiva na tankim i polutankim rezovima.....	22
12.1.1.2	Analiza tkiva na ultratankim rezovima.....	25
12.1.2	Lažno orhidektomirana skupina životinja.....	28
12.1.2.1	Analiza tkiva na tankim i polutankim rezovima.....	28
12.1.2.2	Analiza tkiva na ultratankim rezovima.....	29
12.1.3	Orhidektomirana skupina životinja.....	30
12.1.3.1	Analiza tkiva na tankim i polutankim rezovima.....	30
12.1.3.2	Analiza tkiva na ultratankim rezovima.....	30
12.2	Kvantitativna (stereološka) analiza	32
12.2.1	Volumenska gustoća veziva i acinusa u mm ³ tkiva	32
12.2.2	Dužinska gustoća intralobularnih odvodnih kanala u mm ³ tkiva	32
12.2.3	Volumenska gustoća staničnih organela.....	33
13.	Rasprava	36

14.	Zaključak	47
15.	Sažetak.....	49
16.	Summary	52
17.	Popis literature	54
18.	Prilozi kvalitativne histološke analize	64
19.	Prilozi kvantitativne histološke analize	80
19.1	Grafikoni.....	80
19.2	Tablice	88
20.	Životopis.....	114

Popis oznaka i kratica

\bar{x}	— srednja vrijednost
AC	— žlijezdani acinus
A _t	— površina testnog sustava
cAMP	— ciklični adenozin monofosfat prema engl. <i>cyclic adenosine monophosphate</i>
CAP	— kapilara
cm	— centimetar
D	— intralobularna cijev
d	— duljina testne linije
f	— fibrocit
G	— Golgijevo tijelo
hER	— hrapava endoplazmatska mrežica
HIOMT	— <i>hidroksiindol-O-metiltransferaza</i>
IOK	— pravi odvodni kanal
KONT.	— intaktna kontrolna grupa životinja
L	— lumen acinusa
L.OP.	— lažno operirana grupa životinja

L_t	—	ukupna duljina testnih linija
LU	—	lumen kanalića
L_v	—	duljinska gustoća
m	—	mioepitelna stanica
mg	—	miligram
mg/kg	—	miligram po kilogramu
mm	—	milimetar
mm^2	—	kvadratni milimetar
mOsmol	—	mili osmol
N	—	jezgra
n	—	broj mikroskopskih mjerjenja
NAT	—	N-acetiltransferaza
nm	—	nanometar
ORH.	—	orhidektomirana grupa životinja
P_f	—	broj testnih točaka
pH	—	mjera kiselosti ili lužnatosti vodene otopine
P_t	—	ukupan broj testnih točaka
Q	—	broj probodišta kroz testnu plohu

- RT- — obrnuto prepisivanje – lančana reakcija polimerazom prema engl.
- PCR — *reverse transcription polymerase chain reaction*
- S — sekretna zrnca
- s — standardna devijacija varijable
- SHBG — globulin koji veže spolne hormone prema engl. *sex hormone-binding globulin*
- SXGA — prema engl. *super extended graphics array*
- TIFF — prema engl. *tagged image file format*
- v — vezivno tkivo
- VIP — vazoaktivni intestinalni peptid
- V_v — volumenska gustoća
- μm — mikrometar
- μm^2 — kvadratni mikrometar

1. Uvod

Funkcija suzne žlijezde je održavanje stabilnog mikrookoliša epitela konjuktive i rožnice, pomažući mu da održi svoju aktivnu funkciju. Brojni su znanstvenici u 19. stoljeću opisali osnovnu morfologiju i patologiju suzne žlijezde u čovjeka, no tek je Schrimer 1903. povezao sindrom suhih očiju s patološkim nalazom suznih žlijezda [1]. Da bi se dobio uvid u normalnu funkciju te da bi se objasnila patogeneza i patofiziologija brojnih bolesti koje obuhvaćaju suznu žlijezdu čovjeka, istraživači se koriste raznim životinjskim modelima. Najčešće su korišteni modeli miša, štakora i zeca, a nešto rjeđe hrčka. Tijekom vremena došlo se do spoznaje da postoji značajna razlika u građi suznih žlijezda raznih sisavaca. Pri tome se kod interpretacije rezultata pojedinih istraživanja mora uzeti u obzir značajna razlika u građi i funkciji suzne žlijezde među životinjskim modelima. Razlika između suznih žlijezda miša, štakora i zeca ogleda se u ustroju, imunosnoj, sekretornoj te hormonalnoj razini u sva tri modela [2].

Veliki doprinos razumijevanju ultrastuktурне građe žlijezde štakora dalo je nekoliko istraživača poput Walkera, Baquiche, Herzoga, Drapera i Singa [3-7].

Sindrom suhih očiju javlja se u onim slučajevima kada suzna žlijezda nije u stanju izlučiti suze u dovoljnoj količini i pravilnog sastava, a sve je češća pojava u kliničkoj praksi radi brojnije populacije starije životne dobi.

Suzna žlijezda je tubuloalveolarna žlijezda, u kojoj sekretni dio čine acinusi te čiji sekret odvode kanalići i kanali na površinu oka. Istu takvu histološku organizaciju možemo naći i u žlijezdama slinovnicama, gušterići i ostalim žlijedama s egzokrinim izlučivanjem. Poznato je da određeni virusi pokazuju svojstvo organotropnosti, poput virusa parotitisa u ljudi. Virus parotitisa uzrokuje infekciju ne samo žlijezda slinovnica, već može uzrokovati i infekciju

suznih žljezda, gušterače, sjemenika, jajnika, središnjeg živčanog sustava i drugih organa. Iz epidemioloških istraživanja je dokazano da je infekcija doušne žljezde, suznih žljezda i gušterače učestalija nego infekcija ostalih organa, što može biti povezano s istom histološkom građom tih egzokrinih žljezda [8-10].

Unatoč dosadašnjim istraživanjima provedenim na suznoj žljezdi štakora malo se zna kako spolne žljezde (testisi) utječu na histološku građu i funkciju izvanorbitalne suzne žljezde štakora. Ovo istraživanje ima za cilj proširiti spoznaje o tome kako muške spolne žljezde (testisi) utječu na građu izvanorbitalne suzne žljezde.

2. Anatomija suznog aparata štakora

Suzni aparat štakora sastoji se od tri suzne žljezde: 1) izvanorbitalne žljezde, 2) infraorbitalne žljezde i 3) Harderove žljezde.

Izvanorbitalna suzna žljezda je plosnatog oblika a nalazi se na lateralnoj strani lica štakora neposredno ispred i ispod uha, sa svojom dužom osovinom usmjerena je okomito na zigomatični luk. Duboki dio te žljezde leži na temporalnom mišiću, zigomatičnom nastavku temporalne kosti i površinskom dijelu masetera [11]. Glavni odvodni kanal žljezde nalazi se na gornjem prednjem polu žljezde i usmjeren je prema naprijed, te preko temporalnog mišića odlazi prema vanjskom dijelu gornje vjeđe. Prije nego što dosegne gornju vjeđu, odvodnom kanalu izvanorbitalne žljezde pridružuje se odvodni kanal infraorbitalne žljezde čineći zajednički odvodni kanal. Zajednički odvodni kanal prolazi kroz vanjski dio gornje vjeđe i izljeva se u vanjski dio gornjeg forniksa spojnica [12].

Infraorbitalna žljezda smještena je u trokutastom prostoru unutar orbite. Donju granicu tog trokutastog prostora čini zigomatični luk, gornju granicu određuje odvodni kanal

izvanorbitalne žljezde, a medijalnu granicu čini očna jabučica. Žljezda se proteže u dubinu orbite sve do njezinog vrha. Površinski dio infraorbitalne žljezde pokriven je fascijom vjeđe. Odvodni kanal infraorbitalne žljezde je u većini slučajeva smješten na prednjem gornjem dijelu žljezde i usmjeren je ravno i prema gore. Nakon kraćeg samostalnog tijeka spaja sa glavnim odvodnim kanalom izvanorbitalne suzne žljezde čineći zajednički odvodni kanal tih dviju žljezdi [12].

Harderova žljezda nalazi se svojim najvećim dijelom u dubljem dijelu očne šupljine, a samo je sa jednim svojim manjim dijelom (vanjskim rubom, između bulbusa oka i ruba očne šupljine) u kontaktu sa površinskim dijelom oka. Svojim smještajem Harderova žljezda obuhvaća gornju, medijalnu i donju četvrtinu cirkumferencije bulbusa oka. Harderova žljezda je konkavnog izgleda. Stražnji dio bulbusa oka se utiskuje u samu žljezdu. Harderova žljezda je podijeljena u nekoliko dijelova većim vezivnim pregradama i usjecima. Oblik žljezde uvjetovan je razvojem očne šupljine i njezinim ostalim anatomskim dijelovima. Površinski dio žljezde pokriven je fascijom vjeđe [12].

3. Histološka građa suzne žljezde štakora

Acinusi suzne žljezde štakora su gusto zbijeni s malo vidljive strome između pojedinih acinusa, a ukupno čine oko 80% volumena žljezde [2]. Zajedno s početnim dijelom odvodnih kanalića (koji odvode sadržaj žljezde na površinu oka) čine režnjiće. Režnjići su organizirani u režnjeve koji su međusobno povezani većom količinom vezivnog tkiva. Uobičajeno je da nekoliko velikih režnjeva čini jednu žljezdu, a međusobno su obavijeni većom količinom veziva koje se naziva žljezdana kapsula.

Odvodni sustav suzne žljezde štakora i miša do danas nije detaljnije proučavan te postoji oskudna literatura koja se bavi građom tog sustava. Početni dio odvodnog sustava suzne žljezde naziva se prijelazna cijev i ona spaja acinus s intralobularnim kanalićem. Pokrivena

je pločastim do kubičnim epitelom koji leži na bazalnoj membrani i obložena je mioepitelnim stanicama. Stanice prijelazne cijevi razlikuju se od stanica acinusa po tome što ne sadrže sekretna zrnca i imaju brojna bazolateralna uvrnuća membrane i brojne mitohondrije. Kada se odvodni sustav promatra elektronskim mikroskopom, povremeno je moguće zamijetiti i poneko sekretno zrnce elektronskomikroskopski gustog sadržaja [2,13].

Uloga odvodnog sustava i njegovog epitela je odvodnja sekreta žlijezde (suza) na površinu oka, te održavanje stabilnog elektrolitnog i proteinskog sastava suza [14].

Osnovni dijelovi žlijezde, acinusi, udruženi su u manje režnjiće (lobuluse) koji su međusobno razdvojeni interlobularnim vezivnim tkivom. Između žljezdanog tkiva umeću se odvodni kanali i prave odvodne cijevi sa pratećim krvnim žilama i živčanim tkivom. Sama žlijezda je okružena gustim fibroznim tkivom koji čini kapsulu žlijezde [15,16]. Svjetlosno mikroskopska građa odvodnog sistema žlijezde organizirana je na sljedeći način:

1. intralobularni kanalići
2. interlobularni kanalići
3. intralobarni kanali
4. interlobarni kanal.

Interlobarni kanali se spajaju i čine glavni odvodni kanal žlijezde koji odvodi sekretni sadržaj žlijezde na površinu oka. U miša i štakora opisani su često višestruki odvodni kanali.

Acinusi i odvodni kanali leže na bazalnoj membrani i vezivnom tkivu u kojem se nalaze fibroblasti i izvanstanični (ekstracelularni) matriks. Ekstracelularni matriks i fibroblasti čine vezivno tkivo žlijezde te su postupno sve razvijeniji na svakom idućem stupnju odvodnog sustava žlijezde. Acinusi i početni elementi odvodnog sustava žlijezde obloženi su i mioepitelnim stanicama. Svaka žlijezda je dobro opskrbljena krvožilnim i perifernim

živčanim sustavom. Žljezda je inervirana simpatičkim i parasimpatičkim vlaknima koji ulaze u žljezdu kroz hilus žljezde.

Stanice acinusa suzne žljezde štakora imaju vrlo dobro razvijenu endoplazmatsku mrežicu. U stanicama acinusa nalaze se i brojna sekretna zrnca koja se nakupljaju u apikalnom dijelu citoplazme usmjerenom prema lumenu acinusa. Uobičajeno je da je lumen acinusa i početnog dijela intralobulanog kanalića vrlo malen i slabo vidljiv (zamjećuje se samo pri jačim povećanjima i to samo u nekih acinusa) [2].

Površina acinusa promatrana skening elektronskim mikroskopom pokazuje izrazitu složenost. U nekim slučajevima invaginacije s površine acinusa mogu sezati sve do bazalne membrane. Stanice acinusa povezane su brojnim čvrstim spojevima, zonulama okludentes [2].

3.1 Matične stanice acinusa suzne žljezde štakora

Dart i suradnici uspjeli su u svom istraživanju izolirati matične stanice acinusa iz suzne žljezde štakora u primarnu staničnu kulturu [17]. Matične stanice suzne žljezde eksprimiraju nestin, Ki-67, mioepitelni stanični marker, aktin glatkog mišića, α -aktin, vimetin te adenil ciklazu II. Nestin je čimbenik specifičan za matične stanice, dok je Ki-67 čimbenik proliferacije [17].

Istim istraživanjem dokazano je da se primarna stanična kultura matičnih stanica acinusa suzne žljezde štakora može potaknuti u dediferencijaciju. Matične stanice postupkom dediferencijacije postaju mioepitelne stanice. Iz prijašnjih istraživanja je poznato da mioepitelne stanice okružuju acinuse i odvodne kanaliće. Tim istraživanjem je dokazano da mioepitelne stanice suzne žljezde mogu zadržati određenu progenitornu staničnu funkciju [17].

3.2 Inervacija suzne žljezde štakora

Suzna žljezda štakora je dobro inervirani organ sa simpatičkim i parasimpatičkim autonomnim živčanim sustavom. Mali živčani ogranci autonomnog živčanog sustava mogu se prikazati selektivnim bojanjima u vezivnom tkivu žljezde zajedno s krvožilnim i odvodnim sustavom žljezde. Veći živčani ogranci autonomnog živčanog sustava granaju se sve do tankih nježnih snopova živčanih vlakana između acinusa. Većinu živčanih snopova čine nemijelinizirana vlakna, ali mogu se naći i mijelinizirana vlakna. Glavi neurotransmiter u završecima parasympatetičnih vlakana je acetilkolin i VIP, a u simpatičkim vlaknima je to noradrenalin. Imunohistokemijska i imunofluorecentska istraživanja pokazala su prisustvo i drugih neurotransmitera poput histamina i supstance P [18-20].

Suzna žljezda štakora značajno je više inervirana kolinergičnim nego adrenergičnim neuronima [21]. Funkcionalne studije su pokazale da je fiziološki važnija adrenergična inervacija žljezde [22-24].

Sekreciju bjelančevina suzne žljezde može se potaknuti adrenergičnim, kolinergičnim agonistima te VIP-om [20,25-28]. Sekrecija bjelančevina potaknuta kolinergičnim agonistima odvija se zbog povećane koncentracija unutarstaničnog kalcija (Ca^{+2}), za razliku od sekrecije potaknute VIP i β - adrenergičnom stimulacijom koja se odvija radi povećane unutarstanične koncentracije adenozin 3'5' cikličnog monofosfata (cAMP) [20,29,30].

4. Funkcija suzne žlijezde štakora

Funkcija izvanorbitalne suzne žlijezde štakora je sekrecija vodenastog sekreta koji čini suzni premaz preko oka. Suze su sastavljene uglavnom od vode, elektrolita i bjelančevina [14,29,30].

Aleksander i sur. dokazali su da suzna žlijezda štakora proizvodi sekret koji je svojim sastavom sličan sastavu žlijezda slinovnica i gušterače (na razini prijelaznih cijevi) te da ima sastav iona sličan ultrafiltratu plazme [14]. Tijekom prolaska kroz odvodni sustav žlijezde dolazi do promjene u elektrolitnom sastavu sekreta žlijezde, naime, do povećane koncentracije iona K^+ . Kako je suzna žlijezda štakora seromukozna žlijezda, serozni dio žlijezde je odgovoran za sekreciju bjelančevina u sekretu žlijezde a mukozni dio odgovoran je za više hidrirani dio sekreta.

Lipokalin je protein koji je u najvećoj koncentraciji zastavljen u suzama, dok su drugi proteini poput: peroksidaze, laktoferina, lizozima, beta lizina te sekretorni imunoglobulini A i G zastupljeni u značajnoj manjoj koncentraciji [4,15,31].

Starenje životinje dovodi i do usporednog starenja žlijezde dovodeći do promjena u morfologiji suzne žlijezde. Zamjećena je povećana infiltracija žlijezde upalnim stanicama, atrofija acinusa i peptidergična inervacija žlijezde. Morfološke promjene uzrokovane starenjem imaju za posljedicu smanjenju sekreciju bjelančevina u suzama na kolinergičnu i adrenergičnu stimulaciju žlijezde [16,32,33].

5. Promjene izvanorbitalne suzne žlijezde sa starenjem životinje

Izvanorbitalna suzna žlijezda mlade životinje razlikuje se na makroskopskoj i mikroskopskoj razini od žlijezde stare životinje. Dosadašnja istraživanja dala su uvid u morfološku

organizaciju i promjenu morfološke organizacije žljezde u ovisnosti o starosti same životinje. Žljezda životinje stare od 3 do 5 mjeseci viđena golim okom ima glatku površinu, ružičasto je smeđe boje te okružena rahlim vezivnim tkivom [15].

Sa starenjem žljezda mijenja svoj makroskopski izgled i kod životinja starosti od 20 do 24 mjeseca izgleda kao da je sastavljena od više blijedih režnjeva. Bjelasti i režnjati izgled starije žljezde posljedica je infiltracije žljezdanog tkiva masnim i vezivnim tkivom. U životinja starijih od 20 mjeseci, raho vezino tkivo zamjenjeno je čvrstim vezivnim tkivom [15]. Sa starenjem mijenja se i inervacija same izvanorbitalne suzne žljezde štakora te se gusta inervacija kolinergičkim, adrenergičnim i peptidergičnim živčanim ograncima značajno smanjuje kod životinja starijih više od 24 mjeseca [16].

Kod životinja životne dobi od 20 do 24 mjeseca na svjetlosnoj mikroskopskoj razini uočavaju se određene promjene. Žljezda pokazuje uznapredovale morfološke promjene poput: zadebljanja vezivnog tkiva žljezde i same čahure žljezde, kroničnu upalu, infiltraciju žljezde upalnim stanicama, oteklinu luminalne strane acinusa, oštećenja odvodnih kanalića i krvnih žila uz usporedno povećanje odvodnih kanala žljezde [15].

Ultrastruktturna analiza žljezde pokazala je da postoje tri vrste acinusa: serozni acinusi koji sadrže stanice sa elektronsko mikroskopskim gustim sekretnim zrncima ispunjenim bjelančevinama, seromukozni acinusi čije stanice sadrže pomiješana sekretna zrna ispunjena bjelančevinama ili mukoznim sadržajem i mukozni acinusi koji sadrže samo zrna ispunjena svijetlim mukoznim sadržajem. Žljezda pokazuje i na elektronsko mikroskopskoj razini promjene sa starenjem. Tako je žljezda mlade životinje većim dijelom sastavljena od seroznih acinusa i nekoliko seromukoznih acinusa. Kod životinja životne dobi 20 do 24 mjeseca, žljezda pokazuje značajno smanjenje broja seroznih stanica. Životinja životne dobi od 20 mjeseci pokazuje povećanje broja seromukoznih acinusa, pri čemu se broj seroznih i

mukoznih acinusa izjednači. Životinje stare 24 mjeseca pokazuju značajni porast broja mukoznih acinusa koji na taj način postaju najbrojniji [15].

Elektronsko mikroskopske promjene stаница acinusa u životinja starosne dobi od 20 do 24 mjeseca praćene su i sa strukturnim oštećenjima na endoplazmatskoj mrežici i Golgijevom aparatu u usporedbi sa stanicama acinusa životinja mlađe dobi [15].

6. Rast i mitotska aktivnost izvanorbitalne suzne žljezde štakora

Tjelesna masa štakora i izvanorbitalne žlijede varira tijekom života. Mužjak albino štakora doseže najveću tjelesnu masu oko 300-og dana života dok ženka maksimalnu tjelesnu masu doseže oko 900-og dana života. Mužjak i ženka albino štakora ne gube na tjelesnoj masi sve do svojeg 1000-og dana života [7]. Izvanorbitalna suzna žljezda albino štakora ima dvostruko sporiji rast u odnosu na tjelesnu masu i to od 21. do 100. dana života. Maksimalnu masu žljezda postiže oko 100-og dana života. To je mnogo ranije nego što životinja dosegne svoju maksimalnu tjelesnu masu. Izvanorbitalna suzna žljezda u ženke albino štakora zadržava svoju masu u starijoj životnoj dobi, dok kod mužjaka žljezda pokazuje gubitak mase sa 64 mg na 50 mg [7].

Mitotska aktivnost same žlijede doseže svoj maksimum za vrijeme 21. dana života i naglo padne nakon 50. dana života. Nakon 50. dana života mitotska aktivnost žljezde ostaje smanjena. Iako nema značajnije razlike u padu broja mitoza između ženke i mužjaka štakora čini se da je nešto brže smanjenje mitoza u ženke štakora [7].

Izvanorbitalna suzna žljezda štakora je klasični primjer serozno tubulo-acinusne žljezde sa gusto poredanim malim acinusima. Jezgre su okrugle do ovalne, relativno jednake veličine od oko 5-7 μm . Stanice su male, s ovećim jezgrama tako da promatrane svjetlosnim mikroskopom daju dojam gusto smještenih jezgri. Starenjem jedinke štakora (oko 100-og

dana) žljezda poprima jednoličnu acinusnu građu. Dolazi do povećanja veličine acinusa bez povećanja broja stanica. Jezgre sa starenjem povećavaju svoj volumen, ali zauzimaju manji prostor unutar same stanice radi povećanja samog volumena stanice [7].

U životinja životne dobi od oko 300 dana nema značajnije promjene u veličini acinusa, ali se povećava broj nepravilnosti oblika samih jezgara. Primjećeno je da dolazi do nepravilnog, lobuliranog i povremeno piknotičnog oblika jezgre. Nuklearne vakuole ili inkruzije postaju sve učestalije. Sama citoplazma stanica je manje homogena sa ponekim manjim vakuolama. Dolazi do povećane količine vezivnog tkiva u samoj žljezdi [7].

Starenjem se mijenja i histološka slika acinusa/alveola Izvanorbitalne suzne žljezde pa tako nastaju takozvane „harderizirane“ alveole. To su alveole sa bijedom obojanom jezgrom i citoplazmom, kuboidnog oblika stanica te karakterističnim oblikom lumena samih alveola. Unutar lumena često se zatiču ostaci propalih stanica. Takve „harderizirane“ alveole su vrlo česte u životinja starih oko 1000 dana, dok su ne mogu zamijetiti u životinja mlađih od 50 dana. U prosjeku čine 1 % svih alveola kod životinja starih 100 dana i do 1-5 % u životinja starih 300 dana [7].

7. Ekspresija androgenih i estrogenih receptora u izvanorbitalnoj suznoj žljezdi štakora

Izvanorbitalna suzna žljezda štakora interesantna je sa biokemijskog i morfološkog gledišta radi spolnih razlika između ženki i mužjaka štakora. Dokazana je spolna razlika izvanorbitalne suzne žljezde u štakora i hrčka dok u miša ta razlika ne postoji [34]. U izvanorbitalnoj suznoj žljezdi hrčka dokazana je razlika u razini β -adrenergičnih receptora, melatonina i njihovih biosintetskih enzima [35,36]. Kastracija životinja dovodi do promjene aktivnosti NAT (*N-acetyltransferaza*) i HIOMT (*hidroksiindol-O-metiltransferaza*) u suznoj žljezdi hrčka ali ne mijenja razinu melatonina [35,36]. Ferara i suradnici su u svom radu

(koristeći se metodom RT-PCR) dokazali prisutnost receptora za androgene i estrogene kako u mužjaka tako i ženki štakora. Transkripcija za androgene receptore prisutna je u mužjaka i ženki štakora tijekom prvih 6 mjeseci života jedinke, dok je ekspresija transkripcije estrogenских receptora prisutna u mužjaka štakora samo u prvih mjesec dana života. U trećem i šestom mjesecu života mužjaka štakora nema više ekspresije estrogenских receptora [37].

8. Harderova žljezda

Harderova žljezda je velika orbitalna suzna žlijeda koja se nalazi u velikom broju kralježnjaka koji imaju niktativnu membranu. Harder ju je prvi put opisao još davne 1694. godine [38]. Funkcija Harderove žljezde je premazivanje rožnice i njena zaštita. Ona je ujedno i imunosni organ [39], proizvodi feromone [40,41] te je izvor termo regulatornih lipida [42] i dio retino-pinealne osi [43-45].

Makroskopski, žljezda je smještena cijelim dijelom u orbitalnoj šupljini iza bulbusa oka a samo manjim dijelom između bulbusa i kostiju orbite dolazi u kontakt s površinom. Površinu žljezde prekriva vezivna opna od koje se šire vezivne pregrade u dubinu žljezde. Septe odvajaju žljezdu u nekoliko većih režnjeva. Iz žljezde izlazi jedan veći odvodni kanal koji je obložen jednoslojnim cilindričnim epitelom [38].

Žljezda promatrana svjetlosnim mikroskopom sastoji se od većeg broja acinusa. Acinusi se pak sastoje od dvije vrste stanica. Stanice **tipa A** čine veći dio žljezde (oko 75 %) i imaju acidofilnu citoplazmu ispunjenu većim masnim vakuolama. Manji dio čine stanice **tipa B**, koje imaju bazofilnu citoplazmu i ispunjene su manjim masnim vakuolama. Uspoređujući stanice **tipa A** i **tipa B** može se zaključiti da su masne vakuole brojnije i veće u stanicama **tipa A** [38]. Obje vrste stanica nalaze se na bazalnoj membrani okružene mioepitelnim stanicama.

Stanice **tipa A i B** promatrane transmisijskim elektronskim mikroskopom imaju brojne sličnosti, ali ono po čemu se razlikuju je izgled masnih vakuola. Masne vakuole u stanica **tipa A** okružene su jediničnom membranom, dok se u samo nekim stanicama ta membrana gotovo i ne nalazi. Stanice **tipa B** sadrže vakuole elektronsko mikroskopski gustog sadržaja koji je polumjesečastog oblika, dok stanice **tipa A** sadrže vakuole koje su ispunjene gustim sadržajem ali uskog i tankog oblika [38].

Citoarhitektonika ove serozne žlijezde štakora odgovara njenoj dosadašnjoj opisanoj fizološkoj ulozi i govori da ima jako izraženu ulogu u proizvodnji brojnih bjelančevina.

9. “Harderizacija”

Izvanorbitalna suzna žlijezda štakora je seromukozna žlijezda koja se nalazi ispod i malo ispred uha životinje [11,46]. Vrlo je interesantna istraživačima jer pokazuje značajnu morfološku i biokemijsku razliku između mužjaka i ženke [3,34,47-49], pokazujući k tome morfološko funkcionalni dimorfizam [50].

„Harderizacija“ je process koji se javlja u izvanorbitalnoj suznoj žlijezdi štakora i predstavlja prvi opisani spolni dimorfizam [34,51,52]. To je process koji se sastoji u tome da izvanorbitalna suzna žlijezda poprima izgled tipičan Harderovoj žlijezdi, a karakteriziran je nakupljanjem masnih kapljica u stanicama acinusa [34]. „Harderizacija“ žlijezde je sa starošću životinje izraženija u mužjaka, dok u ženki štakora ta pojava sa starošću regredira. Zanimljivo je da dolazi do smanjivanja nakupina masnih kapljica u acinusima [34].

Podaci iz literature su malo zbunjujući o tome kada točno nastaje harderizacija žlijezde (razdoblje varira od tri tjedna do tri mjeseca) [7,34,49].

Sashima je u svom istraživanju zaključio da je process „harderizacije“ ovisan o androgenim hormonima [34]. Ferara i suradnici dokazali su da harderizacija nastupa u 3. mjesecu

životinje i da nakupljanje masnih kapljica više nije prisutno u ženki starih 6 mjeseci. Također, koristeći se metodom RT-PCR, dokazali su da je ekspresija androgenih receptora uvek prisutna u oba spola. Zanimljivo je da je isto istraživanje pokazalo (koristeći se istom tehnologijom) da su receptori estrogena uvek prisutni u ženki štakora, dok iz stanica izvanorbitalne suzne žlijezde mužjaka nestaju već nakon trećeg mjeseca. Iz toga se može zaključiti da estrogeni vjerojatno imaju inhibitornu ulogu na proces „harderizacije“ izvanorbitalne suzne žlijezde u ženki štakora [37]

10. Cilj i svrha rada

Općeniti cilj rada je istražiti kako starenje i odstranjenje spolnih žlijezdi muških jedinki štakora (orhidektomija) utječe na građu izvanorbitalne suzne žlijezde albino mužjaka štakora s naglaskom na acinuse i intersticij koristeći stereološke i elektronsko-mikroskopske metode.

Specifični ciljevi su sljedeći:

- prikazati promjene koje uzrokuje orhidektomija i starenje na intersticij i žljezdane acinuse izvanorbitalne suzne žlijezde štakora na parafinskim i polutankim rezovima;
- prikazati promjene stanica acinusa na ultrastrukturnoj razini uz pomoć transmisivske elektronske mikroskopije;
- u morfometrijskom (stereološkom) dijelu usporediti rezultate između kontrolne, orhidektomirane i lažno orhidektomirane skupine životinja u odnosu na vrijeme koje je prošlo nakon orhidektomije.

11. Uzorci i postupci

11.1 Životinje

Za eksperiment korišteni su spolno zreli mužjaci štakora soja Fischer, stari 3 mjeseca (ukupan broj životinja: 60). Korištene su životinje iz štale Zavoda za biologiju Medicinskog fakulteta Sveučilišta u Zagrebu. Životinje su bile smještene u standardne oveće kaveze u skupinama po tri, sa ciklusom svjetlo (12 sati), tama (12 sati), na kupovnoj stelji. Životinje su mogle uzimati hranu i vodu *ad libitum*. U svrhu izvođenja eksperimenta štakori su podijeljeni u tri skupine: kontrolnu intaktnu skupinu, lažno orhidektomiranu skupinu te orhidektomiranu skupinu. Sve skupine životinja dodatno su podijeljene u podskupine s obzirom na vrijeme žrtvovanja i to: nakon 3 dana, 15 dana, 30 dana, 60 dana i 90 dana od početka pokusa.

Kontrolna intaktna skupina životinja (15 štakora) služila je kao osnovna kontrola. Ova skupina štakora bila je bez ikakvog tretmana. Nad njima nisu vršeni nikakvi operativni zahvati te im nije davana nikakva djelatna tvar. Ova skupina životinja služila je kao osnovna kontrola eksperimenta.

Lažno orhidektomiranoj skupini životinja (15 štakora) učinjen je rez veličine 0,5 cm u području donjeg abdomena tj. svakog testisa. Zbog što bezbolnijeg zahvata, životinje su bile podvrgнуте intraperitonealnoj anesteziji. Uz pomoć kirurških škarica i pincete prikazani su testisi. Potom je rez zatvoren sa dva do tri kirurška šava. Ova skupina životinja služila je za proučavanje utjecaja operacije na samu građu izvanorbitalne suzne žljezde.

Orhidektomiranoj skupini životinja (30 štakora) učinjena je obostrana orhidektomija, tj. obostrano su odstranjeni testisi. Životnjama je učinjen rez veličine 0,5 cm u području svakog testisa. Zbog što bezbolnijeg zahvata, životinje su bile podvrgнутe intraperitonealnoj anesteziji. Uz pomoć kirurških škarica i pincete prikazani su testisi. Tesitisi su nakon toga bili

kiruški uklonjeni. Potom je rez zatvoren sa dva do tri kirurška šava. Uloga ove skupine životinja u eksperimentu bila je da se ispita u kojoj mjeri testisi (odnosno njihovo odstranjenje) utječu na građu izvanorbitalne suzne žljezde.

11.2 Postupci

11.2.1 Analgezija i anestezija životinja

Životinje su anestezirane intraperitonealnom injekcijom Ketaminom – u dozi od 40-80 mg/kg. Preoperativna analgezija ispitivane životinje učinjena je intraperitonealnom injekcijom Buprenorphinea (Buprenex *TM*) koji je dat životinji 30 minuta prije samog operativnog zahvata u dozi od 0.05-0.1 mg/kg, ta se doza nastavila kroz iduća dva dana nakon operativnog zahvata jednokratnom intraperitonealnom injekcijom Meloxicama (Metacam *TM*) u dozi od 1.0 mg/kg, svakih 24 sata.

11.2.2 Žrtvovanje životinja

Životinje su žrtvovane nakon odgovarajućeg vremenskog perioda i to nakon: 3 dana, 15 dana, 30 dana, 60 dana i 90 dana od početka pokusa (Tablica 1.). Žrtvovanje životinja izvršeno je cervikalnom dislokacijom. Svaka životinja prije žrtvovanja uspavana je intraperitonealnom injekcijom Ketaminom u dozi od 40-80 mg/kg, te je primila jednu intraperitonealnu injekciju Buprenorphinea (Buprenex *TM*) 30 minuta prije samog žrtvovanja.

11.2.3 Obrada tkiva izvan orbitalne suzne žlijezde

Uzorci suzne žlijezde dobiveni nakon žrtvovanja životinja odmah su (po žrtvovanju) podijeljeni u dva dijela, te su usitnjeni na manje komadiće i fiksirani u 5,5% glutaraldehidu (u 0,05 M fosfatnom puferu, pH= 7,1-7,4; 800 mosmol) i Bouinu.

Uzorci tkiva fiksirani u glutaraldehidu

Tkivo je inicijalno fiksirano u trajanju od 3 sata u 5,5% glutaraldehidu nakon čega je isprano u puferu te postfiksirano u otopini 1% osmijevog tetroksida. Nakon dvosatne postfiksacije, tkivo je bilo isprano u puferu te dehidrirano u uzlaznom nizu alkohola. Nakon dehidracije, uslijedilo je uklapanje u smolu Durcopan (Sigma, Njemačka). Polimerizacija smole izvršena je u termostatu na temperaturi od 60°C tijekom 3 dana. Poslije polimerizacije prišlo se oblikovanju blokova za rezanje na ultramikrotomu (Reichert, Austrija). Serijski polutanki rezovi debljine 0,80 µm postavljeni su na predmetna stakalca i osušeni pomoću toplog stolića za ravnanje rezova (Agar, Engleska). Svaki uzorak narezan je na 2 predmetna stakalaca s minimalno 10 polutankih rezova. Polutanki rezovi su se obojali 1% toluidinskim modrilom kako bi se na njima mogla izvršiti kvalitativna i kvantitativna histološka analiza.

Ultratanki rezovi (debljine 70 nm) narezani su pomoću dijamantnog noža (Diatom, Švicarska) i ultramikrotoma Reichert, te potom postavljeni na bakrene mrežice (Christine Groepl, Austrija). Rezovi su potom kontrastirani olovnim citratom i uranil acetatom. Analiza na ultrastrukturnoj razini načinjena je pomoću transmisijskog elektronskog mikroskopa Jeol JEM-1400 (Odjel za elektronsku mikroskopiju i imunoflorescenciju, Zavod za kliničku i eksperimentalnu patologiju, Klinička bolnica Dubrava).

Uzorci tkiva fiksirani u Bouinu

Uzorci fiksirani u Bouinu su višestruko isprani u otopini litijevog karbonata, dehidrirani, inkubirani u intermediju (metil-benzoat), benzolu i benzol-parafinu te uobičajenim histološkim postupkom uklopljeni u parafin.

Parafinski blokovi rezani su rotacijskim mikrotomom Leitz 1512 (Leitz, Austrija) pri čemu je debljina rezova 4 µm. Dobiveni serijski rezovi, po tri na svakom predmetnom stakalcu, korišteni su za sterološka morfometrijska mjerena.

11.2.4 Kvalitativna histološka analiza

Kvalitativna histološka analiza načinjena je na tkivu koje je uklopljeno u parafin i Durcopan smolu. Tkivo uklopljeno u parafin izrezano je rotacijskim mikrotomom Leitz 1512 (Austrija) na rezove debljine 4 µm. Rezovi debljine 4 µm postavljeni su na predmetna staklaca i obojani hemalaun-eozinom. Tkivo uklopljeno u smolu Durcopan (Sigma, Njemačka) izrezano je ultramikrotom (Reichert, Austrija) na rezove debljine 0,80 µm koji su postavljeni na predmetna staklaca, te potom su obojani 1% toluidinskim modrilom otopljenom u 10% Na-tetraboratu kako bi se na njima mogla izvršiti svjetlosno mikroskopska kvalitativna histološka analiza. Mjerenje je učinjeno binokularnim mikroskopom Nikon Alphaphot (Nikon, Japan) s ukupnim povećanjem $\times 100$, $\times 200$ i $\times 400$. Uspoređeni su žljezdani acinus, intersticij žljezde te odvodni kanalni sustav izvanorbitalne suzne žljezde štakora između životinja različitih starosnih grupa te između orhidektomiranih životinja i životinja koje nisu orhidektomirane, a iste su starosne dobi.

Tkivo uklopljeno u Durcopan smolu izrezano je na ultratanke rezove koji su potom postavljeni na bakrene mrežice i kontrastirani olovnim citratom i uranil acetatom. Mrežice su

nakon kontrastiranja promatrane elektronskim mikroskopom Jeol JEM-1400. Kvalitativna histološka analiza na elektronskom mikroskopu učinjena je s ukupnim povećanjem x 7000.

11.2.5 Kvantitativna stereološka analiza

11.2.5.1. Morfometrijska (stereološka) analiza na svjetlosno mikroskopskoj razini

Morfometrijska (stereološka) analiza načinjena je na parafinskim rezovima debljine 4 µm obojani hemalaun-eozinom i polutankim Durcopanskim rezovima debljine 0,80 µm obojanim 1% toluidinskim modrilom. Rezovi debljine 4 µm i polutanki rezovi debljine 0,80 µm promatrani su svjetlosnim mikroskopom Nikon Alphaphot (Nikon, Japan) i to s okularom uvećanja 10x i objektivom povećanja 40x (ukupno povećanje x400). U svrhu stereološke obrade korišten je mnogonamjenski sistem po Weibel-u s 42 testne točke koristeći binokularni mikroskop Nikon Alphaphot (Japan) s ukupnim povećanjem x400. Površina testnog sustava (A_t) pri navedenom povećanju bila je 0,0837 mm², duljina testne linije (d) 0,048 mm, a ukupna duljina testnih linija (L_t) iznosila je 1,008 mm.

Tijekom mjerjenja određeni su volumen i dužina sastavnih dijelova žlijezde u mm³ tkiva.

Da bi se mogla izvršiti stereološka analiza prvo je određen broj polja na kojem se mora izvršiti mjerjenje, tzv. *orientacijsko mjerjenje*. Broj mikroskopskih polja (n) na kojima se treba izvršiti mjerjenje određen je po De Hoffovoj jednadžbi [53,54]:

$$n = (20 \times s/\bar{x})^2 \quad (1)$$

gdje je n broj potrebitih polja koja treba analizirati, s standardna devijacija varijable kod koje je izvršeno tzv. orientacijsko mjerjenje, a \bar{x} srednja vrijednost (aritmetička sredina) rezultata dobivenih orientacijskim mjerenjem.

Orijentacijsko mjerjenje pokazalo je da sterološku analizu volumena acinusa i vezivnog tkiva promatrane žlijezde na parafinskim rezovima treba izvršiti na 50 vidnih polja. Duljinu

intralobularnih odvodnih kanala trebalo je odrediti na 102 vidna polja koja potječu iz različitih regija izvanorbitalne suzne žljezde. To je učinjeno koristeći 6 različitih blokova jedne te iste žljezde kontrolne skupine štakora.

Tijekom stereološke obrade izmjerene su sljedeće stereološke varijable:

1. Volumen acinusa i intersticija u mm^3 tkiva (volumenska gustoća, V_v);
2. Duljina intralobularnih odvodnih kanala u mm^3 (duljinska gustoća, L_v)

Volumenska gustoća (V_v) acinusa i intersticija određena je na osnovi sljedeće jednadžbe [53,54]:

$$V_v = P_f/P_t \quad (2)$$

pri čemu je P_f broj testnih točaka sistema koje padaju na acinuse odnosno vezivno tkivo istraživane žljezde, a P_t ukupan broj testnih točaka unutar testne plohe (u ovom slučaju $P_t=42$). Tim načinom je određen volumenska gustoća pojedinih osnovnih dijelova žljezde u mm^3 tkiva i to : acinusa i vezivnog tkiva. Pod vezivnim tkivom podrazumijevamo vezivo između žljezdanih režnjića, kao i vezivo u samim režnjićima.

Duljinska gustoća (L_v) intralobularnih odvodnih kanala u mm^3 tkiva određena je pomoću sljedeće jednadžbe [53,54] :

$$L_v = 2Q/A_t \quad (3)$$

pri čemu je Q probodište dijela kanalnog sustava kroz testnu plohu ispitivanog sustava, a A_t površina testne plohe. Ovom metodom odredila se dužina sekretnih cijevi u mm^3 tkiva ispitivane žljezde.

11.2.5.2 Morfometrijska (stereološka) analiza na ultrastrukturnoj razini

Morfometrijska (stereološka) analiza izvršena je na ultratankim rezovima debljine 70 nm kontrastiranim olovnim citratom i uranil acetatom. U svrhu stereološke obrade korišten je elektronski mikroskop Jeol JEM-1400 ukupnog povećanja $\times 7000$.

Slike dobivene elektronskim mikroskopom fotografirane su digitalnom kamerom mikroskopa te su pohranjeni u digitalnom obliku (tiff format). Dobivene slike obrađene su uz pomoć stereološkog programa STEPanizer (Anatomski institut Sveučilišta u Bernu, Bern, Švicarska). Za obradu digitalnih fotografija tkiva korišten modul STEPanizer programa sa mnogonamjesnim sistemom po Weibel-u s 64 testne točke [55].

Rezolucija monitora (SXGA) bila je 1024x1280, veličina piksela $0,0258 \mu\text{m}$, ukupna površina testnog sustava (A_t) pri navedenom povećanju $527,3415 \mu\text{m}^2$, a duljina testne linije (d) $1,4352 \mu\text{m}$.

Tijekom morfometrijskog mjerjenja analizirane su stanice acinusa u kojima je izmjerena volumska gustoća jezgre, cisterne hrapave endoplazmatske mrežice, sekretnih zrnaca i lumen acinusa .

Orijentacijsko mjerjenje pokazalo je da stereološku analizu volumske gustoće jezgre, cisterne hrapave endoplazmatske mrežice i sekretnih zrnaca stanica acinusa promatrane žlijezde na ultratankim rezovima treba izvršiti na 73 vidna polja.

Volumenska gustoća (V_v) gore navedenih staničnih organela odredila se na osnovi sljedeće jednadžbe:

$$V_v = P_f / P_t \quad (4)$$

pri čemu je P_f broj testnih točaka koje padaju na odgovarajuće organele, a P_t ukupan broj testnih točaka unutar testne plohe (u ovom slučaju $P_t=64$).

11.2.6 Statistička obrada podataka

Svi dobiveni podaci (morfometrijska/stereološka analiza) unešeni su u osobno računalo i obrađeni biostatističkim programom.

Analiza podataka načinjena je u Katedri za medicinsku statistiku, epidemiologiju, medicinsku informatiku u Školi narodnog zdravlja «Andrija Štampar» Medicinskog fakulteta Sveučilišta u Zagrebu. Za obradu podataka korištena je programska podrška SAS, verzija 6.12. (1988, SAS Institute Inc., Cary, NC).

12. Rezultati

12.1 Kvalitativna histološka analiza

12.1.1 Kontrolna skupina životinja

12.1.1.1 Analiza tkiva na tankim i polutankim rezovima

Izvanorbitalna suzna žljezda štakora u kontrolnoj skupini životinja sastoji se od više režnjeva koji su međusobno povezani gustim vezivnim tkivom. Vezivno tkivo povezuje režnjeve žljezde u jednu cjelinu te ga nazivamo interlobularnim vezivnim tkivom. Interlobularno vezivno tkivo prelazi u rahlu vezivnu ovojnicu žljezde i u potpunosti je okružuje. U

interlobularnom vezivnom tkivu nalaze se pravi odvodni kanali, arterije, vene i živčana vlakna koji zajedno ulaze i izlaze iz izvanorbitalne suzne žljezde u njenom hilusu.

Svaki režanj žljezde građen je od većeg broja režnjića, a svaki režnjić građen je od nekoliko seroznih acinusa, prijelaznih cijevi, intralobularnih kanala i manje količine vezivnog tkiva. Vezivno tkivo režnjića građeno je od vezivnih stanica (fibrocita), izvanstaničnog matriksa, kapilara i snopova živčanih vlakana. Svaki režnjić građen je gusto smještenih stanica acinusa s malo rahle strome.

Stanice acinusa su piramidnog oblika sa širokom bazom i suženim vršnim dijelom. Radi gusto raspoređenih stanica acinusa, lumen acinusa i prijelaznih cijevi su slabo vidljivi na polutankim rezovima. Jezgre stanica acinusa smještene su bliže bazalnom dijelu stanice te su većinom okruglog do ovalnog oblika. Kromatin u jezgri je većinom rahli uz rubna zgušnuća kromatina. U jezgri se pri većem povećanju mogu ponekad primjetiti jedna ili više jezgrica. Kod svih stanica jezgra nije vidljiva jer nije pogodena rezom. Citoplazma stanica acinusa je obilna, s bazalnim bolje obojenim dijelom i vršnim (apikalnim) svijetlijim dijelom u kojem se nalaze brojna sekretna zrnca. Sekretna zrnca su u nekih stanica gušća i tamije obojana, dok su kod nekih stanica rijeda, svijetlija i gotovo prozirna. Stanice acinusa su stoga podijeljene na „svijetle“ i „tamne“ (sl. 1., 2., 3. ; str. 67-69).

Polutanki rezovi obojani toluidinskim modriliom sadrže dvije vrste stanica acinusa; svijetle i tamne stanice. Svijetle stanice acinusa imaju slabije obojanu citoplazmu, a sadrže brojna sekretna zrnca koja se ne boje intenzivno. Sekretna zrnca svijetlih stanica su rastresito raspoređena u citoplazimi acinusa dajući im „prozračan“ izgled. Tamne stanice acinusa imaju naprotiv tamniju citoplazmu, a brojna sekretna zrnca nalaze se u apikalnom dijelu citoplazme stanice, gusto su pakirana ali različitog intenziteta bojanja toluidinskim modriliom. Zbog veće gustoće sekretnih zrnaca i manje količine preostalog sadržaja citoplazme tamne stanice nemaju „prozračan“ već taman izgled (sl. 1., 2., 3. ; str. 67-69).

Mioepitelne stanice su sastavni dio svakog acinusa. Promatrane svjetlosnim mikroskopom teško su uočljive, a nalaze se na periferiji acinusa i prijelaznih cijevi. Radi svojeg izduženog oblika, jezgra i preostale stanične strukture su teže uočljive. Većim dijelom ravnina reza prolazi citoplazmom stanice, a povremeno se može vidjeti jezga ako je pogodena rezom.

Vezivne stanice, fibrocyti, izduženog su oblika citoplazme i jezgre. Mogu se vidjeti između susjednih acinusa, prijelaznih cijevi i intralobularnih odvodnih kanala. Veći broj fibrocyta može se zamijetiti između dva priležeća režnja gdje je i samo vezivno tkivo gušće i obilnije te oko većih krvnih žila žlijezde. Vezivno tkivo žlijezde građeno je većinom od fibrocyta i izvanstaničnog matriksa. Ono je vrlo oskudno i rahlo između pojedinih acinusa, no znatno je razvijenije između pojedinih režnjeva žlijezde. U samom vezivnom tkivu mogu se zamijetiti odvodni kanali žlijezde, krvne žile, snopovi živčanih vlakana te po koji mastocit ili druge stanice imunosnog sustava (sl. 1., 2., 3.; str. 67-69).

Prijelazne cijevi čine početni dio odvodnog sustava žlijezde. Oni povezuju lumen acinusa sa lumenom intralobularnih odvodnih kanala. Lumen prijelaznih cijevi je rijetko vidljiv radi veličine i gustoće stanica. Proksimalni dio prijelaznih cijevi sastoji se od stanica koji svojim izgledom i oblikom odgovaraju stanicama acinusa, dok u distalnjem dijelu istih cijevi stanice poprimaju karakterističan, splošteniji izgled stanica odvodnih cijevi. Bazalni dio stanica proksimalnog segmenta prijelaznih cijevi obložen je mioepitelnim stanicama i vezivnim tkivom.

Sekretni sustav izvanorbitalne žlijezde počinje prijelaznim cijevima a završava jednim odvodnim kanalom u hilusu žlijezde. Prijelazne cijevi se nastavljaju u intralobularne odvodne kanale, a zajedno se nalaze u jednom režnjiću. Više intralobularnih kanala spaja se u jedan intralobarni kanal, tj. glavni odvodni kanal jednog režnja. Više intralobarnih kanala spaja se u jedan interlobarni kanal koji odvodi sekret žlijezde kroz njen hilus na površinu oka. Za razliku od prijelaznih cijevi, svaki naredni dio odvodnog sustava žlijezde obuhvaćen je

većom količinom vezivnog tkiva i pratećih krvnih žila. Epitel odvodnih kanala je visok, kubičan do cilindričan, s citoplazmom koja se toluidinskim modrilom boji blijeđe od stanica acinusa žlijezde. Lumen odvodnih kanala je dobro vidljiv. Jezgre stanica odvodnih cijevi su ovalnog do okruglog oblika smještene većinom u središnjem ili bazalnom dijelu stanice, rahlog kromatina s ponekad vidljivom jezgricom.

Interlobarni kanali su obavijeni gušćim vezivnim tkivom, a ponekad se u njima može vidjeti prijelaz između jednoslojnog cilindričnog u višeslojni epitel, posebice ako rez prolazi kroz dio kanala koji se nalazi u hilusu žlijezde. Sam lumen im obično nije pravilnog ovalnog oblika, već može pokazivati nabore čineći ga manje vidljivim, posebice pri samom izlasku odvodnog kanala iz žlijezde. U vezivnom tkivu oko interlobarnih odvodnih kanala mogu se, osim uobičajenih fibrocyta i fibroblasta vidjeti nakupine drugih vrsta stanica vezivnog tkiva, većinom mastocita.

12.1.1.2 Analiza tkiva na ultratankim rezovima

Izvanorbitalna suzna žlijezda promatrana transmisijskim elektronskim mikroskopom sastoji se od dviju vrsta stanica, tzv. svijetlih i tamnih .

Svijetle stanice acinusa sadrže u svojoj citoplazmi brojna sekretna zrnca visoke i niske elektronske gustoće. Promjene koje su vidljive u stanicama acinusa kontrolne skupine životinja, posebno u životinja starosne dobi od 4, 5 i 6 mjeseci, su nakupine masnih kapljica u njihovoј citoplazmi. Te nakupine lipidnih kapljica nazivamo procesom „harderizacije“ izvanorbitalne žlijezde. Lipidne kapljice uočljivije su u stanicama acinusa u životinjama starosne dobi od 6 mjeseci (slika 4.; str. 70).

Sekretna zrnca su smještena u apikalnom dijelu citoplazme i usmjereni prema lumenu acinusa. Osim brojnih sekretnih zrnaca, svijetle stanice sadrže dobro razvijenu hrapavu

endoplazmatsku mrežicu s brojnim proširenim cisternama. Također sadrže dobro razvijen Golgijev kompleks, mitohondrije i slobodne poliribosome. Povezane su sa susjednim stanicama brojnim dezmosomima. Membrana stanica acinusa pokazuje brojna uvrnuća na luminalnoj i lateralnoj strani stanice. Lumen acinusa je malen i nekada vrlo teško uočljiv. Na apikalnoj (luminalnoj) strani membrane svijetlih stanica nalaze se mikrovili (sl. 4., 5., 6., 8. ; str. 70-74).

Tamne stanice acinusa promatrane transmisijskim elektronskim mikroskopom svojom građom su slične svijetlim stanicama. Razlika je u tome što hrapava endoplazmatska mrežica tamnih stanica pokazuje pravilniju građu. Spomenute cisterne su pravilnijeg oblika, gušćeg rasporeda i znatno užeg lumena. Sekretna zrnca nalaze se također u apikalnom dijelu stanice usmjereni prema lumenu acinusa, ali su gušćeg smještaja. Ova zrnca tamnih stanica mogu biti gušće i rijeđe elektronske gustoće. Golgijev aprat je također dobro razvijen, a u ostatku citoplazme nalaze se raštrkani brojni mitohondriji. Stanice su međusobno povezane dezmosomima, a apikalni i lateralni dio stanične membrane pokazuje brojna uvrnuća. Na apikalnoj luminalnoj strani membrane tamnih stanica nalaze se mikrovili (sl. 8. ; str. 74).

U sekretnim zrcima mogu se ponekad primjetiti tzv. „degenerativna tjelešca“, posebice u stanicama acinusa životinja starije životne dobi. Degenerativna tjelešca u sekretnim zrcima imaju izgled poput niza koncentričnih krugova dajući izgled lamelarne građe. Sa sigurnošću se ne može se reći radi li se o pravim degenerativnim tjelešcima ili o artefaktu fiksacije stanice.

Svijetle i tamne stanice acinusa leže na bazalnoj membrani, okružene mioepitelnim stanicama i nježnim vezivnim tkivom u kojem su vidljivi pojedini fibrobociti/fibroblasti.

Prijelazne cijevi promatrane transmisijskim elektronskim mikroskopom sastoje se u proksimalnom dijelu od stanica koje svojim oblikom sliče stanicama acinusa, no nešto su

niže visine. Stanice prijelaznih cijevi leže na bazalnoj membrani, okružene su nježnim vezivnim tkivom i mioepitelnim stanicama. Jezgra im ima ovalan do okrugli izgled, a nalazi se u bazalnom dijelu citoplazme. U citoplazmi stanica prijelaznih cijevi mogu se naći pojedinačna sekretna zrnca različitih elektronskih gustoća smještena uglavnom u apikalnom dijelu citoplazme. Hrapava endoplazmatska mrežica je dobro razvijena, s mnogobrojnim cisternama. Mogu se zamijetiti i poneki mitohondriji, koji u sebi sadrže pretince tzv. kriste. Stanice prijelaznih cijevi međusobno su spojene brojnim spojnim kompleksima, a među njima najbrojniji su dezmosomi. Apikalna membrana stanica prijelaznih cijevi sadrži brojne mikrovile (sl. 10. ; str. 76).

Sekretne cijevi promatrane elektronskim mikroskopom sastoje se od kubičnih do visokih cilindričnih stanica s dobro razvijenim staničnim organelama. U bazalnom dijelu stanica nalaze se mitohondriji s brojnim kristama. U apikalnom dijelu stanica mogu se zamijetiti pojedina sekretna zrnca koja se razlikuju od sekretnih zrnaca stanica acinusa. U lumen odvodnih cijevi strše brojni mikrovili s apikalne površine stanica. Na bazolateralnoj površini stanica postoje brojna uvrnuća stanične membrane. Stanice su međusobno povezane brojnim dezmosomima. Jezgre stanica su smještene u sredini ili donjoj trećini citoplazme, okruglog do ovalnog su oblika. Kromatin je u većem dijelu rahlog oblika, s ponekom vidljivom jezgricom (sl. 7. ; str. 73).

U stanicama acinusa žlijezde mogu se naći nakupine lipidnih kapljica u citoplazmi zajedno sa sekretnim zrncima različite elektronske gustoće. Lipidne kapljice su rijeđe uočljive u životinja mlađe životne dobi, ali se zato nalaze učestalije u životinja životne dobi od pet ili više mjeseci (sl. 6. ; str. 72).

12.1.2 Lažno orhidektomirana skupina životinja

12.1.2.1 Analiza tkiva na tankim i polutankim rezovima

Promatrana golim okom, izvanorbitalna suzna žljezda lažno orhidektomiranih štakora nije se razlikovala od kontrolne skupine životinja. Sa starenjem dolazi do promjene površine žljezde. Žljezdana površina postaje od glatko ružičaste (u mlađih životinja) hrapava i bijelosive boje u životinja starije životne dobi. Ta promjena vidljiva je kontrolnoj, lažno orhidektomiranoj i orhidektomiranoj grupi životinja. Analizom tkiva moglo se zapaziti da su žljezdani acinusi također građeni od svijetlih i tamnih stanica, što odgovara građi acinusa kontrolnih skupina. U kontrolnoj i lažnoj orhidektomiranoj skupini životinja moglo se zamijetiti da se sa starenjem rahlo vezivno tkivo žljezde postupno smanjuje, a vezivno tkivo između pojedinih sekretnih režnjića žljezde poprima oblik gušćeg vezivnog tkiva (sl. 9. ; str. 75).

U starijih skupina orhidektomiranih i lažno orhidektomiranih životinja životne dobi od 5 i 6 mjeseci može se zamijetiti povećana količina upalnih stanica u žljezdanom intersticiju, te oštećenje žljezdanog epitelnog tkiva.

Prijelazne cijevi imale su svoj uobičajeni izgled. Stanice prijelaznih cijevi sadržavale su u svojem apikalnom dijelu citoplazme sekretna zrnca. Sekretne cijevi lažno orhidektomiranih životinja nisu se razlikovale u svom izgledu u odnosu na kontrolnu skupinu. Moglo se zamijetiti da kod životinja životne dobi od 5 i 6 mjeseci u obje skupine dolazi do diskretnog povećanja lumena sekretnih cijevi, nepravilnosti lumena odvodnih kanala, s ponekim staničnim detritusom u njihovom lumenu. Mjestimično se mogao zamijetiti i otok epitela odvodnih kanala i oštećenje njihovog epitela.

Proces „harderizacije“ također je vidljiv u stanicama acinusa lažno orhidektomiranih životinja starije životne dobi i ne razlikuje se od kontrolne skupine životinja.

12.1.2.2 Analiza tkiva na ultratankim rezovima

Promatrane transmisijskim elektronskim mikroskopom, stanice acinusa lažno orhidektomiranih životinja nisu se u svojoj građi razlikovale od kontrolne skupine životinja. Acinusi su građeni od svijetlih i tamnih stanica. Ove stanice se u svojim osnovnim obilježjima nisu razlikovale od stanica kontrolne skupine životinja (sl. 10. ; str. 78).

Prijelazne i sekretne cijevi izvanorbitalne suzne žljezde štakora po svojoj ultrastrukturunoj građi nisu se razlikovale od odgovarajućeg kanalnog sustava kontrolne skupine životinja. Stanice prijelaznih cijevi su u svojoj citoplazmi u apikalnom dijelu sadržavale ranije opisana sekretna zrnca. Stanice prijelaznih i sekretnih cijevi međusobno su bile povezane brojnim dezmosomima. Osim sekretnih zrnaca, citoplazma im je sadržavala hrapavu endoplazmatsku mrežicu, mitohondrije, a vršni dijelovi stanica imali su na sebi brojne mikrovile.

Sekretna zrnca stanica epitela sekretnih cijevi su bila niže elektronske gustoće nego sekretna zrnca stanica acinusa.

U stanicama acinusa životinja starije životne dobi mogla su se zamijetiti uz brojna sekretna zrnca i lipidne kapljice, koje se svojim oblikom i količinom nisu razlikovala od istih takvih kapljica u kontrolnoj skupini životinja.

12.1.3 Orhidektomirana skupina životinja

12.1.3.1 Analiza tkiva na tankim i polutankim rezovima

Makroskopski i svjetlosno mikroskopski izvanorbitalna žlijezda štakora nije se značajno razlikovala od kontrolne i lažno orhidektomirane skupine životinja. Žljezdani acinusi sastavljeni su od svijetlih i tamnih stanica koje odgovaraju opisu u životinja kontrolne skupine. Međutim, u životinja žrtvovanih nakon 60 i 90 dana nakon orhidektomije moglo se zamijetiti da ne dolazi do povećanog broja svijetlih stanica, već acinusima prevladavaju tamne stanice. To je posebno dolazilo do izražaja prilikom promatranja tkiva na polutankim rezovima obojanih toluidinskim modriliom (sl. 10., 11. ; str. 76-77). U orhidektomiranoj skupini životinja ne dolazi do pojave nakupljanja masnih kapljica u citoplazmi stanica acinusa.

Prijelazne cijevi žlijezde imale su svoj uobičajen izgled, koji odgovara izgledu kontrolnih skupina životinja. Epitelne stanice prijelaznih cijevi zadržale su svoj karakterističan izgled s jezgrom smještenom u bazalnom dijelu i citoplazmom ispunjenom sekretnim zrncima u apikalnom dijelu. Sekretne cijevi te odvodni kanali intralobarnog i interlobarnog dijela žlijezde nisu se u svojoj građi razlikovale od onih opisanih u kontrolnim skupinama životinja (sl. 10., 11. ; str. 76-77).

12.1.3.2 Analiza tkiva na ultratankim rezovima

Analizom tkiva transmisijskim mikroskopom moglo se zapaziti da postoji povećan broj tamnih stanica acinusa u orhidektomiranih životinja nakon 60 i 90 dana od orhidektomije. Citoplazma tamnih stanica, za razliku od svijetlih stanica, ima guste i pravilne cisterne, čineći citoplazmu tamnom i povećavajući joj elektronsku gustoću. Prisutna su i dalje sekretna zrnca

veće i manje elektronske gustoće u apikalnom dijelu citoplazme. Lumen acinusa je nepravilnog oblika, a u velikom broju acinusa lumen je teže uočljiv. Stanice acinusa su međusobno povezane brojnim dezmosomima. U citoplazmi stanica orhidektomiranih životinja mogu se uz jezgru (koja je smještena u bazalnom dijelu citoplazme) naći još i druge dobro razvijene stanične organele poput hrapave endoplazmatske mrežice, sekretnih zrnaca različitih elektronskih gustoća, Golgijevog aparata, mitohondrija i slobodnih poliribosoma. U stanicama životinja starije životne dobi može se zamijetiti i povećan broj tzv. „degenerativnih tjelešaca“. Za razliku od kontrolne i lažno orhidektomirane skupine životinja, u orhidektomiranim se ne nalaze lipidne kapljice u stanicama acinusa životinja starije životne dobi, tj. proces „harderizacije“ izostaje u toj skupini životinja (sl. 13., 14., 15., 16. ; str. 79-82).

Odvodni sustav izvanorbitalne suzne žljezde u orhidektomiranih životinja bio je sastavljen od prijelaznih cijevi i odvodnih cijevi te se u svom ultrastuktturnom i organizacijskom sustavu nije bitno razlikovao od odvodnog sustava kontrolnih skupina životinja.

Stanice prijelaznih cijevi su u svom apikalnom dijelu citoplazme sadržavale ranije opisana sekretna zrnca, a međusobno su stanice bile povezane brojnim dezmosomima. Uz jezgru i sekretna zrnca citoplazma im je sadržavala obilnu hrapavu endoplazmatsku mrežicu. Apikalni dijelovi citoplazme na svojoj površini imali su brojne mikrovile.

Epitel sekretnih cijevi u svojoj citoplazmi imao je jezgru smještenu u centralnom dijelu, s dobro razvijenim staničnim organelama te sekretnim zrcnicima manje elektronske gustoće. Ultrastruktturna građa stanica sekretnih cijevi orhidektomiranih životinja nije se razlikovala od građe stanica sekretnih cijevi kontrolnih skupina životinja.

12.2 Kvantitativna (stereološka) analiza

12.2.1 Volumenska gustoća veziva i acinusa u mm³ tkiva

Promatrajući volumen acinua i vezivnog tkiva u kontrolnoj i lažnoj orhidektomiranoj skupini životinja tijekom razdoblja obuhvaćenim istraživanjem, može se uočiti da ne postoji statistički značajna razlika između volumena promatranog tkiva uspoređujući navedene skupine životinja od 3. i 90. dana od početka eksperimenta. U orhidektomiranoj skupini životinja volumen acinusa se tijekom istraživanja povećao, dok se volumen vezivnog tkiva smanjio od 3. do 90. dana od početka eksperimenta ($P<0,05$). Analiza ukupnog volumena acinusa i vezivnog tkiva u mm³ tkiva izvanorbitalne suzne žljezde pokazala je da se volumen vezivnog tkiva smanjio u skupini orhidektomiranih životinja i to 30 dana od početka istraživanja u usporedbi s volumenom vezivog tkiva u kontrolnim skupinama životinja ($P<0,05$). Istodobno se volumen tkiva acinusa povećao u skupini orhidektomiranih životinja 30 dana nakon početka eksperimenta ($P<0,05$). Volumen vezivnog i epitelnog tkiva acinusa se statistički nije razlikovao niti u jednoj od eksperimentalnih skupina životinja nakon 60 i 90 dana od početka istraživanja (grafikon 1. i 2. ; str. 83-84 , tablica 2., 3., 4. ; str. 92-98)

12.2.2 Dužinska gustoća intralobularnih odvodnih kanala u mm³ tkiva

U kontrolnoj i lažnoj orhidektomiranoj skupini životinja nije došlo do statistički značajne promjene u duljini odvodnih intralobularnih kanala tijekom cjelokupnog istraživanja. Dužinska gustoća odvodnih kanala u orhidektomiranih životinja bila je statistički značajno veća tijekom svakog promatranog razdoblja istraživanja u usporedbi s dužinskom gustoćom odvodnih kanala kontrolnih skupina životinja. Uspoređujući dužinsku gustoću kanala u orhidektomiranoj skupini životinja tijekom istraživanja, može se vidjeti statistički značajan pad vrijednosti duljine kanala počevši od 3. dana pa sve do kraja istraživanja ($P<0,05$).

Dužinska gustoća intralobularnih odvodnih kanala u mm^3 tkiva promatrane suzne žljezde razlikovala se između orhidektomirane skupine životinja i kontrolne skupine životinja od 3 pa sve do 90 dana nakon početka istraživanja i takva razlika zadržala se sve do kraja eksperimenta (grafikon 3.; str. 85, tablica 5., 6., 7. ; str. 99-103).

12.2.3 Volumenska gustoća staničnih organela

Uspoređujući volumen jezgri stanica acinusa životinja prema danima eksperimenta nije se mogla uočiti statistički značajna promjena u volumenima jezgara u pojedinim skupinama životinja. Mjerenje volumenske gustoće jezgara stanica acinusa izvanorbitalne suzne žljezde štakora u eksperimentalnim skupinama životinja pokazala je da postoji statistički značajna razlika u volumenu jezgre orhidektomiranih životinja. Ova razlika bila je vidljiva tek nakon 30 dana od početka eksperimenta u odnosu na kontrolne skupine životinja. U orhidektomiranoj skupini životinja dolazi do smanjenja volumena jezgre (u odnosu na kontrolne skupine) i takav odnos ostaje sve do kraja istraživanja (90. dana) ($P<0,05$). (grafikon 4.; str. 86, tablica 8., 9., 10. ; str. 104-116).

Volumenska gustoća hrapave endoplazmatske mrežice u kontrolnoj skupini životinja pokazuje statističku značajnu promjenu volumenske gustoće ove organele tijekom 14. i 30. dana u odnosu na 60. dan od početka istraživanja. Međutim, ne postoji statistički značajna razlika između volumenske gustoće hrapave endoplazmatske mrežice u kontrolnoj skupini životinja između 14. i 90. dana nakon početka istraživanja. Volumenska gustoća hrapave endoplazmatske mrežice u kontrolne skupine ostaje nepromijenjena na kraju istraživanja. U lažnoj orhidektomiranoj skupini životinja volumenska gustoća hrapavog endoplazmatskog retikuluma statistički je nepromijenjena tijekom cijelog istraživanja. U orhidektomiranoj skupini životinja dolazi do statistički značajnog povećanja volumnske gustoće hrapave

endoplazmatske mrežice uspoređujući 14. i 90. dana ($P<0,05$). Volumenska gustoća hrapave endoplazmatske mrežice stanica acinusa je statistički značajno manja u orhidektomirane u odnosu na kontrolne skupine životinja (od 14. dana pa sve do 90. dana nakon početka istraživanja) ($P<0,05$). (grafikon 5.; str. 87, tablica 8., 9., 10. ; str. 104-116).

Mjerenjem volumske gustoće sekretnih zrnaca kontrolone skupine životinja pokazuje da tijekom eksperimenta dolazi do statistički značajnog povećanja volumena sekretnih zrnaca u kontrolnoj skupini životinja od 14. pa sve do 60. dana nakon početka eksperimenta. Na kraju istraživanja dolazi do statistički značajnog pada volumena sekretnih zrnaca u kontrolnoj skupini životinja između 60. i 90. dana. Isti obrazac promjena volumena sekretnih zrnaca zapaža se i u lažno orhidektomiranoj skupini životinja. Volumenska gustoća sekretnih zrnaca orhidektomirane skupine životinja ne pokazuje razliku 14., 30. i 90. dana od početka eksperimenta, no postoji statistički značajni pad u volumenskoj gustoći sekretnih zrnaca u životinja 60 dana nakon od početka eksperimenta. Volumska gustoća sekretnih zrnaca stanica acinusa orhidektomirane skupine životinja je statistički značajno veća u odnosu na kontrolne skupine životinja od 14. pa sve do 60. dana nakon početka istraživanja. Statistički značajna razlika u volumskoj gustoći sekretnih zrnaca između istraživanih skupina životinja nestaje na kraju 90. dana istraživanja. (grafikon 6.; str. 88, tablica 8., 9., 10. ; str. 104-116)

Rezultati volumenske gustoće lumena acinusa izvanorbitalne žlijezde štakora pokazuju značajna variranja između ispitivanih skupina životinja. Ono što se može zaključiti da postoji statistički značajna razlika u volumenskoj gustoći lumena acinusa od samog početka istraživanja između sve tri skupine životinja. Statistička razlika u volumenskoj gustoći lumena acinusa nestaje nakon 30 dana od početka istraživanja i ponovo se javlja 60. dana. Na kraju eksperimenta volumenska gustoća lumena acinusa kontrolne skupine je veća od orhidektomirane skupine životinja ($P<0,05$). Rezultati mjerenja volumske gustoće lumena acinusa po danima (za sve tri skupine životinja) pokazuju da dolazi do statistički značajnog

smanjenja volumske gustoće lumena za sve tri navedne skupine uz značajnu statističku varijaciju u prethodnim danima istraživanja (grafikon 7.; str. 89, tablica 8., 9., 10. ; str. 104-116).

Volumenska gustoća intersticija acinusa ne pokazuje statistički značajnu promjenu volumena intersticija između ispitivanih skupina životinja tijekom cijelog istraživanja. U kontrolnoj skupini životinja volumenska gustoća intersticija ne pokazuje promjenu volumena intersticija koja bila statistički značajna. U lažnoj orhidektomiranoj i orhidektomiranoj skupini životinja dolazi do značajnog pada vrijednosti volumena intersticija 60. i 90. dana od početka eksperimenta koja je statistički značajna ($P<0,05$). Statistički značajni pad volumenske gustoće intersticija u orhidektomirane skupine životinja vidljiv je tek 90. dana od početka eksperimenta ($P<0,05$) (grafikon 8.; str. 90, tablica 8., 9., 10. ; str. 104-116).

13. Rasprava

Suzne žljezde imaju višestruku ulogu tijekom normalnog funkciranja oka. One su zaslužne u održavanju homeostatskog mikrookoliša epitela rožnice i konjuktive koji se nalazi u stalnom kontaktu s okolišem oko nas. Da bi se razumjeli osnovni patofiziološki principi bolesti suhih očiju potrebno je objasniti osnovne fiziološke procese suznih žljezda i promjena koje nastaju starenjem. U potrazi za što boljim eksperimentalnim modelom korištene su većinom standardne laboratorijske životinje poput miša, štakora, zeca i hrčka. Proučavanjem ovih modela omogućen nam je uvid u osnovnu fiziologiju suznih žljezda, patogenezu i patofiziologiju osnove bolesti suhih očiju. S obzirom na korištenje više životinjskih modela za objašnjavanje fizioloških procesa te razumjevanje patofiziologije bolesti, bitno je imati na umu i pojedine varijacije između pojedinih životinjskih modela. Razlike u osnovnoj anatomskoj i histološkoj građi suznih žljezda mogu značajno utjecati na tumačenje konačnih rezultata istraživanja [2].

Bolest suhih očiju može biti posljedica Sjögrenove bolesti ili posljedica kronične upale suznih žljezda čija se incidencija povećava s starošću ljudi. Učestalost suhih očiju češća je u žena nego u muškaraca. U žena mlađih od 50 godina simptomi su prisutni u oko 5,7 %, od 50 do 54 godine u 6,02 %, a žena starijih od 75 godina u 9,8% [56]. U muškaraca simptomi suhih očiju zahvaćaju manji postotak populacije, tako da su u pojedinaca starih između 50. do 54. godine simptomi prisutni u 3,9%, dok su u populaciji starijoj od 80 godina simptomi prisutni u 7,67 % pojedinaca [57].

Poznato je da sa starenjem dolazi do smanjene koncentracije spolnih hormona u pripadnika oba spola [58]. Međutim, smanjena koncentracija spolnih hormona sama po sebi nije odgovorna za povećanu incidenciju bolesti suhih očiju. Iz dosadašnjih istraživanja dokazano je da su simptomi suhih očiju izraženiji u žena na oralnoj kontraceptivnoj terapiji, u

postmenopauzalnih žena koje su na hormonskoj estrogenskoj nadomjesnoj terapiji i kod žena u fertilnoj dobi za vrijeme maksimalnih koncentracija estrogena tijekom menstrualnog ciklusa [59-61]. Jedno od mogućih objašnjenja radi čega su simptomi suhih očiju izraženiji kod žena pri povećanim koncentracijama estrogena je u tome što estradiol u serumu potiče pojačano stvaranje globulina koji veže spolne hormone (SHBG - Sex hormon binding globulin-a) što u konačnici dovodi do smanjenje biodostupnosti androgena [62,63].

Pokušavajući otkriti koju ulogu hormoni imaju na normalne fiziološke i patofiziološke procese suznih žlijezda znanstvenici su razvili brojne modele. Koristeći se modelom štakora otkriveno je da hipofizektomija smanjuje ukupne proteine i produkt Na⁺/K⁺ - ATP-aze u suzama štakora. Ako se hipofizektomiranim životnjama nadomjesti dihidrotestosteron, promjene nastale radi hipofizektomije su djelomično reverzibilne [64]. Sposobnost dihidrotestosterona osim što poništava utjecaj hipofizektomije uzrokuje i smanjenu težinu suznih žlijezda štakora (ovisno o tome da li je dan s inzulinom ili hormonima pituitarne žlijezde) [65]. Testosteron se najvećim dijelom proizvodi u spolnim žlijezdama životinje, a odstranjenjem testisa smanjuje se i proizvodnja bazalne sekrecije suza. Dodavanjem testosterona orhidektomiranim životnjama bazalna sekrecija suza vraća se u normalne granice [65]. Za razliku od mužjaka, dihidrotestosteron ne pokazuje isti učinak u ovariekтомiranih štakora, već kod njih ima suprotni učinak: smanjuje nestimuliranu sekreciju suza, ali zato uzrokuje povećanu osjetljivost suznih žlijezda na učinak pilokarpina povećavajući tim načinom stimuliranu sekreciju suza [64]. Ovarijska resekcija ne uzrokuje smanjenje mase suznih žlijezda štakora [65]. Testosteron u ovariekтомiranih miševa ima, za razliku od štakora, sasvim drugačiji odgovor, poništavajući u cijelosti promjene nastale odstranjenjem jajnika. Rezultati dobiveni dosadašnjim istražvanjima daju nam na znanje da se eksperimenti na različitim životinjskim modelima moraju oprezno tumačiti, vodeći računa o posebnostima građe i funkcije suznih žlijezda u pojedinih vrsta [65].

Povišene vrijednosti serumskog prolaktina snažno koreliraju sa smanjenom funkcijom suznih žljezda [66]. Međutim, u životinja kod kojih je izbrisana (nokautiran) gen receptora za prolaktin ne nalazi se značajnih promjenama u fenotipu suznih žljezda ženki miša. Prekomjerno izlaganje prolaktinu imat će za posljedicu smanjivanje površine acinusa i gustoće stanica acinusa [67].

S obzirom na dosadašnje spoznaje dobivene istraživanjem na životinjama i ljudima, može se zaključiti da kronični upalni procesi suznih žljezdi i hormonalni status jedinke zajedno utječu na egzokrinu funkciju suznih žljezda. S obzirom na razlike u incidenciji suhih očiju između spolova, uloga spolnih hormona na imunoregulatorne mehanizme očigledno ima značajnu ulogu. Androgeni i estrogeni uzrokuju u stanicama suzne žljezde miša pojačanu ekspresiju gena dovodeći do povećane proizvodnje pro- i anti-inflamatornih citokina i time stvaraju parakrinim izlučivanjem upalni mikrookoliš, djelujući lokalno na upalne stanice u žljezdi [68-70]. Istraživanja su pokazala da postoji povećana ekspresija TGF- β i prolaktina u epitelnim stanicama odvodnih kanala suznih žljezdi te da se njihova ekspresija i lokalizacija mijenja tijekom trudnoće [68-70]. Iz istraživanja na miševima proizlazi da je TGF- β važan imunoregulatorni medijator u suznoj žljezdi, dok je prolaktin pro-inflamatori. Spoznaje dobivene na miševima ne objašnjavaju u cijelosti promjene koje se događaju u ljudi i drugih glodavaca. Razlika između primata i glodavaca postoji ne samo u hormonalnim ciklusima, već i u fekundaciji, promjenama endometrija i histološkoj građi suznih žljezda [2,71].

Promjene koje nastaju starenjem ljudske suzne žljezde uključuju zadebljanje vezivnog tkiva, povećanu infiltraciju upalnim stanicama, dilataciju i nepravilni izgled odvodnih kanala žljezde, dilataciju lumena acinusa te difuzno oštećenje dovodnog i acinusnog epitela žljezde [72-76]. Ove promjene na suznim žljezdama vidljive su kako u mladih ljudi, starih ljudi tako i u ljudi koji imaju simptome suhih očiju. To govori u prilog prepostavci da postoji više, a ne samo jedan patofiziološki proces, odgovoran za sindrom suhih očiju.

Starenjem izvanorbitalna suzna žljezdu štakora pokazuje slične promjene koje se događaju sa starenjem u suznoj žljezdi čovjeka. Prijašnja istraživanja kao i naše istraživanje pokazuju da je žljezda, promatrana golim okom, građena od glatkog ružičastog tkiva. Kod životinja starije životne dobi površina žljezde poprima više lobularni izgled, a tkivo poprima bijelu boju što je posljedica infiltracije masnim tkivom i povećanja vezivnog tkiva [4]. Tijekom ovog istraživanja kvantitativnim stereološkim mjeranjem primjećeno je da se u orhidektomirane skupine životinja volumen tkiva acinusa inicijalno povećao, a volumen vezivnog tkiva smanjio 30 dana nakon orhidektomije. Nakon 30 dana ne dolazi do značajnijeg mijenjanja omjera veziva i acinusa u ispitivanim skupinama životinja. Dosadašnja ispitivanja u kojima su se zapažale promjene u volumenu vezivnog i acinusnog tkiva analizirale su žljezdano tkivo 20 do 28 mjeseci od početka istraživanja, dok su u sadašnjem istraživanju životinje žrtvovane između 3 do 6 mjeseci starosti. No, kvalitativnom analizom tankih i ultratankih rezova može se zapaziti da dolazi do promjene u gustoći vezivnog tkiva, vidi se promjena rahlog u gušće vezivno tkivo, što ima za posljedicu smanjenje volumena vezivnog tkiva a povećanje acinusa.

Degenerativne promjene koje zahvaćaju suznu žljezdu imaju za posljedicu i mijenjanje njene sekretorne sposobnosti. Dosadašnja istraživanja pokazala su da je žljezda u mlade životinje građena pretežno od seroznih stanica, dok je manji postotak stanica acinusa sero-mukoznog odnosno mukoznog tipa [4,15,31]. Serozne stanice i njihov sekret su uglavom odgovorne za sastav suza (koji se sastoji od vode, elektrolita i proteina) [14,29,30]. No, kako sa starenjem dolazi do promjene u građi žljezde, u kojoj sve više dominiraju sero-mukozne i mukozne stanice, mijenja se sastav i količina suza. Kod životinja starosne dobi od 20 mjeseci vidi se značajno povećanje broja sero-mukoznih acinusa, a kod životinja životne dobi od 24-28 mjeseca dolazi do statistički značajnog povećanja broja mukoznih acinusa [4]. Morfološke

promjene acinusa sa starenjem mogu biti jedan od uzroka povećane incidencije sindroma suhih očiju u životinja poznje životne dobi.

Prethodna istraživanja pokazala su da izvanorbitalna suzna žljezda posjeduje sposobnost spolnog dimorfizma, prvi put opisanog u štakora [34,52]. Pod spolnim dimorfizmom izvanorbitalne suzne žljezde zapravo se podrazumijeva „harderizacija“ i sastoji se u tome da u se u pripadnika oba spola najranije sa 3 tjedna starosti životinje javljaju nakupine lipidnih kapljica u acinusima žljezde [34]. Lipidne kapljice se povećavaju brojem i veličinom u mužjaka štakora, dok u ženki štakora starenjem te iste kapljice nestaju. Harderova žljezda je intraorbitalna suzna žljezda u životinja s niktatnom membranom, a u štakora je odgovorana za sekreciju lipida u sastav suza [4,40]. Sashima i sur. pretpostavili su da je proces „harderizacije“ uvjetovan androgenim hormonima, a kao potvrdu toga navode da kastracija mužjaka uzrokuje smanjivanje broja „harderiziranih“ acinusa u mužjaka i s vremenom im broj nestaje kao kod ženki štakora [34].

Podaci iz dosadašnjih istraživanja su malo zbrunjujući o tome kada točno započinje proces „harderizacije“ u mužjaka štakora koji varira od 3. tjedna pa sve do 3. mjeseca starosti životinje [49]. Tijekom ovog ispitivanja nije primjećen veći broj „harderiziranih“ acinusa u žrtvovanim skupinama životinja na početku eksperimenta (životinje su bile starosne dobi od 3 mjeseca). Isto tako, iz rezultata ovog istraživanja proizlazi da proces „harderizacije“ započinje s 3 mjeseca i više starosne dobi životinje, što je u skladu s novijim istraživanjima [37]. U ispitivanju provedenom od strane Ferrare i sur. prve lipidne kapljice u stanicama acinusa izvanorbitalne suzne žljezde pojavljuju se u pripadnika oba spola s tri mjeseca života, dok više nisu zamjetljive u pripadnika ženskog spola sa 6 mjeseci. U mužjaka štakora „harderizacija“ se nastavlja i postupno povećava, a popraćena je i povećanim brojem lizosoma. U stanicama acinusa ženki štakora starosti 6 mjeseci lizosomi nisu prisutni [37]. Ferrara i sur. otkrili su da su androgeni receptori eksprimirani u pripadnika oba spola tijekom

svih 6 mjeseci života, dok su estrogeni receptori eksprimirani u mužjaka starog 4 tjedna te ih nakon toga više nije moguće otkriti s 3 ili više mjeseci starosti životinje. U ženki su receptori za estrogen eksprimirani tijekom svih 6 mjeseci života [37]. Ova vremenska ekspresija androgenih i estrogenih receptora odgovara vidljivim promjena u žljezdi, tzv. „harderizaciji“ koja se vidi u mužjaka s 3 mjeseca i koja više nije vidljiva u ženki s 6 mjeseci starosti. I u ovom istraživanju mogli su se vidjeti „harderizirani acinusi“ u životinja starijih od 3 mjeseca. Estrogeni hormoni u ženki vjerovatno imaju inhibitornu ulogu u procesu harderizacije. U mužjaka štakora koji su orhidektomirani proces harderizacije nije vidljiv, kao ni u sadašnjem i istraživanju Sashime i sur [34]. Vidljivo je iz dosadašnjih istraživanja da „harderizacija“ stanica acinusa izvanorbitalne žljezde nije pod utjecajem nedostatka androgenih hormona.

Dosadašnja istraživanja pokazala su da u štakora starenjem dolazi do postupne pregradnje i posljedično tome povećane količine vezivnog odnosno smanjenja količine tkiva acinusa. Te promjene postaju statistički značajne u životinja starih 20 do 28 mjeseci. U štakora je primjećeno da orhidektomija ubrzava promjene koje nastaju normalnim starenjem žljezde. Međutim, te promjene se mogu zapaziti i u ljudskoj suznoj žljezdi i žljezdama drugih životinjskih vrsta [4,7,15,31,65,72,74,75,77-79]. Međutim, ovo ispitivanje je kvantitativnim stereološkim metodama potvrdilo ranija zapažanja da u nekim životinja dolazi do početnog oticanja stanica acinusa i smanjenja vezivnog tkiva u vidu zamjene rahlog gušćim vezivnim tkivom. Ta promjena postaje statistički značajna 30. dana po orhidektomiji u usporedbi s istim promjenama koje nastaju normalnim starenjem u kontrolnih skupina životinja. Očigledno nedostatak androgenih hormona ima nagli utjecaj na početnu pregradnju i građu same žljezde. Razlog zbog čega ne dolazi do statističkih značajnih razlika u volumenu acinusa i vezivnog tkiva u kontrolnim skupinama životinja možda je prekratko razdoblje istraživanja. Da bi došlo do stvarnog povećanja volumena veziva i smanjenja volumena acinusa potreban je duži vremenski period, a u trenutnom ispitivanju vremenski interval

promatranja promjena na žlijezdi bio je 6 mjeseci. Statistički značajno smanjenje volumena acinusa i povećanje vezivnog tkiva može se uočiti tek nakon što životinja bude starija od 20 mjeseci [4].

Odvodni sekrecijski sustav izvanorbitalne suzne žlijezde štakora do sada nije bio značajnije proučavan [4,13,80]. Tijekom ovog istraživanja kvantitativnim stereološkim mjeranjem uočeno je da ne dolazi do statističkih značajnih promjena u dužinskoj gustoći intralobularnih odvodnih kanala u obje kontrolne skupine životinja. Ono što je zanimljivo za napomenuti da je u orhidekotimiranoj skupini životinja dužinska gustoća intralobularnih odvodnih kanala statistički značajno veća od vrijednosti izmjerene u obje kontrolne skupine. Tijekom istraživanja, dužinska gustoća intralobularnih odvodnih kanala se u orhidektomirane skupine životinja smanjuje, ali je i dalje statistički značajno veća od dužinske gustoće kontrolnih skupina na kraju ispitivanja. Trenutno istraživanje je u skladu s očekivanim rezultatima prijašnjih kvalitativnih istraživanja. Vezano za kvantitativne aspekte eksperimenta, prvi put se kvantitativnim (stereološkim) mjeranjem odredilo koliko i kako brzo orhidektomija utječe na dužinu intralobularnih kanala. Dosadašnja istraživanja pokazala su da intralobularni i interlobularni kanali (promatrani svjetlosnom mikroskopijom) pokazuju degenerativne promjene u smislu povećanja volumena odvodnih kanala, oštećenja epitelnih stanica većih odvodnih kanala te da postoji nepravilan lumen odvodnih interlobarnih kanala [13,64,80].

Promjene koje se sa starenjem i nakon orhidektomije događaju na ultrastrukturnoj razini u izvanorbitalnoj suznoj žlijedi štakora mužjaka su dobro opisane s kvalitativnog histološkog stajališta. Međutim, s histološko-stereološkog gledišta nema istraživanja koje je kvantificiralo promjene koje se događaju u citoplazmi nakon orhidektomije ili tijekom starenja [7,12,34,52]. Tijekom prijašnjih istraživanja utvrđeno je da starenjem dolazi do pojave više jezgara u nekim stanicama acinusa te da orhidektomija ima za posljedicu smanjenje jezgara stanica acinusa. Sadašnje istraživanje na ultratankim rezovima (koristeći se kvantitativnim

sterološkim metodama) potvrdilo je prijašnja kvalitativna zapažanja. Prema ovom istraživanju, volumen jezgre stanica acinusa se statistički značajno smanjuje 30 dana nakon orhidektomije u usporedbi sa kontrolnom skupinom životinja.

Žljezdani acinusi izvanorbitalne suzne žlijezde štakora promatrani svjetlosnim i transmisijskim elektronskim mikroskopom građeni su od dvije vrste stanica, tamnih i svijetlih. Tamne stanice acinusa (promatrane na polutankim rezovima obojenim toluidinskim modrilom) imaju tamno obojenu citoplazmu, za razliku od svijetlih stanica koje imaju svjetlu citoplazmu ispunjenu pretežno sekretnim zrncima dajući joj „prozračan“ izgled. Tamne stanice promatrane transmisijskim elektronskim mikroskopom imaju hrapavu endoplazmatsku mrežicu čije su membrane gusto i pravilno raspoređene, te brojna sekretna zrnca veće elektronske gustoće. Građa tamnih stanica odgovorana je za njihov tamniji izgled. Za razliku od tamnih stanica, svijetle stanice imaju citoplazmu ispunjenu hrapavim endoplazmatskim retikulumom čije su cisterne proširene. Preostali dio citoplazme im je ispunjen brojnim elektronsko mikroskopski rijetkim sekretnim zrncima između kojih se nalazi citoplazma sa staničnim organelama dajući im „prozračan“ izgled [3,4,7,34,52]. Vrlo vjerovatno se radi o istim vrstama stanica ali u različitim fazama sekrecijskog ciklusa (funkcionalnim stanjima stanica). Ukoliko bi se radilo o dvije zasebne vrsta stanica, potrebno bi bilo učiniti dodatna imuno-elektronska i molekularna istraživanja, no to trenutno nije bio cilj ovog istraživanja.

Dosadašnja istraživanja nisu se bavila pitanjem kako starenje i orhidektomija utječu na volumensku gustoću sekretnih zrnaca stanica acinusa izvanorbitalne žlijezde. Zapaženo je samo da orhidektomija uzrokuje smanjenje broja sekretnih zrnaca i stavlja stanicu u neku vrstu mirovanja. Tijekom ovog istraživanja stereološkom metodom utvrđeno je da, iako je u početnom periodu istraživanja u orhidektomiranoj skupini životinja volumenska gustoća sekretnih zrnaca bila veća, ta se razlika statistički izjednačila 60. dana istraživanja. Ono što je

zanimljivo je da je u orhidektomiranoj skupini životinja volumen sekretnih zrnaca bio konstantan tijekom cijelog istraživanja, osim tijekom 60 dana kada dolazi do statistički značajnog pada u volumenskoj gustoći sekretnih zrnaca ($p < 0,005$). Međutim, u kontrolnoj i lažno orhidektomiranoj skupini životinja dolazi do stalnog porasta volumena sekretnih zrnaca, koja se statistički ne razlikuje u 90. danu od volumena sekretnih zrnaca orhidektomirane skupine životinja. Iz toga se može zaključiti da orhidektomija smanjuje sintezu stanica acinusa i posljedično uzrokuje samo povećanje volumena njihovih sekretnih zrnaca.

Lumen acinusa je slabo proučavani dio izvanorbitalne suzne žljezde štakora. Radi histološke građe acinusa žljezde (piramidnih epitelnih žljezdanih stanica sa vršno položenim mikrovilima), lumen acinusa je vrlo teško vidljiv (kad se tkivo žljezde promatra svjetlosnim mikroskopom). Da bi se mogao kvalitetno analizirati lumen acinusa, nužno je promatrati tkivo žljezde transmisijskim elektronskim mikroskopom. U sadašnjem istraživanju koristeći se stereološkim metodama mjerena lumena acinusa na ultratankim rezovima, došlo se do zaključka da se tijekom starenja lumen acinusa smanjuje, posebice u skupini orhidektomiranih životinja žrtvovanoj 90. dana istraživanja. Tijekom cijelog istraživanja lumen acinusa žljezde je veći u životinja koje nisu podvrgnute orhidektomiji, iako u svim istraživanim skupinama lumen acinusa pokazuje tendenciju smanjenja i izrazitu varijabilnost po danima istraživanja. Može se zaključiti da samo starenje dovodi do smanjenja volumena acinusa, dok orhidektomija pospješuje sam proces.

Poznato je da, sa starenjem, u tkivu suzne žljezde štakora i suzne žljezde čovjeka dolazi do povećane količine vezivnog tkiva, što je posljedica atrofije žljezdanog tkiva. Orhidektomija samo ubrzava proces koji nastaje starenjem, ali nije samo ona dogovorna za proces zamjene žljezdanog tkiva manje vrijednim vezivnim tkivom [4,7,31,72,74,75,78,79]. Do sada istraživanja nisu kvantificirala u kojoj mjeri starenje i orhidektomija utječu na vezivno tkivo

izvanorbitalne žlijezde, a posebice u kolikoj su mjeri te pojave izražene u samim režnjićima. U režnjićima se nalazi rahlo vezivno tkivo, s ponekom vezivnom stanicom i oskudnim izvanstaničnim matriksom. Rezultati sadašnjeg istraživanja pokazali su da nema statistički značajnije promjene u volumenu intralobularnog vezivnog tkiva između pojedinih skupina životinja tijekom cjelokupnog eksperimenta po danima istraživanja. Međutim, u orhidektomiranoj i lažnoj orhidektomiranoj skupini životinja tijekom eksperimenta dolazi do statistički značajnog pada volumena intralobularnog vezivnog tkiva. Pad je značajno veći u orhidektomiranoj skupini životinja i to 90. dana od početka istraživanja. Orhidektomirana skupina i lažno orhidektomirana skupina na početku istraživanja pokazuju veće vrijednosti volumena intralobularnog vezivnog tkiva u usporedbi s kontrolnom skupinom ali ta razlika nije statistički značajna. Međutim, iz rezultata je vidljivo da je pad volumena vezivnog tkiva veći i izraženiji u orhidektomiranoj skupini nego u kontrolnim skupinama životinja. S obzirom da dolazi do pada volumena intralobularnog vezivnoga tkiva u svim skupinama životinja (ali je nešto izraženiji pad u orhidektomiranoj skupini), konačni rezultat na kraju eksperimenta (90. dana) ne pokazuje statistički značajnu razliku u volumenu intralobularnog vezivnog tkiva između pojedinih skupina. Proučavajući rezultate vidljivo je da starenje dovodi do apsolutnog smanjenja volumena intralobularnog vezivnog tkiva, dok orhidektomija ubrzava sam proces.

Iz rezultata ovog istraživanja može se zaključiti da orhidektomija utječe na makroskopsku i mikroskopsku građu izvanorbitalne suzne žlijezde štakora. Orhidektomija te posljedični pad koncentracije testosterona u krvi životinje ima za posljedicu atrofiju žlijezde, smanjenje vrijednosti dužinske gustoće odvodnih intralobularnih kanala, smanjenje volumske gustoće jezgre, intralobularnog i vezivnog tkiva, endoplazmatskog retikuluma stanica acinusa, volumena lumena acinusa te sprečava pojavu „harderizacije“ žlijezde. Sve navedene promjene mogu se primijetiti da su statistički najizraženije do 60 dana nakon orhidektomije.

Nakon 60-og dana nakon orhidektomije za pretopostaviti je da dolazi do povećane proizvodnje testosterona iz kore nadbubrežne žljezde koja djelomično poništava učinak orhidektomije. Potrebna su još dodatna istraživanja koja bi potvrdila ili opovrgla pretpostavke dobivene ovim istraživanjem o utjecaju spolnih i drugih hormona na izvanorbitalnu suznu žljezdu štakora.

14. Zaključak

1. Stanice acinusa izvanorbitalne suzne žlijezde muškog štakora promatrane na polutankim i ultratankim rezovima građene su od svijetlih i tamnih stanica.
2. Svjetle stanice promatrane na ultratankim rezovima imaju citoplazmu građenu od sekretnih zrnaca koja su rastresito raspoređena, a hrapava endoplazmatska mrežica ima izrazito proširene cisterne. Tamne stanice imaju elektronsko mikroskopski gusto raspoređena sekretna zrnca u citoplazmi, a hrpava endoplazmatska mrežica ima gusto i pravilno poredane cisterne.
3. U kontrolnim skupinama životinja sa starenjem jedinki dolazi do nakupljanja lipidnih kapljica u citoplazmi stanica acinusa. Tu pojavu nazivamo „harderizacijom“. „Harderizacija“ se ne primjećuje u životinja koje su orhidektomirane.
4. Orhidektomija uzrokuje smanjenje dužine intralobularnih odvodnih kanala žlijezde. Starenje kao takvo ne uzrokuje promjenu u dužini intralobularnih odvodnih kanala.
5. Orhidektomija uzrokuje smanjenje volumena jezgre stanica acinusa 30. dana nakon orhidektomije, dok se volumen jezgri stanica ne mijenja kod životinja unutar prvih 6 mjeseci života.
6. Orhidektomija uzrokuje smanjenje volumena hrpave endoplazmatske mrežice stanica acinusa žlijezde, dok se volumen hrpave endoplazmatske mrežice istih stanica kontrolnih skupina životinja statistički značajnije ne mijenja tijekom istraživanja.
7. Volumen sekretnih zrnaca u orhidektomiranoj skupini ne pokazuje značajniju promjenu u orhidektomiranoj skupini životinja, međutim, u kontrolnoj skupini životinja tijekom istraživanja dolazi do povećanja istog volumena.
8. Volumenska gustoća acinusa se tijekom starenja i nakon orhidektomije statistički značajno smanjuje, međutim pokazuje izrazitu varijabilnost tijekom cijelog

istraživanja. Volumen acinusa je u orhidektomiranoj skupini životinja manji nego u kontrolnih skupina životinja tijekom cijelog istraživanja.

9. Volumenska gustoća vezivnog tkiva izvanorbitalne žljezde je stalna u kontrolnim skupinama životinja, no u orhidektomiranoj skupini životinja dolazi do statistički značajnog pada 90. dana nakon orhidektomije.

15. Sažetak

Dosadašnja provedena istraživanjima na izvanorbitalnoj suznoj žljezdi štakora nisu proučavala kako muške spolne žljezde (testisi) utječu na histološku građu i funkciju izvanorbitalne suzne žljezde štakora.

Cilj ovog istraživanja bio je proučiti morfologiju izvanorbitalne suzne žljezde štakora, zatim utvrditi kako starenje i orhidektomija utječe na ovu žljezdu.

Tijekom istraživanja korišteni su spolno zreli mužjaci štakora stari tri mjeseca (soja Fisher). Eksperimentalne grupe životinja podijeljene su u tri skupine. Kontrolnoj skupini životinja nije učinjena ni jedna vrsta kruškog zahvata, lažnoorhidektomiranoj skupini simuliran je operativni zahvat orhidektomije, a orhidektomiranoj skupini životinja učinjena je obostrana orhidektomija.

Nakon određenog vremenskog razdoblja (3 dana, 14 dana, 30 dana, 60 dana i 90 dana) životinje su žrtvovane, a njihove izvanorbitalne suzne žljezde su fiksirane u 5,5 % glutaraldehidu i Bouinu. Tkivo fiskirano u 5,5 % glutaraldehidu je postfiksirano u 1% OsO₄ i uklopljeno je u smolu Durcopan i rezano na polutanke i ultratanke rezove, dok je tkivo fiksirano u Bouinu uklopljeno u parafin i rezano na debljinu od 4 µm.

Kvalitativna analiza tkiva žljezde izvršena je uz pomoć binokularnog svjetlosnog mikroskopa Nikon Alphaphot (Nikon, Japan) i transmisijskog elektronskog mikroskopa JEOL JEM-1400 (JEOL, Japan). Za kvantitativnu (stereološku) analizu na svjetlosnoj mikroskopskoj razini korišten je mnogonamjesni testni sustav po Weibelu s 42 testne točke, a na elektronsko mikroskoposkoj razini korišten je program STEPanizer (Anatomski institut Sveučilišta u Bernu, Švicarska). U elektronskom programu digitalne slike dobivene transmisijskim elektronskom mikroskopom obrađivane se testnim sustavom po Weibelu s 64 testne točke.

Žljezdani acinusi izvanorbitalne suzne žljezde mužjaka štakora su serokmukozni acinusi koji se sastoje od svijetlih i tamnih stanica u svim ispitivanim skupinama životinja. Sa starenjem jedinki dolazi do nakupljanja lipidnih kapljica u citoplazmi stanica acinusa. Tu pojavu nazivamo „harderizacijom“. „Harderizacija“ se ne primjećuje u životinja koje su orhidektomirane.

Orhidektomija uzrokuje smanjenje dužine intralobularnih odvodnih kanala žljezde dok se u kontrolnoj skupini životinja ta promjena ne primjećuje sa starenjem životinje. Orhidektomija također uzrokuje smanjenje volumena jezgre stanica acinusa 30. dana nakon orhidektomije ($p < 0,005$), dok se volumen jezgri stanica ne mijenja kod životinja unutar prvih 6 mjeseci života.

Volumen hrapave endoplazmatske mrežice acinusnih stanica žljezde orhidektomiranih jedinki pokazuje statistički značajno smanjenje od 14. dana nakon orhidektomije pa sve do kraja eksperimenta (90 dana). Volumen hrapave endoplazmatske mrežice acinusnih stanica žljezde kontrolnih skupina životinja statistički se značajnije ne mijenja tijekom istraživanja.

Volumen sekretnih zrnaca acinusnih stanica žljezde kontrolne skupine životinja se povećava tijekom istraživanja dok u orhidektomiranih jedinkih volumen sekretnih zrnaca istraživane žljezde je stalan.

Volumenska gustoća acinusa se tijekom starenja i nakon orhidektomije statistički značajno smanjuje ($p < 0,005$), međutim pokazuje izrazitu varijabilnost tijekom cijelog istraživanja. Volumen acinusa je u orhidektomiranoj skupini životinja manji nego u kontrolnim skupinama životinja tijekom cijelog istraživanja. Volumenska gustoća vezivnog tkiva izvanorbitalne suzne žljezde je stalna u kontrolnim skupinama životinja, no u orhidektomiranoj skupini životinja dolazi do statistički značajnog pada 90. dana nakon orhidektomije.

Temeljem gore navedenih rezultata može se zaključiti da postoji značajna povezanost između sjemenika i izvanorbitalne suzne žljezde štakora.

16. Summary

Gordan Grahovac, MD: Effect of orchectomy on extra orbital lacrimal gland of the rat, 2014

Current research did not examine influence of the testicles on the histological appearance and function on the extra orbital lacrimal gland of the rat.

Aim of this research was to evaluate the morphology of extra orbital lacrimal gland of the rat and how aging and orchectomy influence on this gland.

For this research we have used male rats of the three months old (Fischer strain). The experimental animals were divided into three experimental groups. Control group was not subjected to any kind of surgical procedure, in false orchectomy group we have simulated surgical procedure of orchectomy and in orchectomy group we performed bilateral orchectomy.

After certain period of time (3 days, 14 days, 30 days, 60 days and 90 days) the animals were sacrificed and their extra orbital lacrimal gland were fixed in 5,5 % glutaraldehyde and Bouine. Tissue fixed in 5,5 % glutaraldehyde was processed in 1 % OsO₄ and embedded in Durcopan resin and cut on half thin and ultra-thin sections, while the tissue fixed in Bouine was embedded into paraffin and sectioned on 4 µm sections.

Quantitative analysis of the tissue was performed with the use of light microscope Nikon Alphaphot (Nikon, Japan) and electron microscope Jeol JEM-1400 (JEOL, Japan). For the qualitative stereological analysis of the light microscope pictures we have used Weibel testing system with 42 testing points, and for the analysis of the electronic microscopic pictures we have used STEPanizer program (Institute of anatomy, Bern, Switzerland). In the STEPanizer program the digital images retrieved by the electron microscope were tested with Weibel testing system with 64 testing points.

Extra orbital gland acini of the male rat are seromucose acini that are composed of light and dark cells in all examined animal groups. With the aging of the animals we have noticed accumulation of the lipid droplets in the cytoplasm of acini cells. That phenomenon we call harderization. We have not noticed harderization in the group of orchidectomized animals.

Orchiectomy is causing shortening the length of the intralobular excretory ducts. This phenomenon is not noticed in control group of the animals and is not induced with the aging of the animals. Orchiectomy also causes decrement of the nucleus volume of the acinar cells 30 days after orchiectomy ($p<0,005$), while the volume of the nuclei of the acini cells of the control groups of the animals does not change in the first six months of life.

Rough endoplasmatic reticulum volume of the acini of the orchiectomy animals showed statistical significant reduction 14 days after orchiectomy and through all days after that. Rough endoplasmatic reticulum volume of the acini of the control group did not show any statistical significant variation.

Volume of the secretory granules of the acini of the control group showed significant increment through all experiment while the volume of the secretory granules is stable in orchiectomy group through all experiment.

Volume density of the acini has significantly decreased with the aging and after orchiectomy ($p<0,005$), but it showed pronounced variability during experiment. Volume of the acini of the orchiectomy animals is less than in control group of animals. Volume density of the connective tissue is constant in control group of the animals, but in orchiectomy group shows marked decrement after 90 days after orchiectomy.

We have showed with our experiment that there is significant connection between extra orbital lacrimal gland and testicles of the rat.

17. Popis literature

1. Schrimmer O. Studien zur physiologie und pathologie der transenabsondierung und transenabfuhr. Graefes Arch Clin Exp Ophthalmol 1903;56:197-291.
2. Schechter JE, Warren DW, Mircheff AK. A lacrimal gland is a lacrimal gland, but rodent's and rabbit's are not human. The ocular surface 2010;8(3):111-34.
3. Baquiche M. [Sexual dimorphism of Loewenthal's gland in albino rat]. Acta Anat (Basel) 1959;36(3):247-80.
4. Draper CE, Adeghate E, Lawrence PA, Pallot DJ, Garner A, Singh J. Age-related changes in morphology and secretory responses of male rat lacrimal gland. J Auton Nerv Syst 1998;69(2-3):173-83.
5. Herzog V, Sies H, Miller F. Exocytosis in secretory cells of rat lacrimal gland. Peroxidase release from lobules and isolated cells upon cholinergic stimulation. The Journal of cell biology 1976;70(3):692-706.
6. Singh J, Adeghate E, Burrows S, Howarth FC, Williams RM. Immunohistochemistry and protein secretion in the rat lacrimal gland: a morphophysiological study. Adv Exp Med Biol 1994;350:25-30.
7. Walker R. Age changes in the rat's exorbital lacrimal gland. Anat Rec 1958;132(1):49-69.
8. Bartak V. Sperm count, morphology and motility after unilateral mumps orchitis. Journal of reproduction and fertility 1973;32(3):491-4.
9. Candel S. Epididymitis in mumps, including orchitis: further clinical studies and comments. Annals of internal medicine 1951;34(1):20-36.

10. Philip RN, Reinhard KR, Lackman DB. Observations on a mumps epidemic in a virgin population. *American journal of hygiene* 1959;69(2):91-111.
11. Loewenthal N. Die Gl. infraorbitalis und eine besondere der Parotis anliegende Drise bei der weissen Ratte. *Arch. f. mikr. Anat.* 1900;56:535-52.
12. Venable JHG, A.L. Gross anatomy of the orbital glands in the albino rat. *Journal of Mammalogy* 1940;21(1):66-71.
13. Alexander JH, Young JA, van Lennep EW. The ultrastructure of the duct system in the rat extraorbital lacrimal gland. *Zeitschrift fur Zellforschung und mikroskopische Anatomie* 1973;144(4):453-66.
14. Alexander JH, van Lennep EW, Young JA. Water and electrolyte secretion by the exorbital lacrimal gland of the rat studied by micropuncture and catheterization techniques. *Pflugers Arch* 1972;337(4):299-309.
15. Draper CE, Adeghate EA, Singh J, Pallot DJ. Evidence to suggest morphological and physiological alterations of lacrimal gland acini with ageing. *Exp Eye Res* 1999;68(3):265-76.
16. Williams RM, Singh J, Sharkey KA. Innervation and mast cells of the rat exorbital lacrimal gland: the effects of age. *J Auton Nerv Syst* 1994;47(1-2):95-108.
17. Dartt Da Jl, Hodges RR, et al. . Nestin-positive myoepithelial cells are progenitor cells in the lacrimal gland. *ARVO abstract* 2008;2451.
18. Dartt DA. Neural regulation of lacrimal gland secretory processes: relevance in dry eye diseases. *Progress in retinal and eye research* 2009;28(3):155-77.

19. Dartt DA. Interaction of EGF family growth factors and neurotransmitters in regulating lacrimal gland secretion. *Exp Eye Res* 2004;78(3):337-45.
20. Dartt DA, Baker AK, Vaillant C, Rose PE. Vasoactive intestinal polypeptide stimulation of protein secretion from rat lacrimal gland acini. *The American journal of physiology* 1984;247(5 Pt 1):G502-9.
21. Nikkinen A, Uusitalo H, Lehtosalo JI, Palkama A. Distribution of adrenergic nerves in the lacrimal glands of guinea-pig and rat. *Exp Eye Res* 1985;40(5):751-6.
22. Parod RJ, Dambach GE, Putney JW, Jr. Membrane potential changes in lacrimal gland acinar cells elicited by carbachol and epinephrine. *The Journal of pharmacology and experimental therapeutics* 1980;213(3):473-9.
23. Parod RJ, Putney JW, Jr. An alpha-adrenergic receptor mechanism controlling potassium permeability in the rat lacrimal gland acinar cell. *The Journal of physiology* 1978;281:359-69.
24. Putney JW, Jr., VandeWalle CM, Leslie BA. Stimulus-secretion coupling in the rat lacrimal gland. *The American journal of physiology* 1978;235(5):C188-98.
25. Dartt DA, Rose PE, Joshi VM, Donowitz M, Sharp GW. Role of calcium in cholinergic stimulation of lacrimal gland protein secretion. *Curr Eye Res* 1985;4(4):475-83.
26. Friedman ZY, Lowe M, Selinger Z. beta-Adrenergic receptors stimulated peroxidase secretion from rat lacrimal gland. *Biochimica et biophysica acta* 1981;675(1):40-5.
27. Hussain M, Singh J. Is VIP the putative non-cholinergic, non-adrenergic neurotransmitter controlling protein secretion in rat lacrimal glands? *Quarterly journal of experimental physiology* 1988;73(1):135-8.

28. Muller P, Chambaut-Guerin AM, Rossignol B. Comparative effects of cytochalasin D on the protein discharge induced by alpha- and beta-adrenergic or cholinergic agonists in rat exorbital lacrimal glands. *Biochimica et biophysica acta* 1985;844(2):158-66.
29. Dartt DA. Regulation of tear secretion. *Adv Exp Med Biol* 1994;350:1-9.
30. Dartt DA. Signal transduction and control of lacrimal gland protein secretion: a review. *Curr Eye Res* 1989;8(6):619-36.
31. Draper CE, Singh J, Adeghate E. Effects of age on morphology, protein synthesis and secretagogue-evoked secretory responses in the rat lacrimal gland. *Molecular and cellular biochemistry* 2003;248(1-2):7-16.
32. Bromberg BB, Cripps MM, Welch MH. Sympathomimetic protein secretion by young and aged lacrimal gland. *Curr Eye Res* 1986;5(3):217-23.
33. Bromberg BB, Welch MH. Lacrimal protein secretion: comparison of young and old rats. *Exp Eye Res* 1985;40(2):313-20.
34. Sashima M, Hatakeyama S, Satoh M, Suzuki A. Harderianization is another sexual dimorphism of rat exorbital lacrimal gland. *Acta Anat (Basel)* 1989;135(4):303-6.
35. Mhatre MC, van Jaarsveld AS, Reiter RJ. Melatonin in the lacrimal gland: first demonstration and experimental manipulation. *Biochemical and biophysical research communications* 1988;153(3):1186-92.
36. Pangerl A, Pangerl B, Jones DJ, Reiter RJ. Beta-adrenoceptors in the extraorbital lacrimal gland of the Syrian hamster. Characterization with [¹²⁵I]-iodopindolol and evidence of sexual dimorphism. *Journal of neural transmission* 1989;77(2-3):153-62.

37. Ferrara D, Monteforte R, Baccari GC, Minucci S, Chieffi G. Androgen and estrogen receptors expression in the rat exorbital lacrimal gland in relation to "harderianization". *Journal of experimental zoology. Part A, Comparative experimental biology* 2004;301(4):297-306.
38. Djeridane Y. The harderian gland and its excretory duct in the Wistar rat. A histological and ultrastructural study. *Journal of anatomy* 1994;184 (Pt 3):553-66.
39. Burns RB. Histological and immunological studies on the fowl lacrimal gland following surgical excision of Harder's gland. *Research in veterinary science* 1979;27(1):69-75.
40. Payne AP. The attractiveness of Harderian gland smears to sexually naive and experienced male golden hamsters. *Animal behaviour* 1979;27(Pt 3):897-904.
41. Thiessen DD, Graham M, Perkins J, Marcks S. Temperature regulation and social grooming in the Mongolian gerbil (*Meriones unguiculatus*). *Behavioral biology* 1977;19(3):279-88.
42. Thiessen DD, Kittrell EM. The Harderian gland and thermoregulation in the gerbil (*Meriones unguiculatus*). *Physiology & behavior* 1980;24(3):417-24.
43. Pevet P, Heth G, Hiam A, Nevo E. Photoperiod perception in the blind mole rat (*Spalax ehrenbergi*, Nehring): involvement of the Harderian gland, atrophied eyes, and melatonin. *The Journal of experimental zoology* 1984;232(1):41-50.
44. Reiter RJ, Richardson BA, Matthews SA, Lane SJ, Ferguson BN. Rhythms in immunoreactive melatonin in the retina and Harderian gland of rats: persistence after pinealectomy. *Life sciences* 1983;32(11):1229-36.
45. Wetterberg L, Geller E, Yuwiler A. Harderian gland: an extraretinal photoreceptor influencing the pineal gland in neonatal rats? *Science* 1970;167(3919):884-5.

46. Gabe M. [Hormonal conditioning of the morphology of the supra-parotid glands in white rats]. Comptes rendus des seances de la Societe de biologie et de ses filiales 1955;149(3-4):223-5.
47. Cornell-Bell AH, Sullivan DA, Allansmith MR. Gender-related differences in the morphology of the lacrimal gland. Invest Ophthalmol Vis Sci 1985;26(8):1170-5.
48. Lauria A, Porcelli F. Leucine aminopeptidase (LAP) activity and sexual dimorphism in rat exorbital lacrimal gland. Basic Appl Histochem 1979;23(2):171-7.
49. Paulini K, Mohr W, Beneke G, Kulka R. [Age- und sex-dependent changes in glandular cells. II. Cytophotometric and autoradiographic investigations on the glandula lacrimalis, glandula infraorbitalis and glandula orbitalis externa of the rat]. Gerontologia 1972;18(2):147-56.
50. Ricciardi MP, Soldani P, Gesi M, Ruffoli R, Lenzi P. Bilateral dimorphism of Loewenthal's gland in young male albino rats: an ultrastructural investigation. Ann Anat 1999;181(5):475-82.
51. Collin RG, M. Caryometrie comparée des deux portions de la glande de Lowenthal. Acta Anat (Basel) 1932;109:472-74.
52. Coujard M. ['Harderization' of the Loewenthal gland in the white rat]. Comptes rendus des seances de la Societe de biologie et de ses filiales 1974;168(2-3):231-3.
53. Elias H, Hyde DM. An elementary introduction to stereology (quantitative microscopy). Am J Anat 1980;159(4):412-46.
54. Kališnik M. Temelji stereologije. Acta Stereologica 1985;4:147.

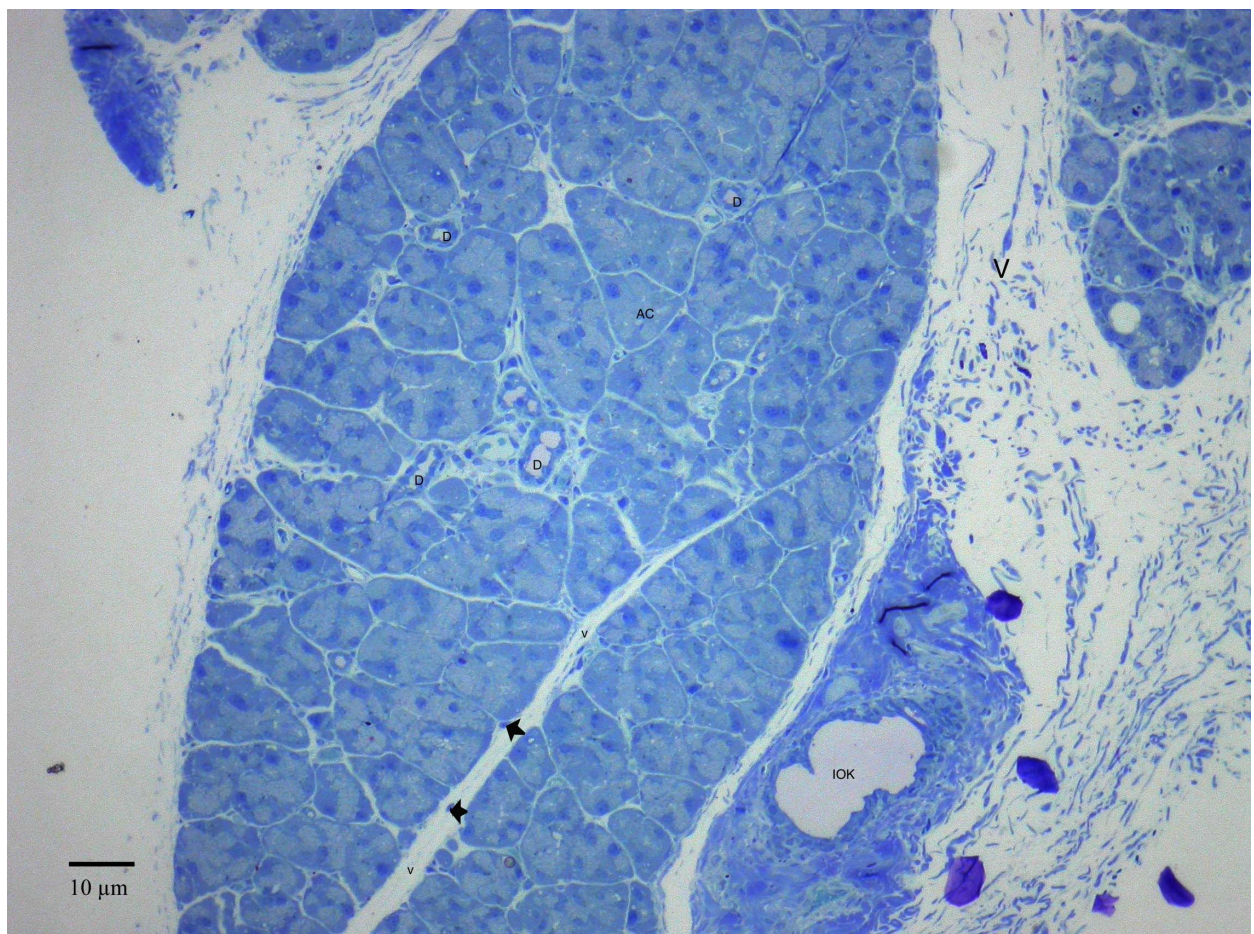
55. Tschanz SA, Burri PH, Weibel ER. A simple tool for stereological assessment of digital images: the STEPanizer. *Journal of microscopy* 2011;243(1):47-59.
56. Schaumberg DA, Sullivan DA, Buring JE, Dana MR. Prevalence of dry eye syndrome among US women. *American journal of ophthalmology* 2003;136(2):318-26.
57. Schaumberg DA, Dana R, Buring JE, Sullivan DA. Prevalence of dry eye disease among US men: estimates from the Physicians' Health Studies. *Archives of ophthalmology* 2009;127(6):763-8.
58. Kronenberg H, Williams RH. *Williams textbook of endocrinology*. 11th ed. Philadelphia, PA: Saunders/Elsevier, 2008.
59. Schaumberg DA, Buring JE, Sullivan DA, Dana MR. Hormone replacement therapy and dry eye syndrome. *JAMA : the journal of the American Medical Association* 2001;286(17):2114-9.
60. Serrander AM, Peek KE. Changes in contact lens comfort related to the menstrual cycle and menopause. A review of articles. *Journal of the American Optometric Association* 1993;64(3):162-6.
61. Versura P, Fresina M, Campos EC. Ocular surface changes over the menstrual cycle in women with and without dry eye. *Gynecological endocrinology : the official journal of the International Society of Gynecological Endocrinology* 2007;23(7):385-90.
62. Warren DW. Hormonal influences on the lacrimal gland. *International ophthalmology clinics* 1994;34(1):19-25.
63. Warren DW, Azzarolo AM, Huang ZM, i sur. Androgen support of lacrimal gland function in the female rabbit. *Adv Exp Med Biol* 1998;438:89-93.

64. Azzarolo AM, Bjerrum K, Maves CA, i sur. Hypophysectomy-induced regression of female rat lacrimal glands: partial restoration and maintenance by dihydrotestosterone and prolactin. *Invest Ophthalmol Vis Sci* 1995;36(1):216-26.
65. Sullivan DA, Block L, Pena JD. Influence of androgens and pituitary hormones on the structural profile and secretory activity of the lacrimal gland. *Acta ophthalmologica Scandinavica* 1996;74(5):421-35.
66. Mathers WD, Stovall D, Lane JA, Zimmerman MB, Johnson S. Menopause and tear function: the influence of prolactin and sex hormones on human tear production. *Cornea* 1998;17(4):353-8.
67. McClellan KA, Robertson FG, Kindblom J, i sur. Investigation of the role of prolactin in the development and function of the lacrimal and harderian glands using genetically modified mice. *Invest Ophthalmol Vis Sci* 2001;42(1):23-30.
68. Richards SM, Liu M, Jensen RV, i sur. Androgen regulation of gene expression in the mouse lacrimal gland. *The Journal of steroid biochemistry and molecular biology* 2005;96(5):401-13.
69. Rocha EM, Wickham LA, Huang Z, i sur. Presence and testosterone influence on the levels of anti- and pro-inflammatory cytokines in lacrimal tissues of a mouse model of Sjogren's syndrome. *Adv Exp Med Biol* 1998;438:485-91.
70. Suzuki T, Sullivan DA. Comparative effects of estrogen on matrix metalloproteinases and cytokines in immortalized and primary human corneal epithelial cell cultures. *Cornea* 2006;25(4):454-9.

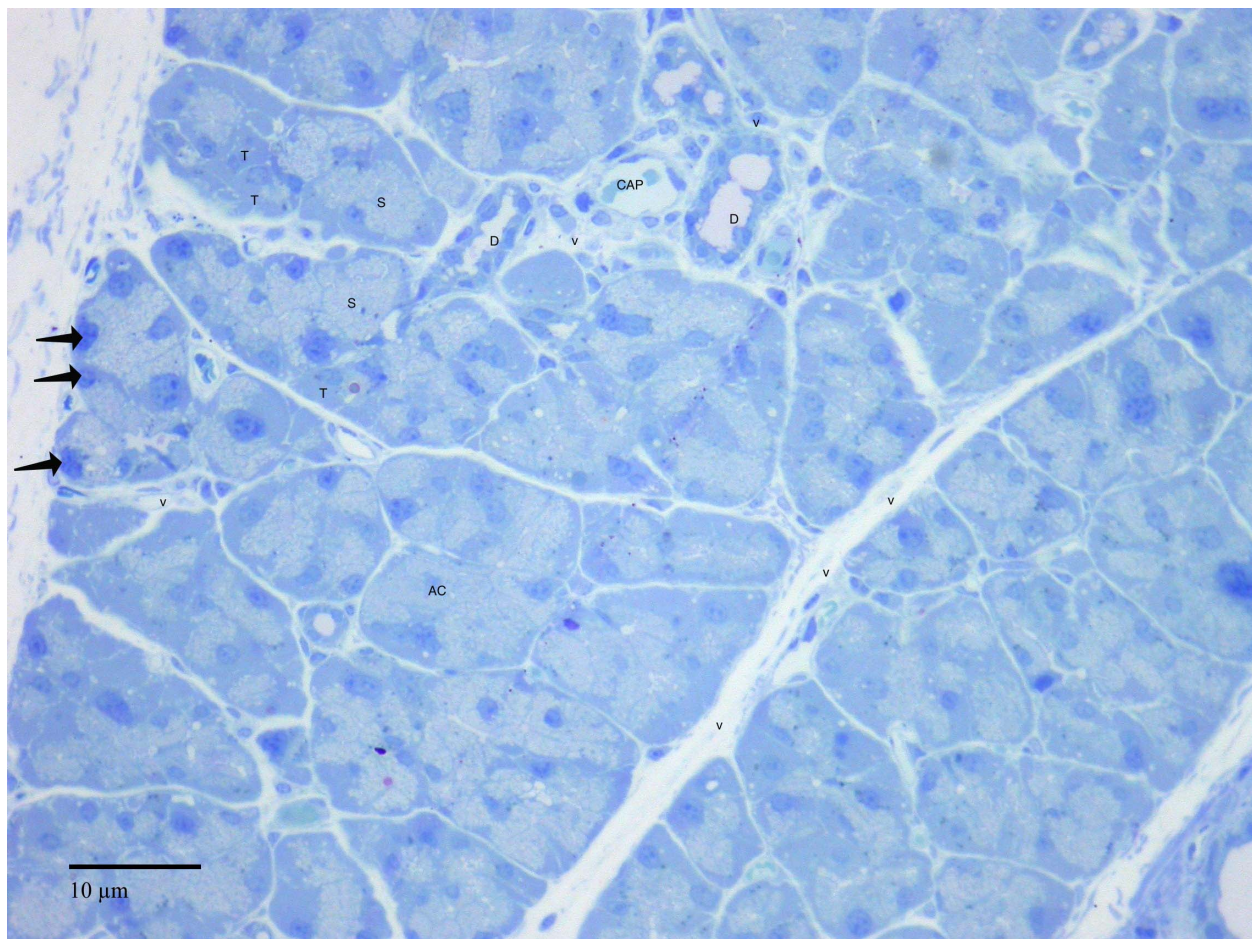
71. Davies J, Hoffman LH. Studies on the progestational endometrium of the rabbit. I. Light microscopy, day 0 to day 13 of gonadotrophin-induced pseudopregnancy. *Am J Anat* 1973;137(4):423-45.
72. Damato BE, Allan D, Murray SB, Lee WR. Senile atrophy of the human lacrimal gland: the contribution of chronic inflammatory disease. *The British journal of ophthalmology* 1984;68(9):674-80.
73. Obata H. Anatomy and histopathology of the human lacrimal gland. *Cornea* 2006;25(10 Suppl 1):S82-9.
74. Obata H, Yamamoto S, Horiuchi H, Machinami R. Histopathologic study of human lacrimal gland. Statistical analysis with special reference to aging. *Ophthalmology* 1995;102(4):678-86.
75. Roen JL, Stasior OG, Jakobiec FA. Aging changes in the human lacrimal gland: role of the ducts. *The CLAO journal : official publication of the Contact Lens Association of Ophthalmologists, Inc* 1985;11(3):237-42.
76. Waterhouse JP. Focal Adenitis in Salivary and Lacrimal Glands. *Proceedings of the Royal Society of Medicine* 1963;56:911-8.
77. Dzierzykray-Rogalska I, Chodyncki S, Wisniewski L. The Effect of Gonadectomy on the Parotid Salivary Gland and Loeventhal's Gland in White Mice. *Acta Med Pol* 1963;4:221-8.
78. Rios JD, Horikawa Y, Chen LL, i sur. Age-dependent alterations in mouse exorbital lacrimal gland structure, innervation and secretory response. *Exp Eye Res* 2005;80(4):477-91.

79. Rocha EM, Alves M, Rios JD, Dartt DA. The aging lacrimal gland: changes in structure and function. *The ocular surface* 2008;6(4):162-74.
80. Lorber M. Regional differences within the external 'duct' of the rat exorbital lacrimal gland. *Exp Eye Res* 1993;56(4):471-80.

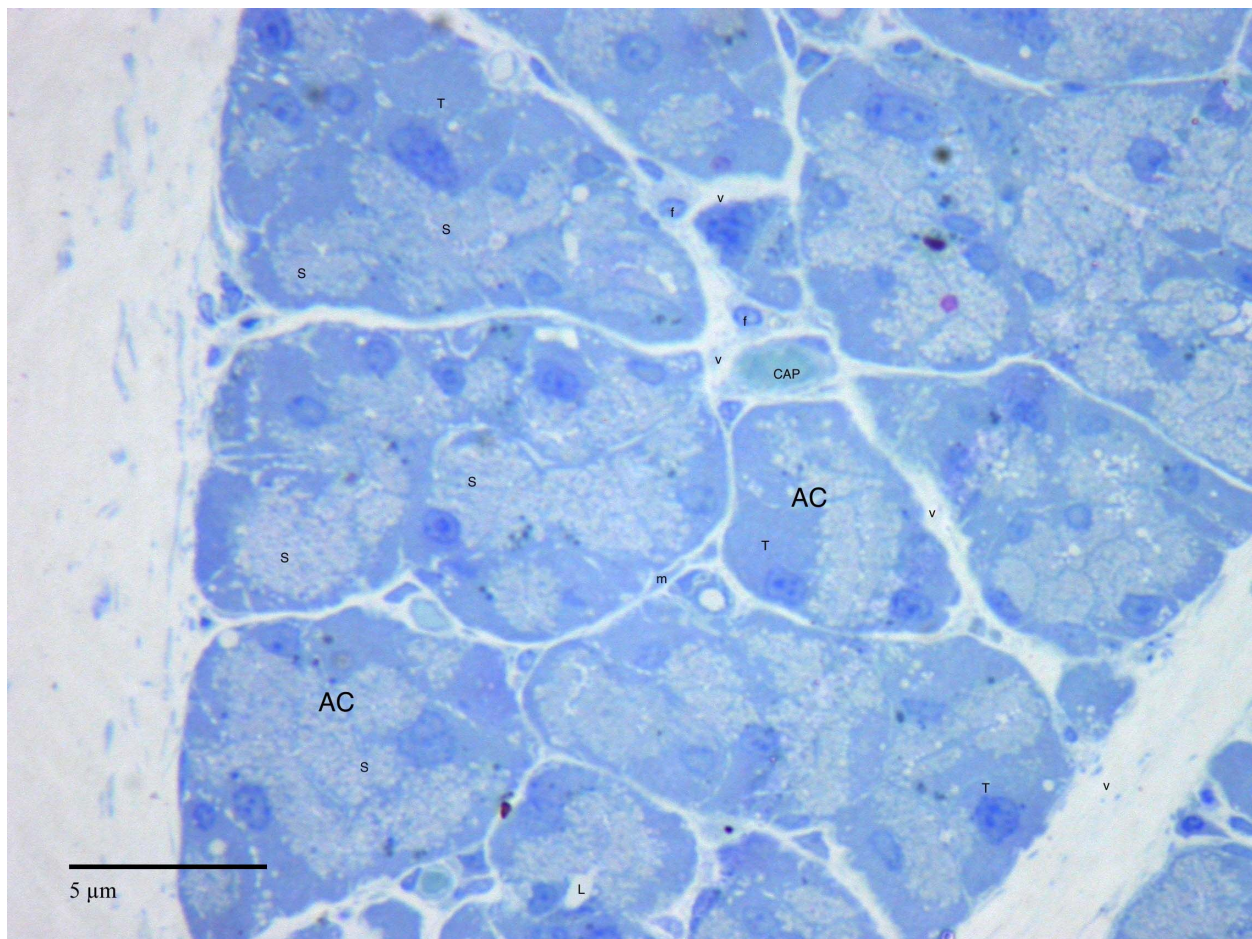
18. Prilozi kvalitativne histološke analize



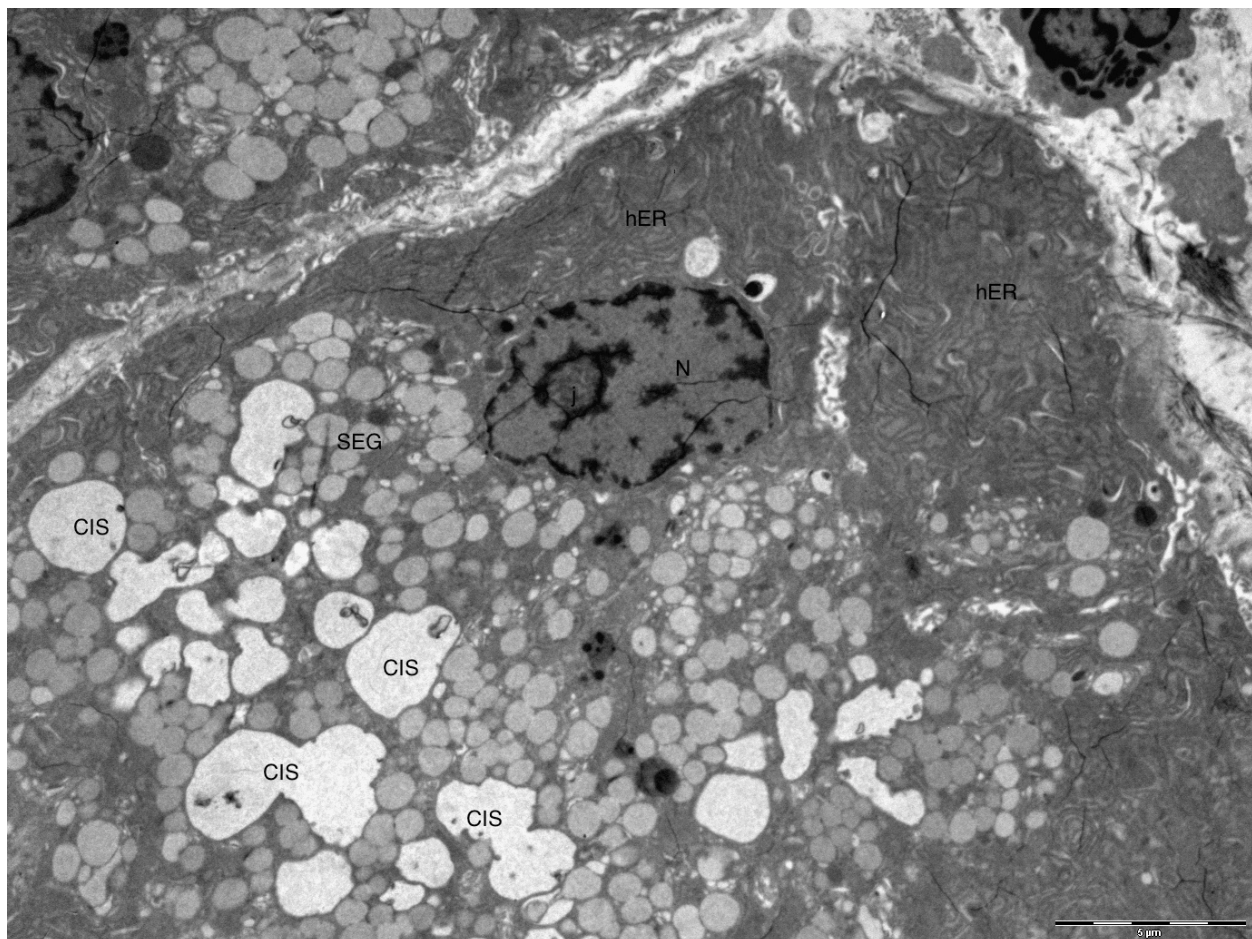
Slika 1. Izvanorbitalna suzna žljezda, intaktna kontrolna životinja (14 dana nakon početka istraživanja). Tkivo promatrano svjetlosnim mikroskopom; žljezdani režnjići građeni su od acinusa (AC) koji su međusobno odvojeni rahlim vezivnim tkivom (v) u kojem se nalaze pojedine vezivne stanice (tamne streljice). Više režnjića je povezano gušćim vezivnim tkivom (V) u režnjeve; u interlobarnom vezivnom tkivu moguće je vidjeti interlobarne prave odvodne kanale / cijevi žljezde (IOK) čiji je lumen nepravilnog oblika. U režnjićima žljezde vidljivi su intralobularni odvodni kanali žljezde (D) pravilnog lumena. (1% toluidinsko modrilo, x 100, mjerilo = 10 μm)



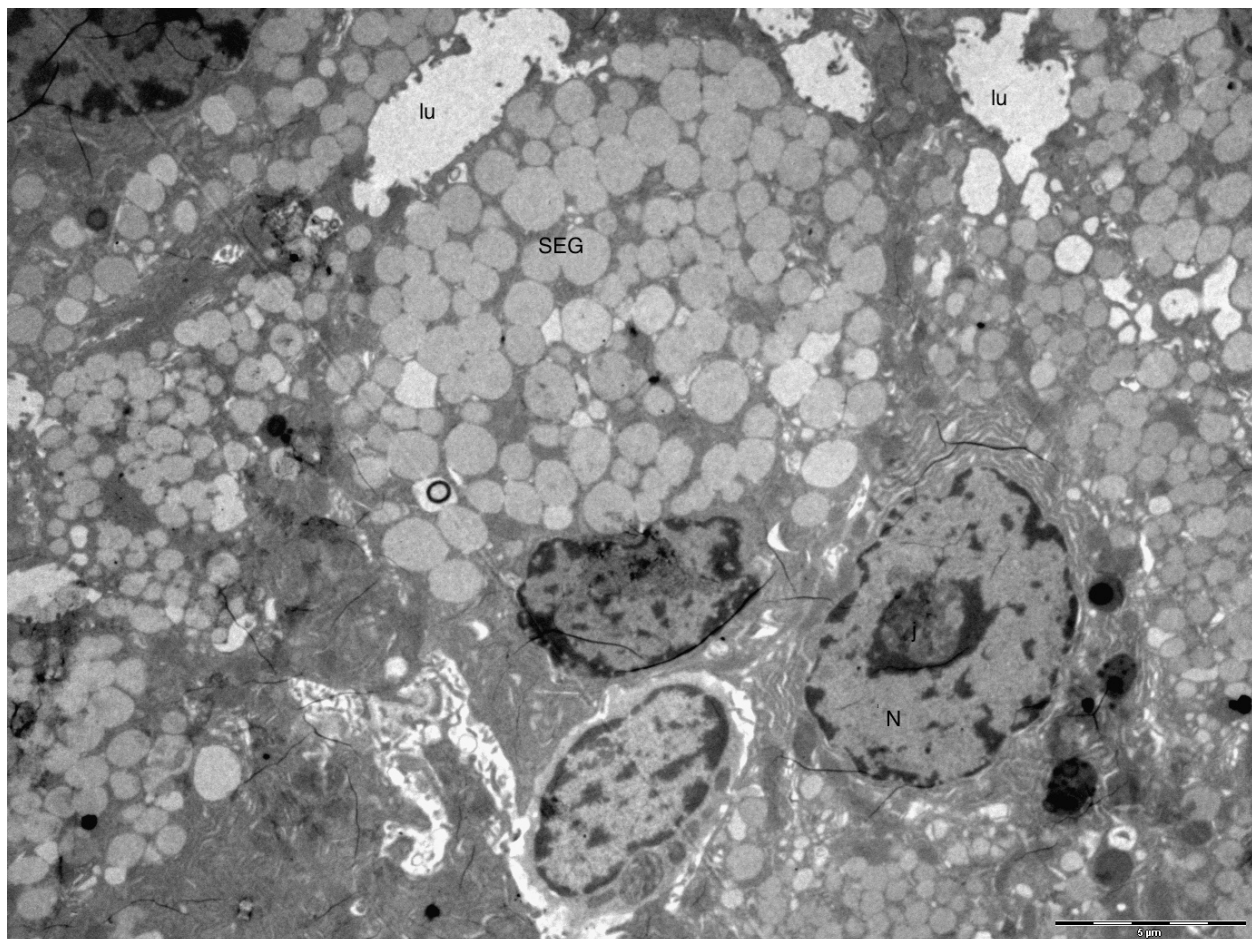
Slika 2. Izvanorbitalna suzna žljezda, intaktna kontrolna životinja (14 dana nakon početka istraživanja). Tkivo promatrano svjetlosnim mikroskopom; žljezdani acinusi (AC) građeni su od svijetlih (S) i tamnih stanica (T). Stanice acinusa imaju jezgru smještenu uz bazalni dio stanice (tamne strelice), a lumen acinusa je slabo vidljiv. Između acinusa nalazi se rahlo vezivno tkivo (v) u kojem se nalaze intralobularni odvodni kanali žljezde (D) i kapilare s eritrocitima (CAP). (1 % toluidinsko modrilo, $\times 200$, mjerilo = $10 \mu\text{m}$)



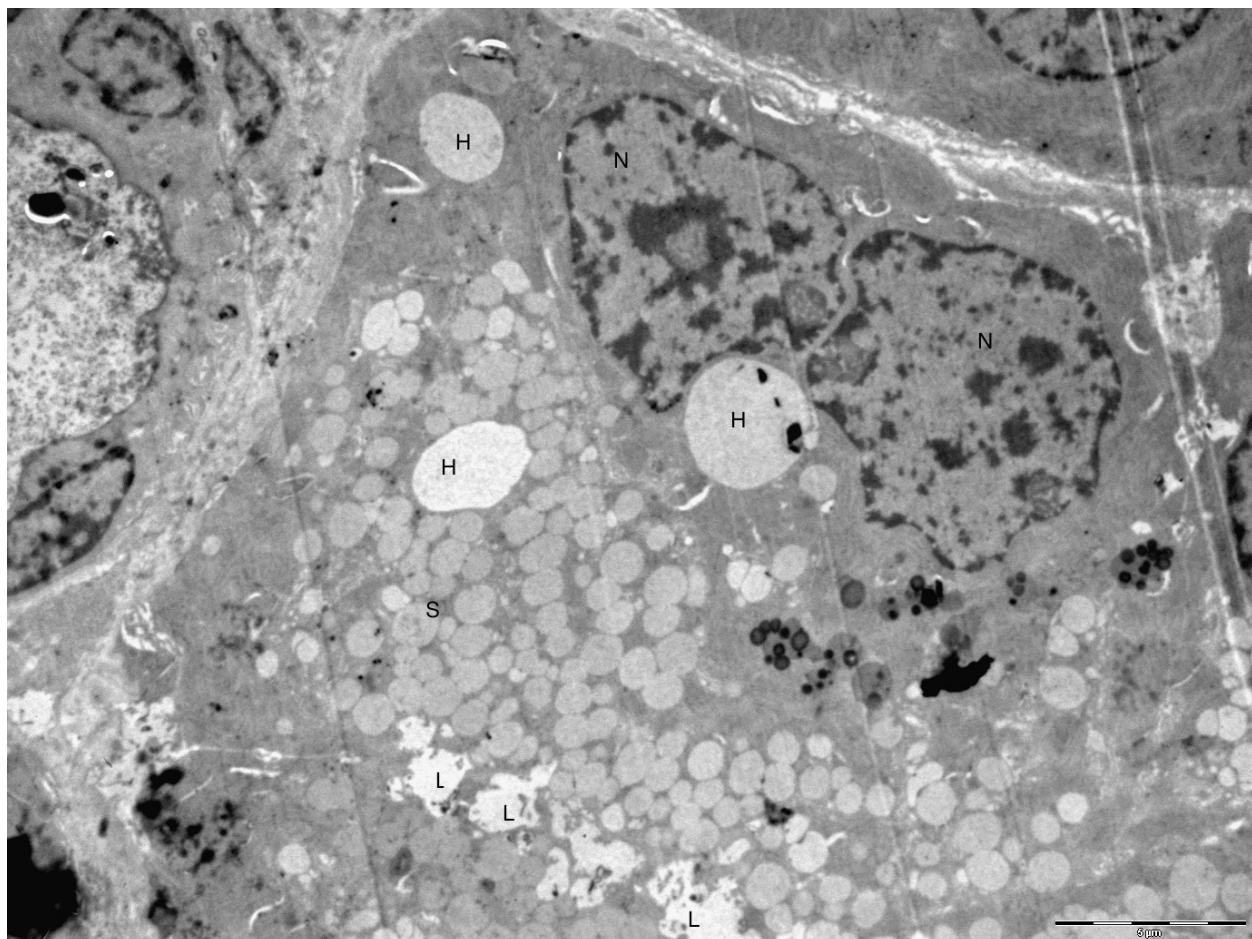
Slika 3. Izvanorbitalna suzna žljezda, intaktna kontrolna životinja (14 dana nakon početka istraživanja). Tkivo promatrano svjetlosnim mikroskopom; žljezdani acinusi (AC) građeni su od svijetlih (S) i tamnih stanica (T). Lumen je vidljiv samo u nekih žljezdanih acinusa (L). Između acinusa nalazi se rahlo vezivno tkivo (v) u kojem su vidljivi fibrocyti (f), mioepitelne stanice (m) i kapilare s eritrocitima (CAP). (1% toluidinsko modrilo, x 600, mjerilo = 5 μ m)



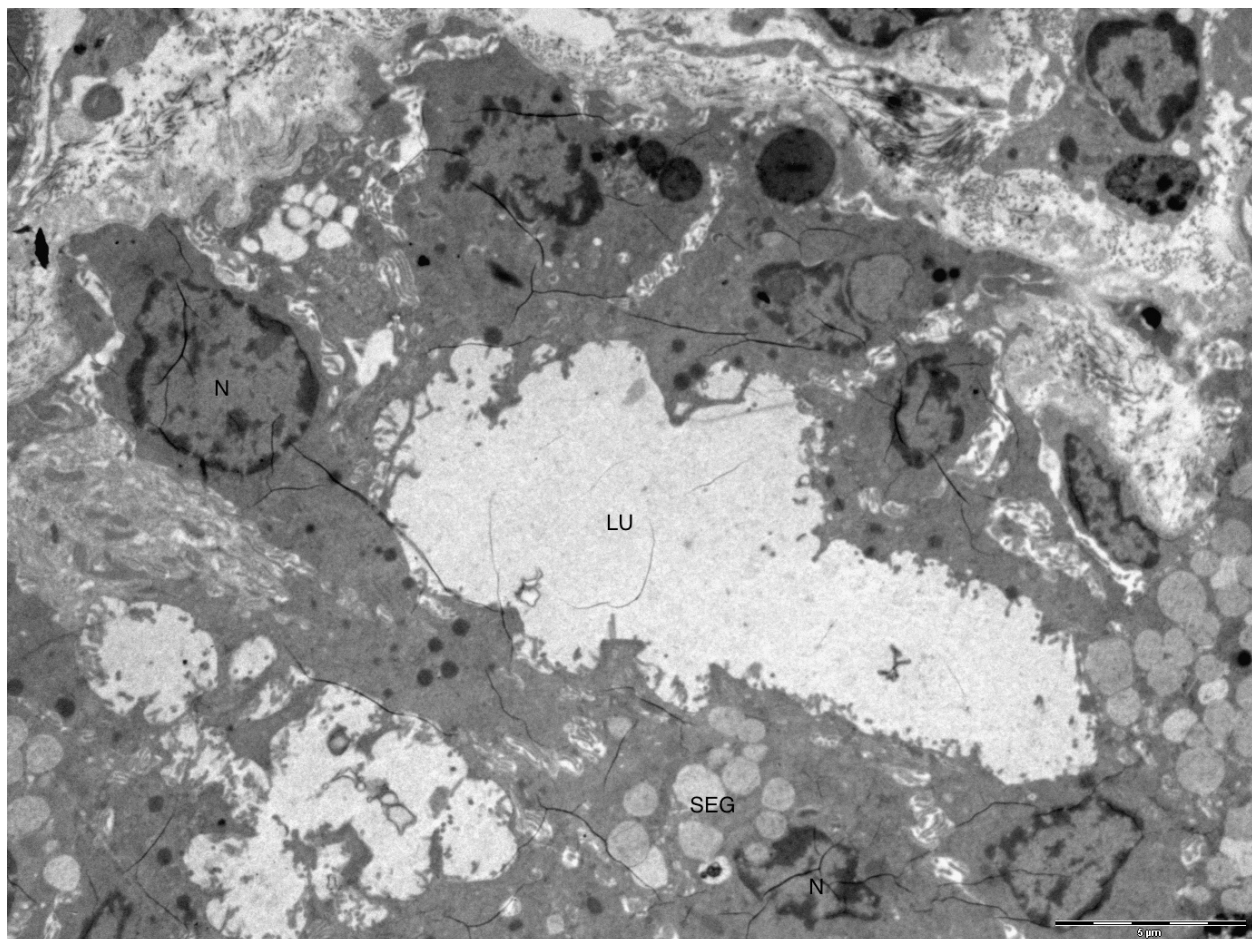
Slika 4. Izvanorbitalna suzna žljezda, intaktna kontrolna životinja (14 dana nakon početka istraživanja). Tkivo promatrano transmisijskim elektronskim mikroskopom; vidljiva je jezgra stranice (N) smještena u bazalnom dijelu s dobro vidljivom jezgricom (j). U citoplazmi nalaze se brojna sekretna zrnca (SEG) i brojne proširene cisterne endoplazmatske mrežice (CIS). U bazalnom dijelu vidljiv je dobro razvijen hrapavi endoplazmatski retikulum (hER). (tkivo je kontrastirano olovnim citratom i uranil acetatom, x 4000, mjerilo = 5 μ m)



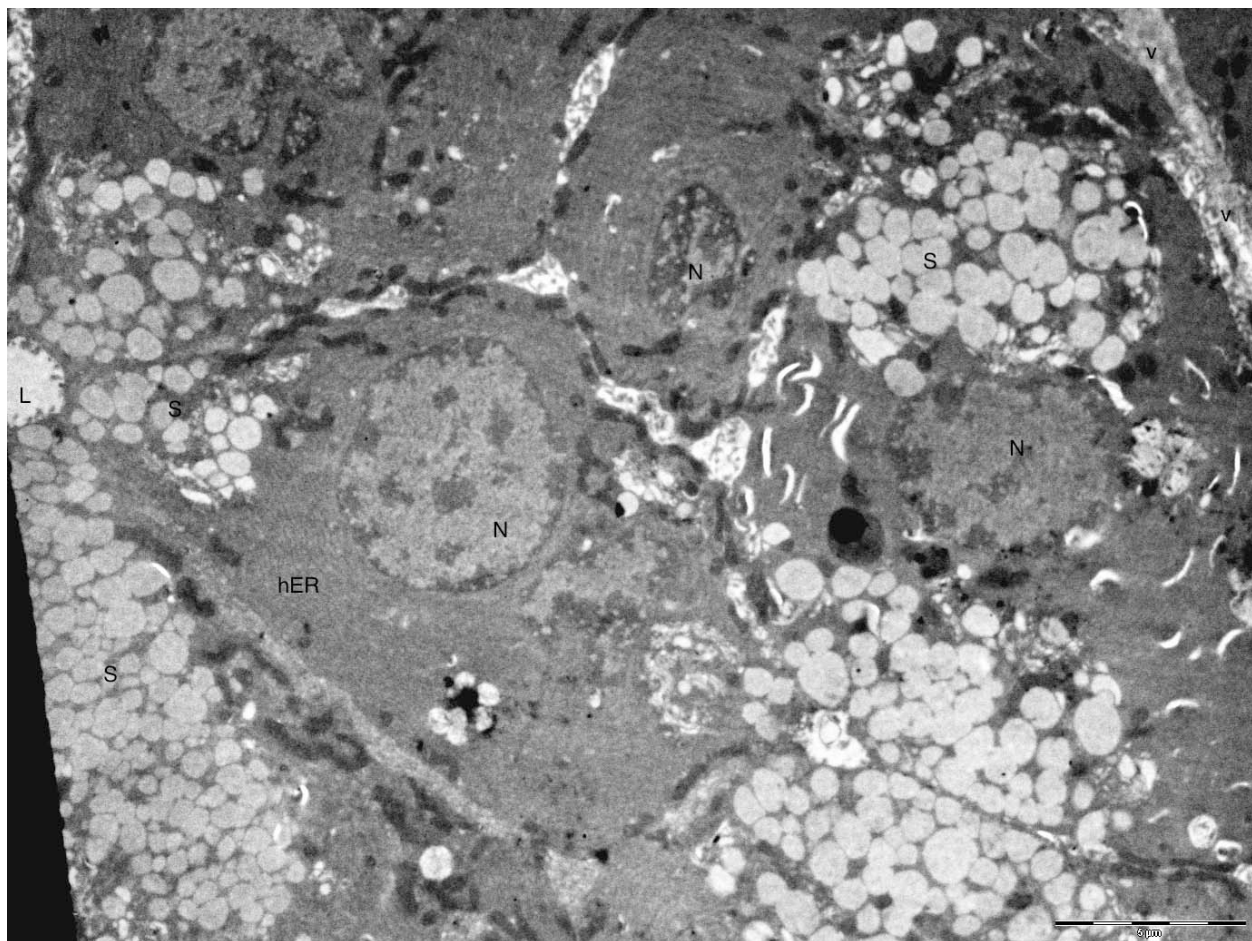
Slika 5. Izvanorbitalna suzna žljezda, intaktna kontrolna životinja (14 dana nakon početka istraživanja). Tkivo promatrano transmisijskim elektronskim mikroskopom; svijetle stanice s citoplazmom ispunjenom brojnim sekretnim zrncima (SEG). Vidljiv je lumen acinusa (lu), a na vršnoj (apikalnoj) strani stanice u lumenu acinusa moguće je vidjeti brojne mikrovile. (tkivo je kontrastirano olovnim citratom i uranil acetatom, x 4000, mjerilo = 5 μ m)



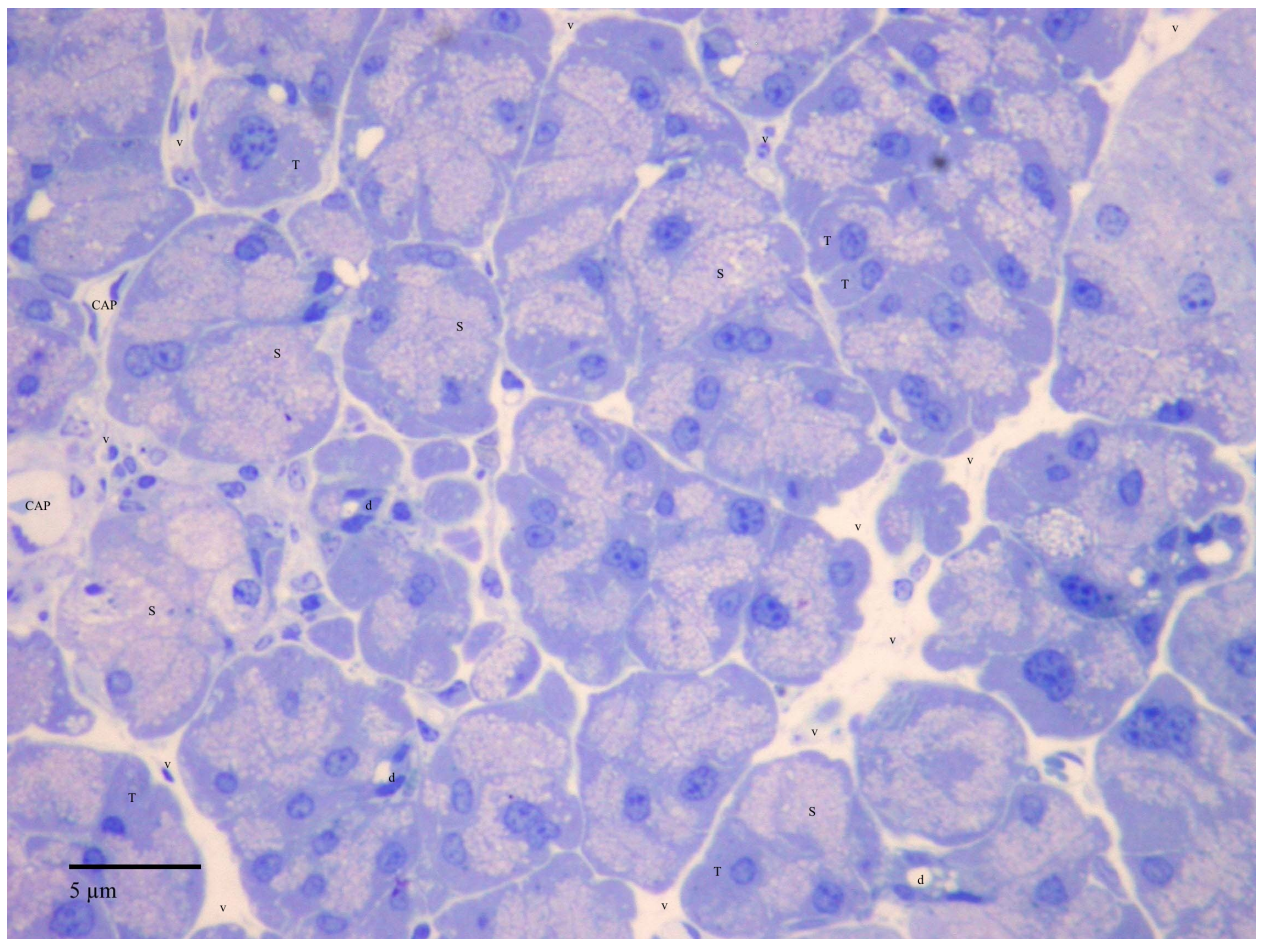
Slika 6. Izvanorbitalna suzna žljezda, intaktna kontrolna životinja (60 dana nakon početka istraživanja). Tkivo promatrano transmisijskim elektronским mikroskopom; svjetla stanica acinusa s dvije jezgre (N), citoplazmom ispunjenom brojnim sekretnim zrncima (S) i harderovim tjelešcima (H). U lumen acinusa (L) strše brojni mikrovili. (tkivo je kontrastirano olovnim citratom i uranil acetatom, x 4000, mjerilo = 5 μ m)



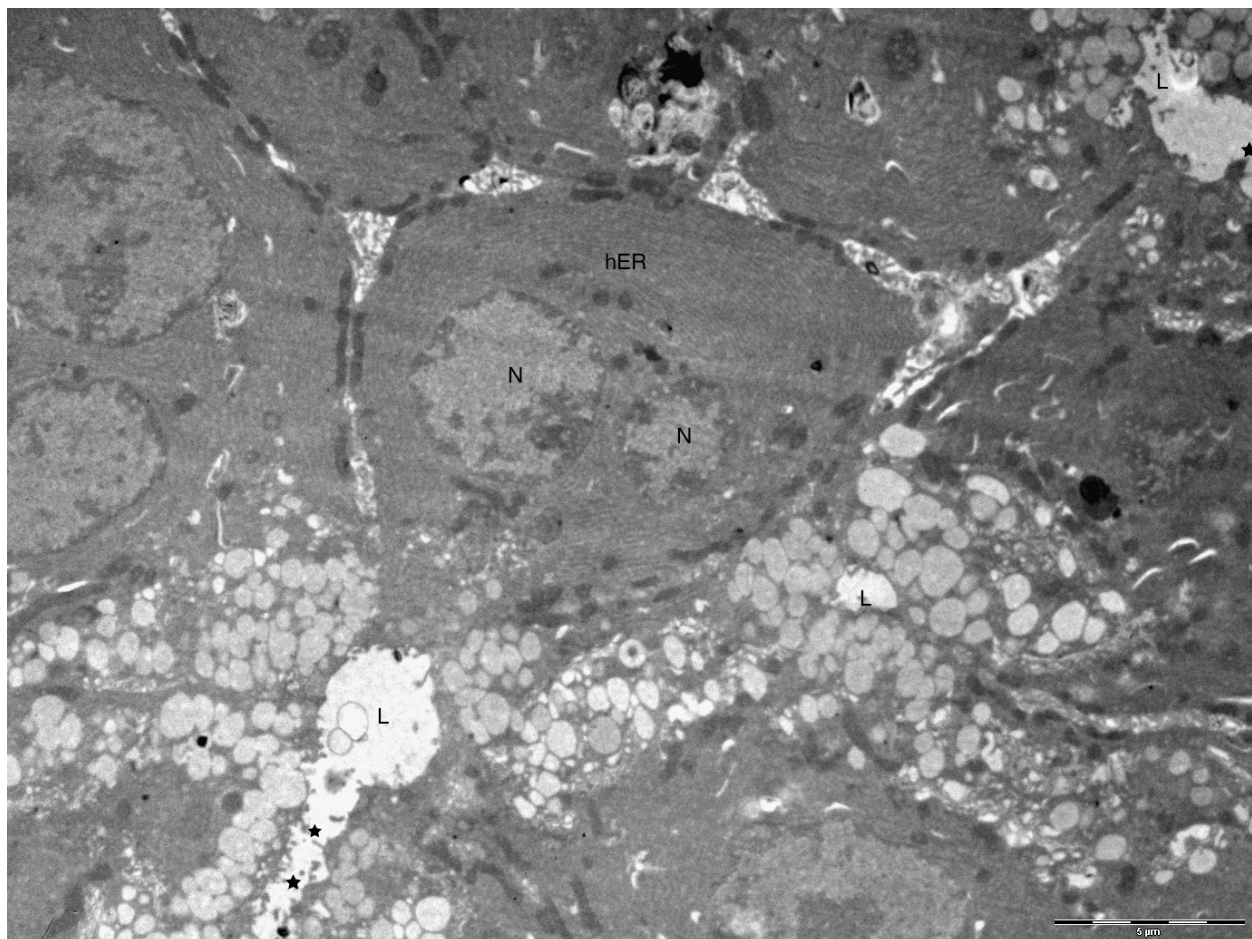
Slika 7. Izvanorbitalna suzna žljezda, intaktna kontrolna životinja (30 dana nakon početka istraživanja). Tkivo promatrano transmisijskim elektronskim mikroskopom; intralobularni sekretni odvodni kanalić žljezde; vidljiv je jednoslojni epitel cilindričnog do kubičnog oblika s jezgrama (N) u bazalnom ili središnjem dijelu citoplazme. U lumen (LU) kanalića strše brojni mikrovili. U citoplazmi nekih stanica odvodnog kanalića vidljiva su sekretna zrnca različite elektronsko mikroskopske gustoće (SEG). Oko kanalića vidljivo je vezivno tkivo sastavljeno od izvanstaničnog matriksa i fibročita. (tkivo je kontrastirano olovnim citratom i uranil acetatom, x 4000, mjerilo = 5 μ m)



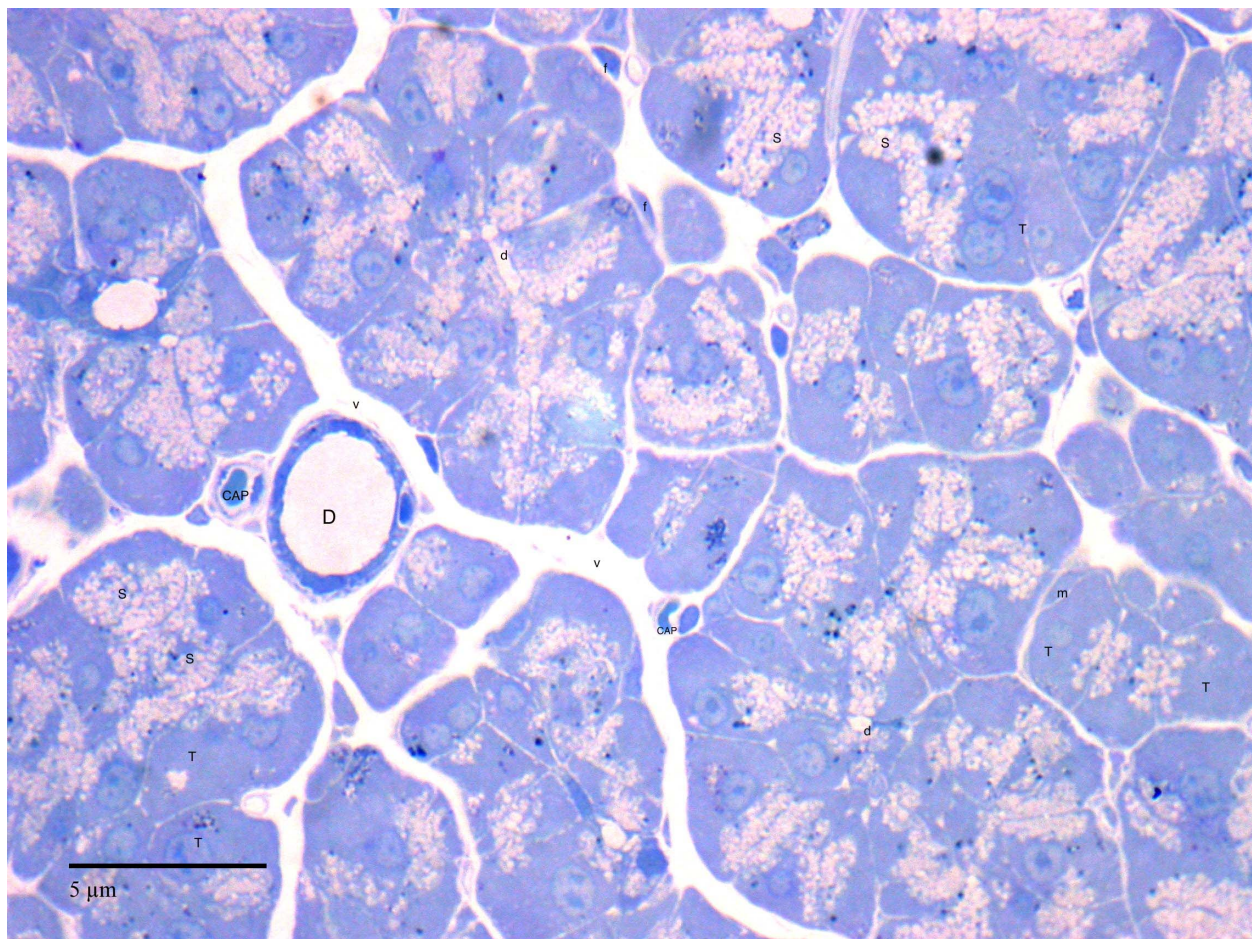
Slika 8. Izvanorbitalna suzna žljezda, intaktna kontrolna životinja (90 dana nakon početka istraživanja). Tkivo promatrano transmisijskim elektronским mikroskopom; vidljive su dvije vrste stanica, svijetle i tamne. U tamnim stanicama izražena je gusta hrapava endoplazmatska mrežica (hER) s manje brojnim sekretnim zrncima (S) koja su smještena u apikalnom dijelu citoplazme okrenutom prema lumenu acinusa (L). Svijetle stanice, za razliku od tamnih, imaju citoplazmu ispunjenu pretežno sekretnim zrncima (S) različitih elektronsko mikroskopskih gustoća. (tkivo je kontrastirano olovnim citratom i uranil acetatom, x 4000, mjerilo = 5 μ m)



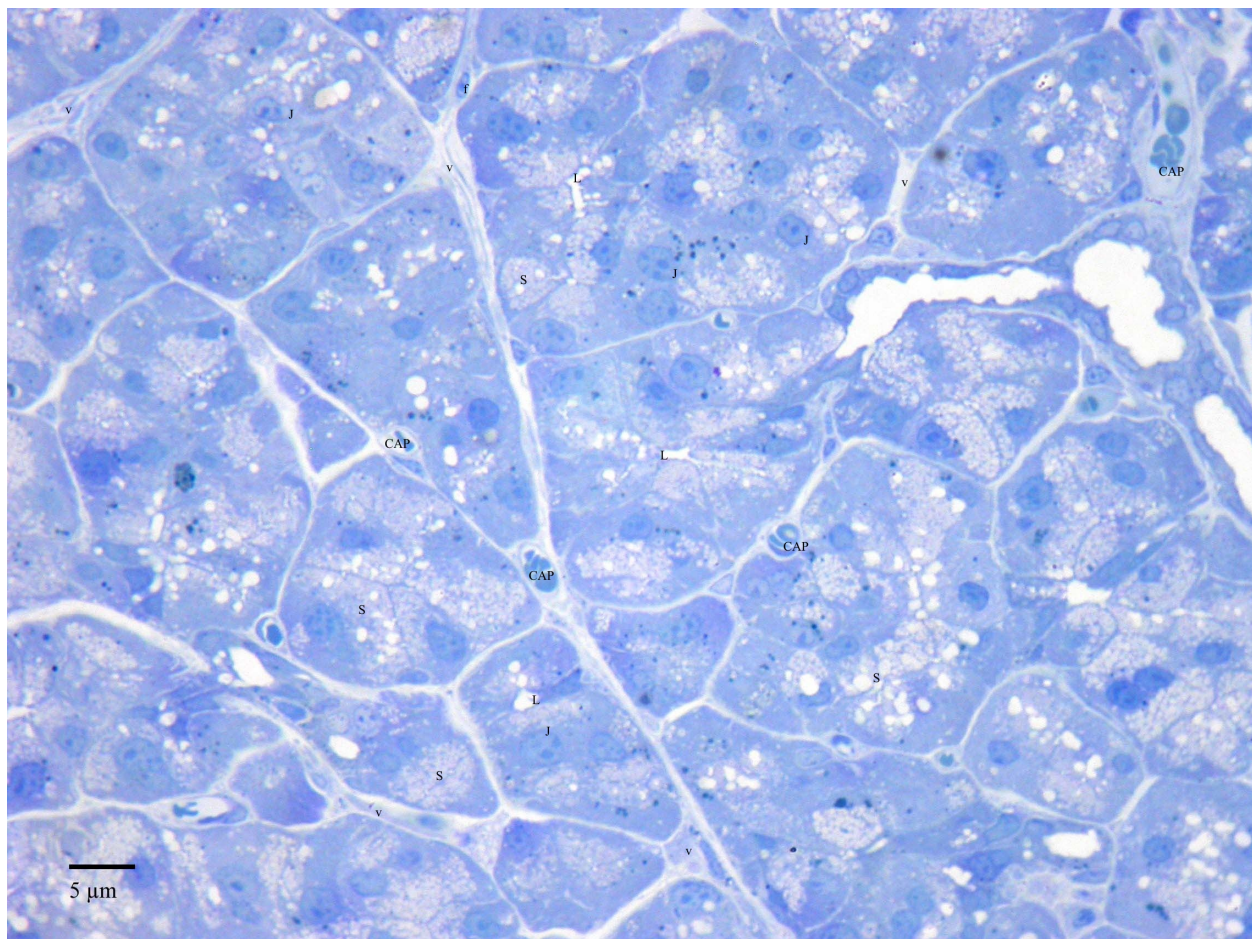
Slika 9. Izvanorbitalna suzna žlijezda, lažno operirana životinja (60 dana nakon početka istraživanja). Tkivo promatrano svjetlosnim mikroskopom; acinusi su građeni od svijetlih (S) i tamnih stanica (T). Lumen acinusa i prijelaznih cijevi (d) vidljiv je u dva acinusa. Između acinusa nalazi se rahlo vezivno tkivo (v) s ponekom kapilarom (CAP) i vezivnom stanicom. (1% toluidinsko modrilo, x 400, mjerilo = 5 μ m)



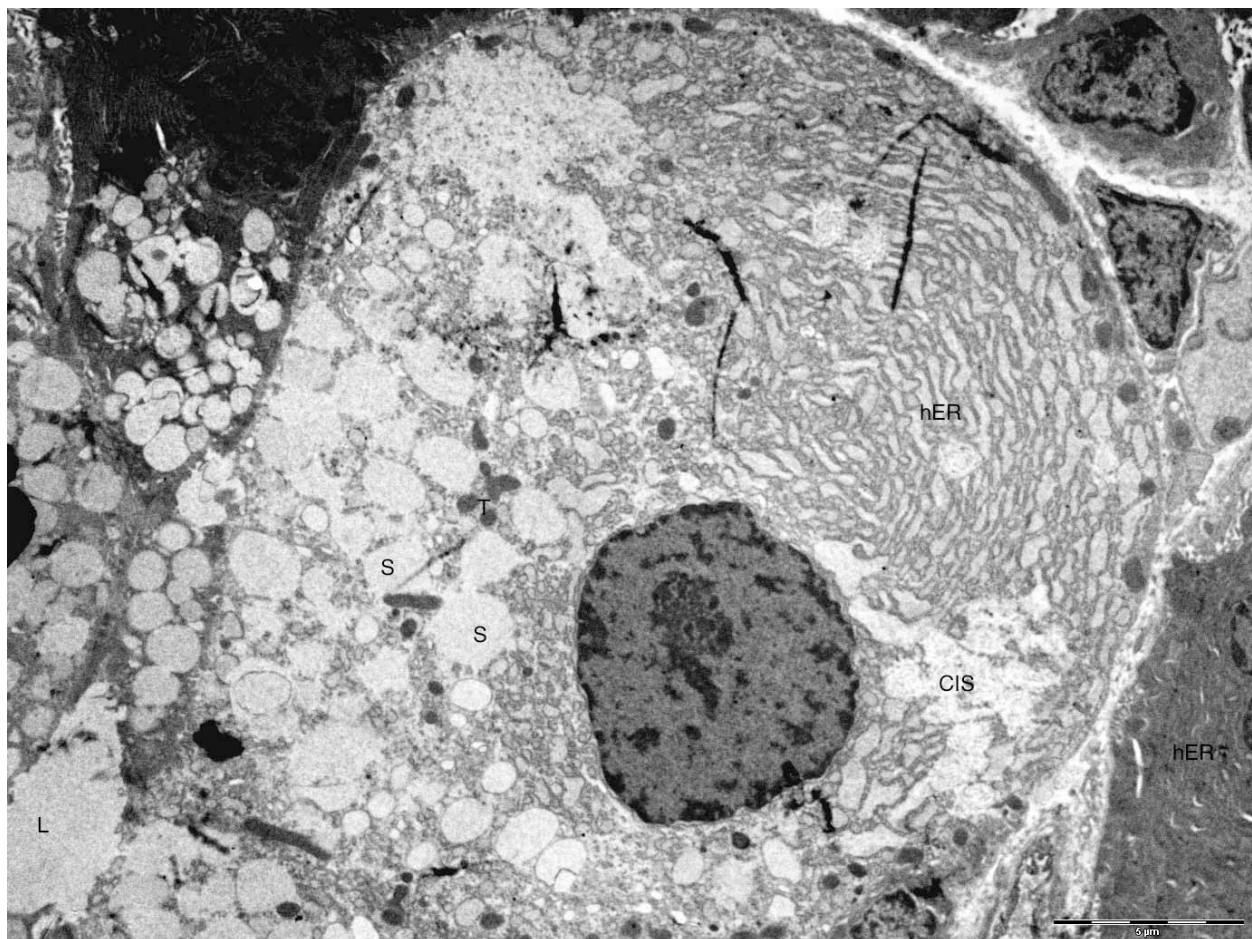
Slika 10. Izvanorbitalna suzna žljezda, lažno operirana životinja (90 dana nakon početka istraživanja). Tkivo promatrano transmisijanskim elektronskim mikroskopom; acinusi su građeni pretežito od tamnih stanica. Vidljive su višestruke jezgre (N) u dvije stanice, s dobro razvijenom gustom hrapavom endoplazmatskom mrežicom (hER). U apikalnom dijelu smještena su brojna sekretna zrnca različite elektronske gustoće. Vidljiva su dva lumena unutar acinusa (L) i jednom prijelaznom cijevi (crne zvijezdice). (tkivo je kontrastirano olovnim citratom i uranil acetatom, x 4000, mjerilo = 5 μ m)



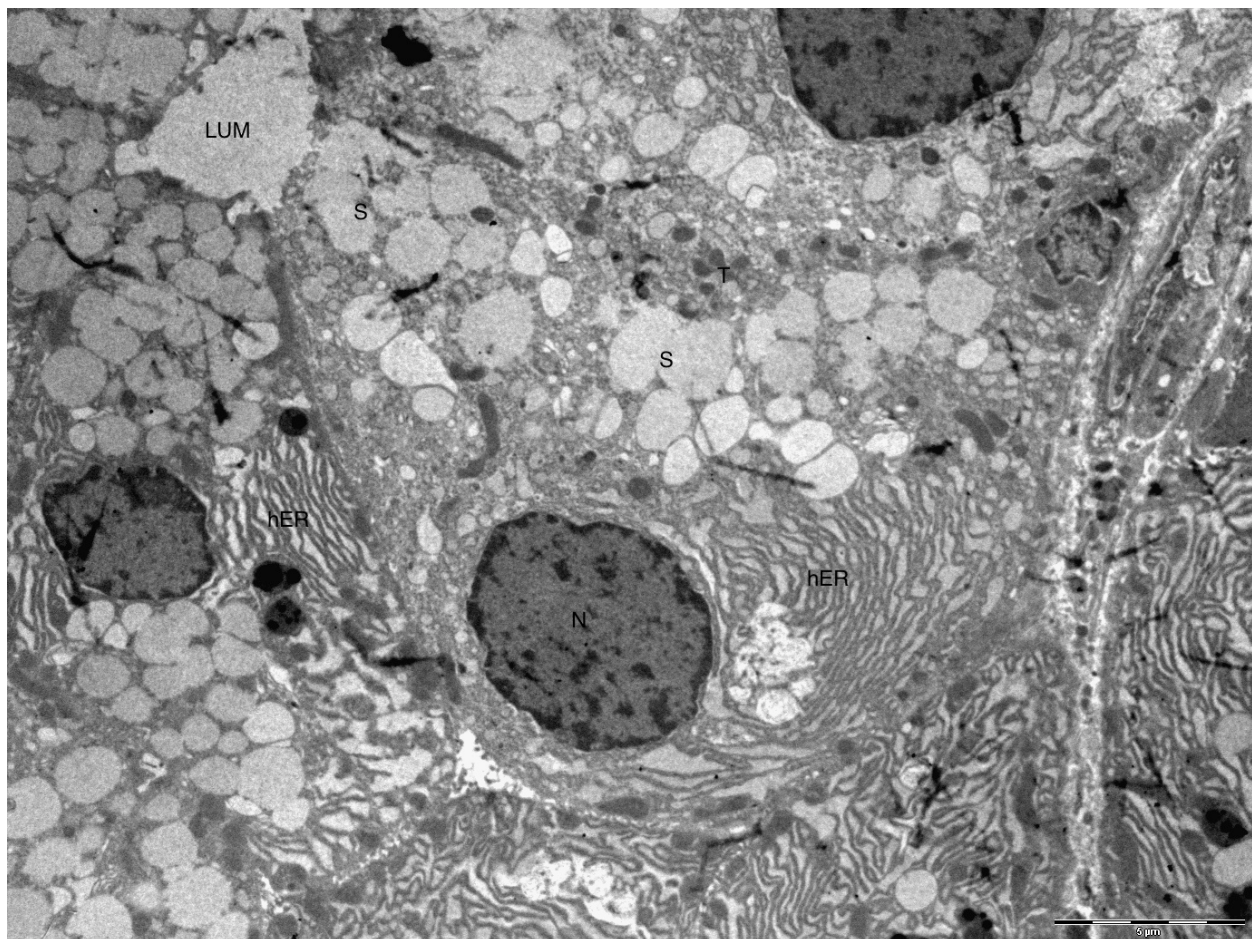
Slika 11. Izvanorbitalna suzna žlijezda, orhidektomirana životinja (60. dana nakon početka istraživanja). Tkivo promatrano svjetlosnim mikroskopom; acinusi su građeni od svijetlih (S) i tamnih stanica (T). Vidljivo je rahlo vezivno tkivo između acinusa (v) u kojem se nalaze odvodne intalobularne cijevi (D) i kapilare (CAP). Vidljive su i mioepitelne stanice (m) uz bazalni dio acinusa (1% toluidinsko modrilo, x 600, mjerilo = 5 μm)



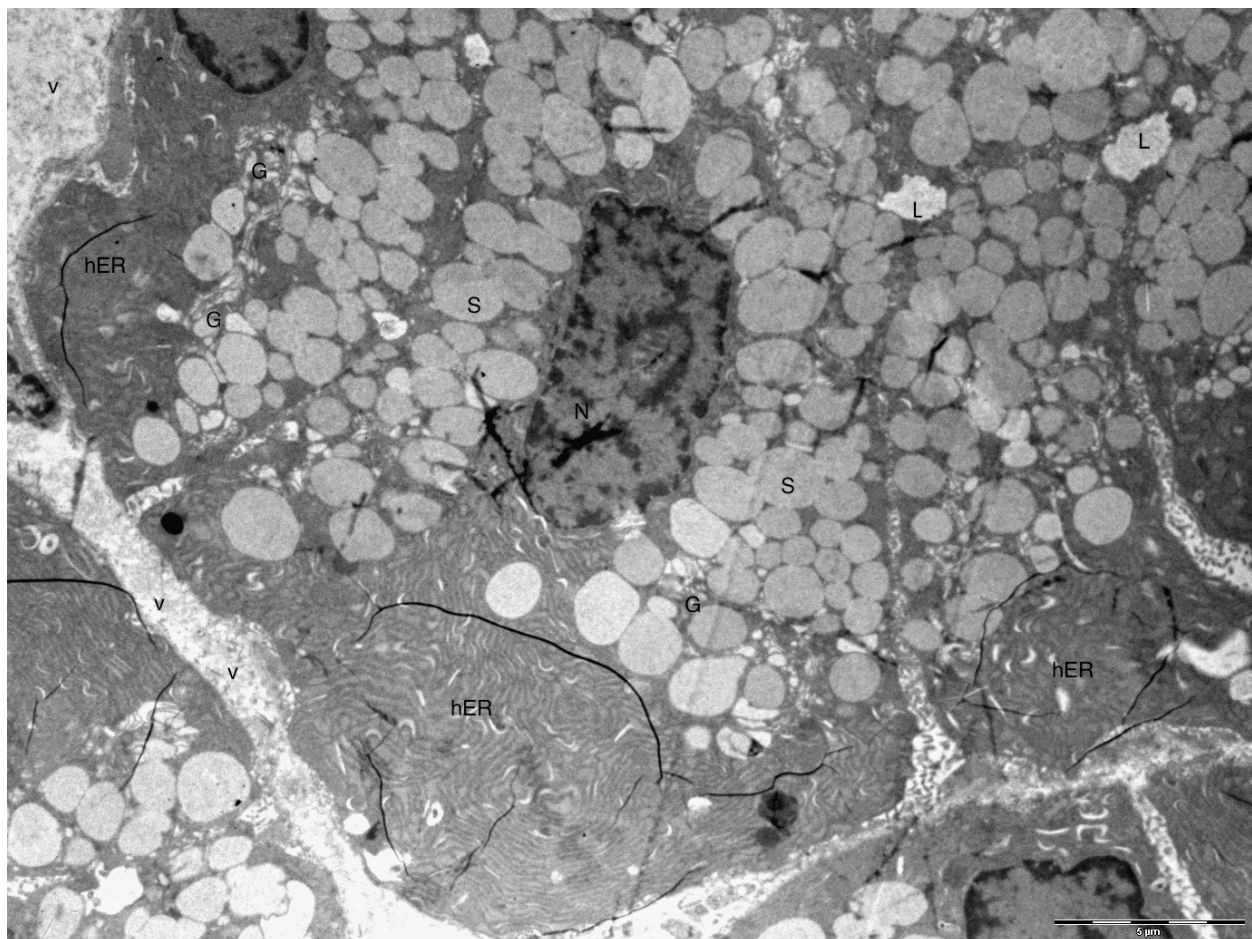
Slika 12. Izvanorbitalna suzna žljezda, orhidektomirana životinja (90 dana nakon početka istraživanja). Tkivo promatrano svjetlosnim mikroskopom; rahlo vezivno tkivo (v) sa kapilarama (CAP) i ponekim fibroцитом (f) između pojedinih acinusa. Acinusi su građeni većinom od svijetlih stanica (S) u čijim se jezgrama (J) mogu ponekad naći i po dvije jezgrice. Lumen acinusa (L) vidljiv samo u nekih acinusa. (1% toluidinsko modrilo, x 200, mjerilo = 5 μ m)



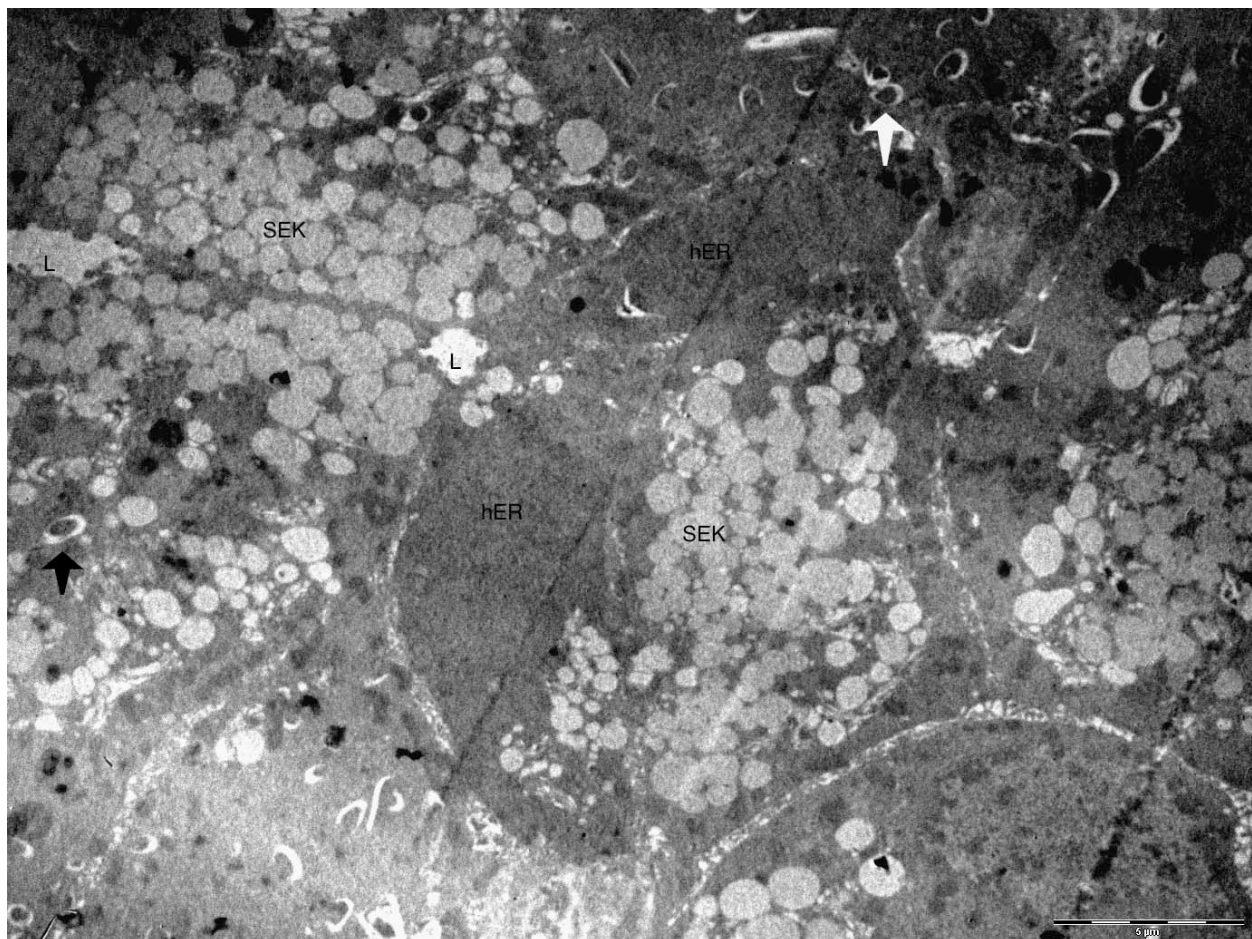
Slika 13. Izvanorbitalna suzna žlijezda, orhidektomirana životinja (14 dana nakon početka istraživanja). Tkivo promatrano transmisijskim elektronским mikroskopom; svijetla stanica sa proširenim cisternama hraptave endoplazmatske mrežice (hER, CIS) i brojnim sekretnim zrncima niske elektronsko mikroskopske gustoće (S). U susjednoj stanici acinusa vidljiva gusta hraptava endoplazmatska mrežica s gusto raspoređenim cisternama (hER). Vidljiv je i lumen aciusa (L) s pojedinim mikrovilima koji strše u lumen. (tkivo je kontrastirano olovnim citratom i uranil acetatom, x 4000, mjerilo = 5 μ m)



Slika 14. Izvanorbitalna suzna žlijezda, orhidektomirana životinja (14 dana nakon početka istraživanja). Tkivo promatrano transmisijским elektronskim mikroskopom; acinus je građen od svjetlih stanica koje posjeduju brojna sekretna zrnca (S). Njihova citoplazma također je bogata hrapavom endoplazmatskom mrežicom (hER) čije su mnogobrojne cisterne proširene. U lumen acinusa (LUM) strše brojni mikrovili. (tkivo je kontrastirano olovnim citratom i uranil acetatom, x 4000, mjerilo = 5 μ m)



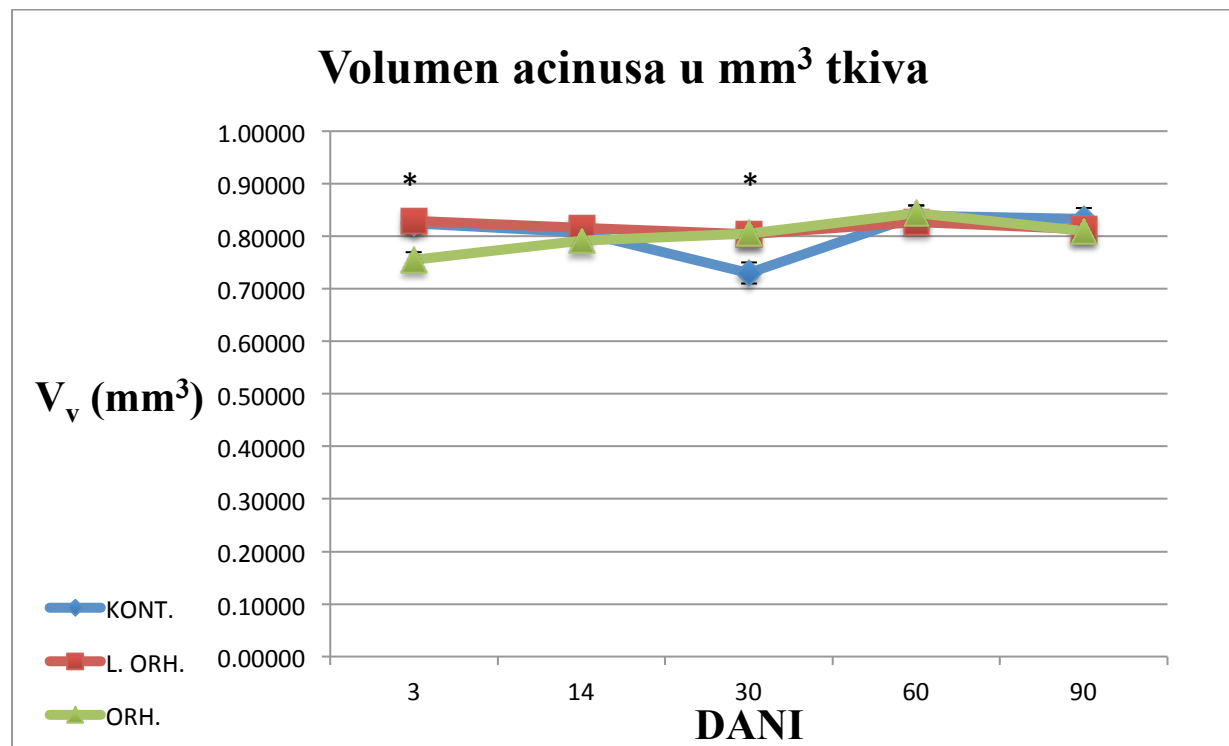
Slika 15. Izvanorbitalna suzna žlijezda, orhidektomirana životinja (14 dana nakon početka istraživanja). Tkivo promatrano transmisijskim elektronским mikroskopom; tamna stanica acinusa s brojnim sekretnim zrcnima (S) različite elektronsko mikroskopske gustoće, atipično položenom jezgrom (N) i gustim hraptavim endoplazmatskim retikulumom (hER). Vidljiv je dobro razvijen Golgijev aparat (G). Između stanica acinusa rahlo vezivno tkivo (v) je sačinjeno od fibrocita i izvanstaničnog matriksa. (tkivo je kontrastirano olovnim citratom i uranil acetatom, x 4000, mjerilo = 5 μ m)



Slika 16. Izvanorbitalna suzna žlijezda, orhidektomirana životinja (90 dana nakon početka istraživanja). Tkivo promatrano transmisijskim elektronским mikroskopom; vide se tamne i svijetle stanice acinusa, s brojnim sekretnim zrncima (SEK) u vršnom dijelu citoplazme okrenutom prema lumenu acinusa (L). Stanice imaju dobro razvijenu hrapavu endoplazmatsku mrežicu (hER). Vidljiva su brojna degenerativna tjelešca u hrapavom endoplazmatskom retikulumu (bijela strelica) i citoplazmi u području sekretnih zrnaca (tamna strelica). (tkivo je kontrastirano olovnim citratom i uranil acetatom, x 4000, mjerilo = 5 μ m)

19. Prilozi kvantitativne histološke analize

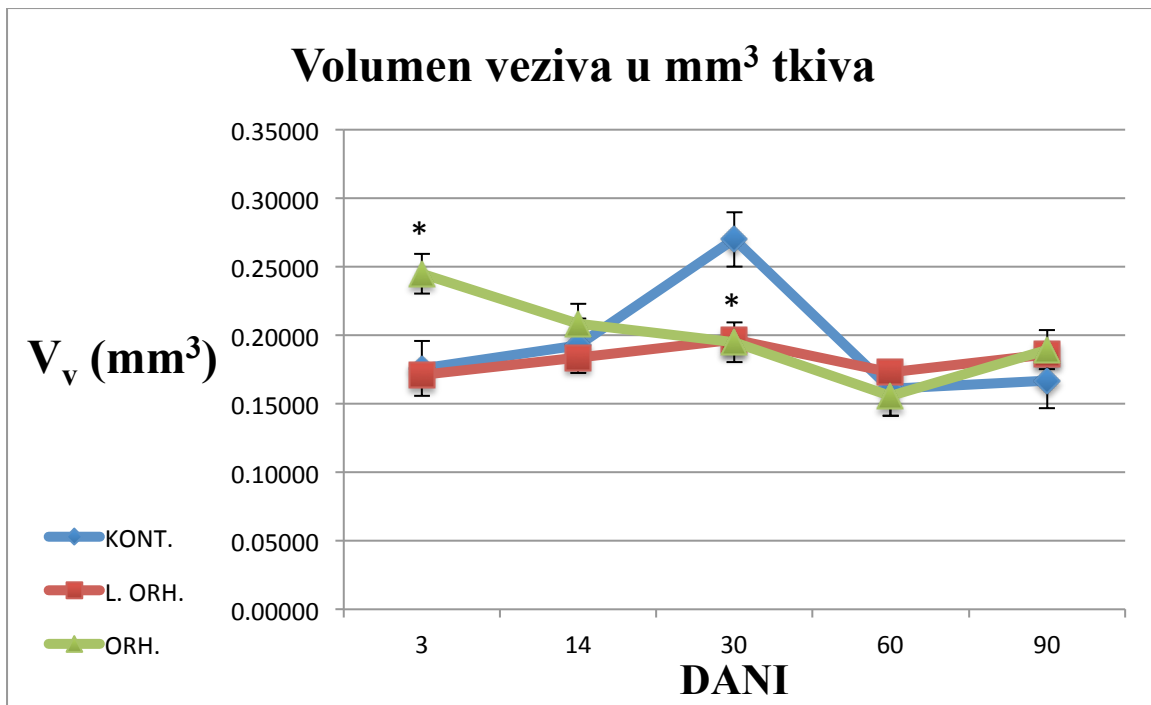
19.1 Grafikoni



Grafikon 1. Volumen acinusa izvanorbitalne žlijezde u mm^3 tkiva

L. ORH. – Lažno orhidektomirane životinje; ORH. – Orhidektomirane životinje; KONT. – Kontrolna (intaktna) skupina

* - $p < 0.05$ (u odnosu na kontrolne skupine)

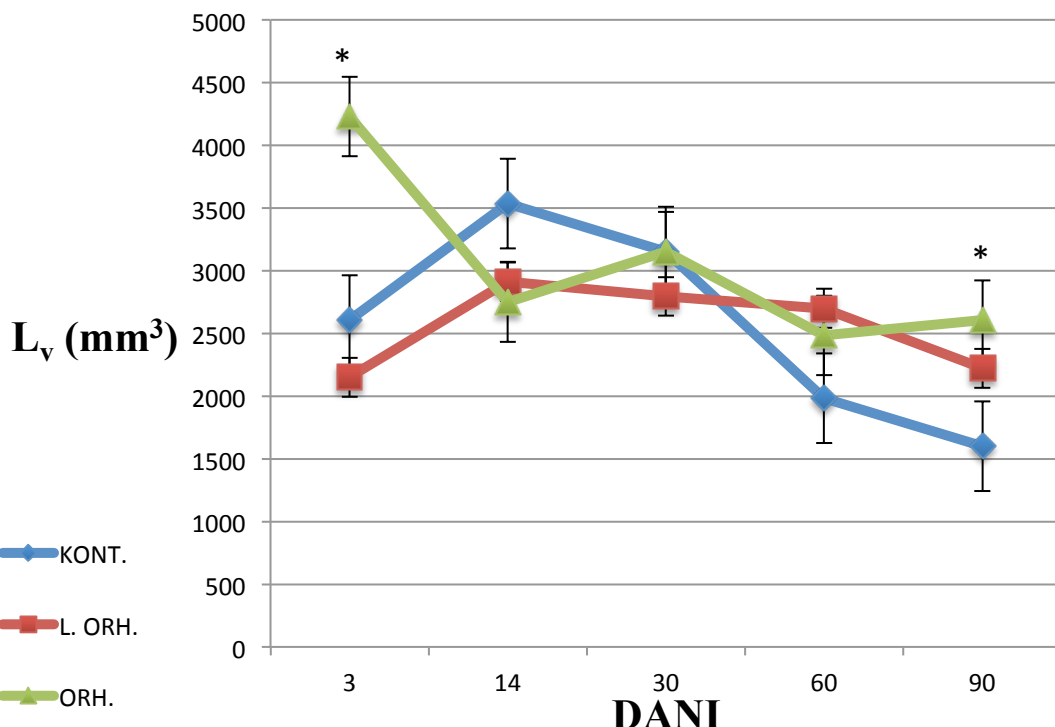


Grafikon 2. Volumen vezivnog tkiva izvanorbitalne žlijezde u mm³ tkiva

L. ORH. – Lažno orhidektomirane životinje; ORH. – Orhidektomirane životinje; KONT. – Kontrolna (intaktna) skupina

* - p<0.05 (u odnosu na kontrolne skupine)

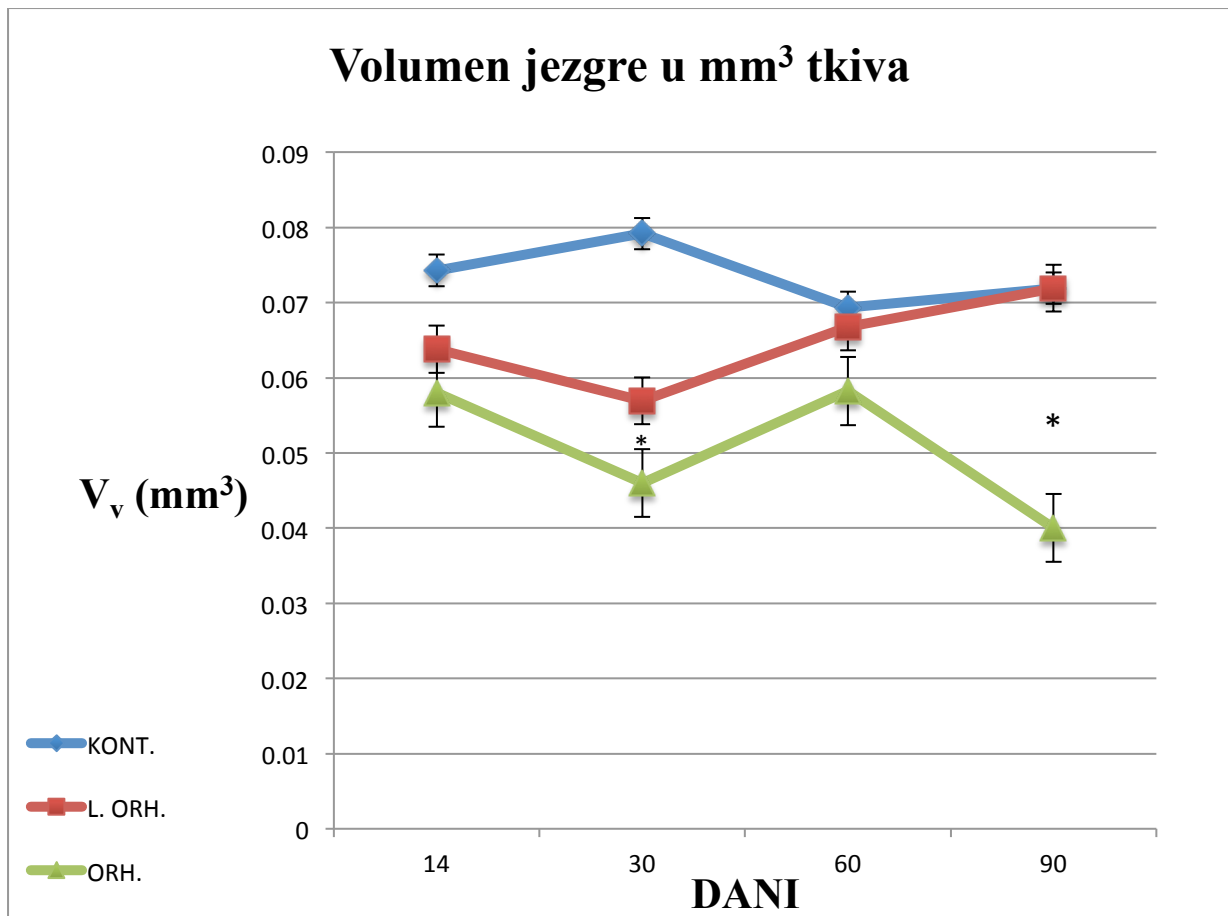
Dužina intralobularnih odvodnih kanala u mm^3 tkiva



Grafikon 3. Dužina intralobularnih kanala izvanorbitalne žljezde u mm^3 tkiva

L. ORH. – Lažno orhidektomirane životinje; ORH. – Orhidektomirane životinje; KONT. – Kontrolna (intaktna) skupina

* - $p < 0.05$ (u odnosu na kontrolne skupine)

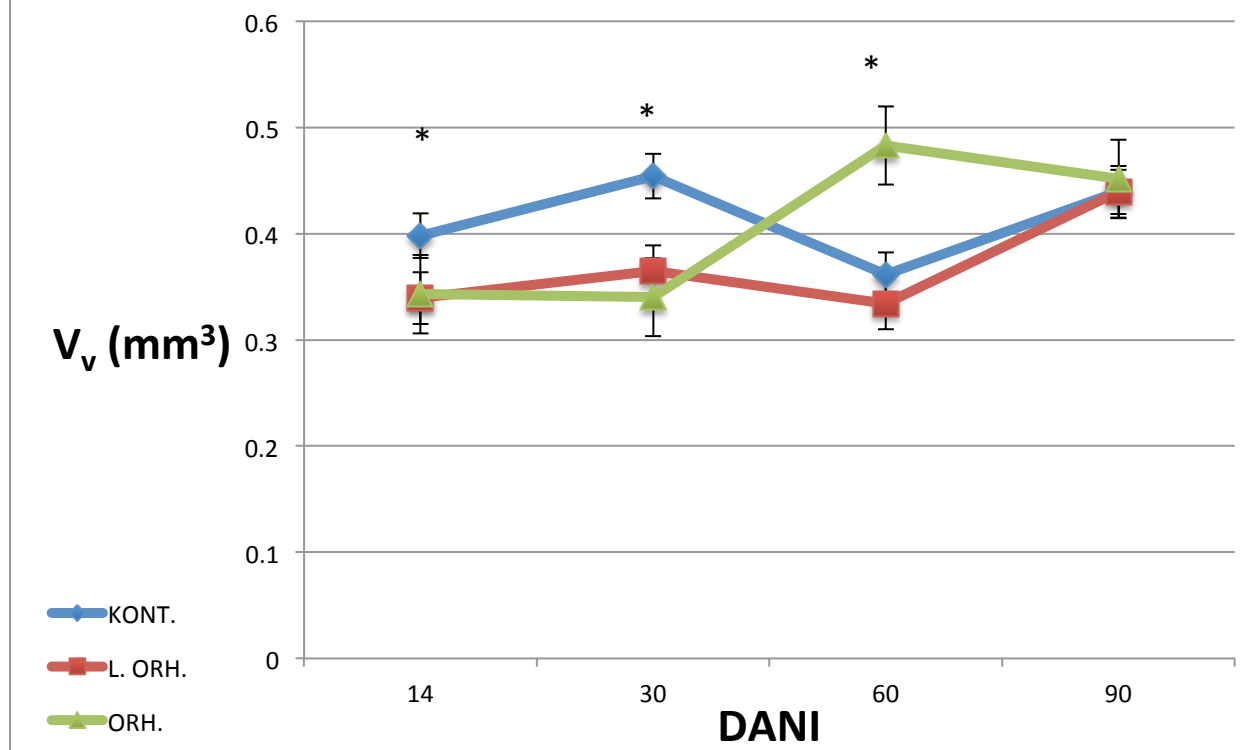


Grafikon 4. Volumen jezgre stanica acinusa izvanorbitalne žlijezde u mm³ tkiva

L. ORH – Lažno orhidektomirane životinje; ORH. – Orhidektomirane životinje; KONT. – Kontrolna (intaktna) skupina

* - p<0.05 (u odnosu na kontrolne skupine)

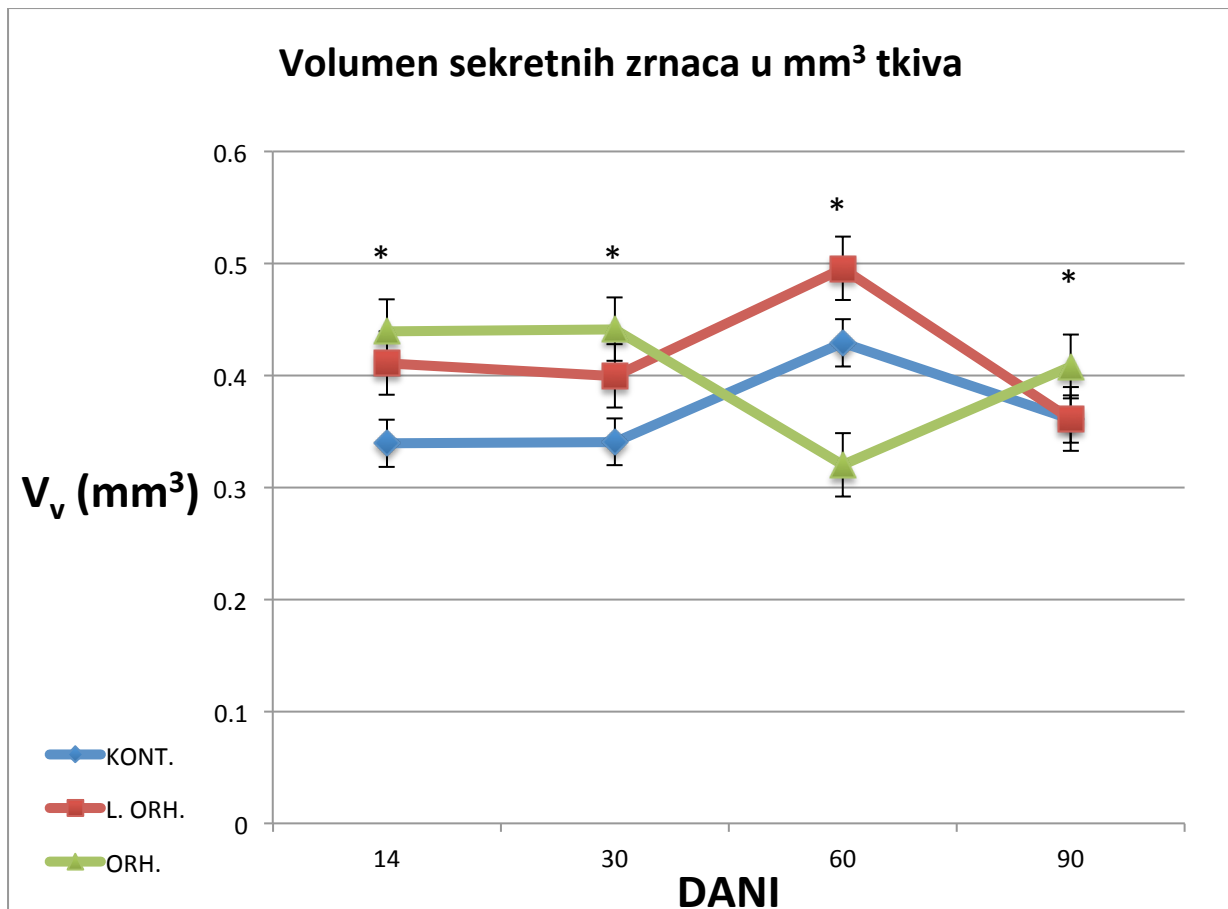
Volumen hrapavog endoplazmatskog retikuluma u mm³ tkiva



Grafikon 5. Volumen hrapavog endoplazmatskog retikuluma acinusnih stanica izvanorbitalne žljezde u mm^3 tkiva

L. ORH. – Lažno orhidektomirane životinje; ORH. – Orhidektomirane životinje; KONT. – Kontrolna (intaktna) skupina

* - $p < 0.05$ (u odnosu na kontrolne skupine)

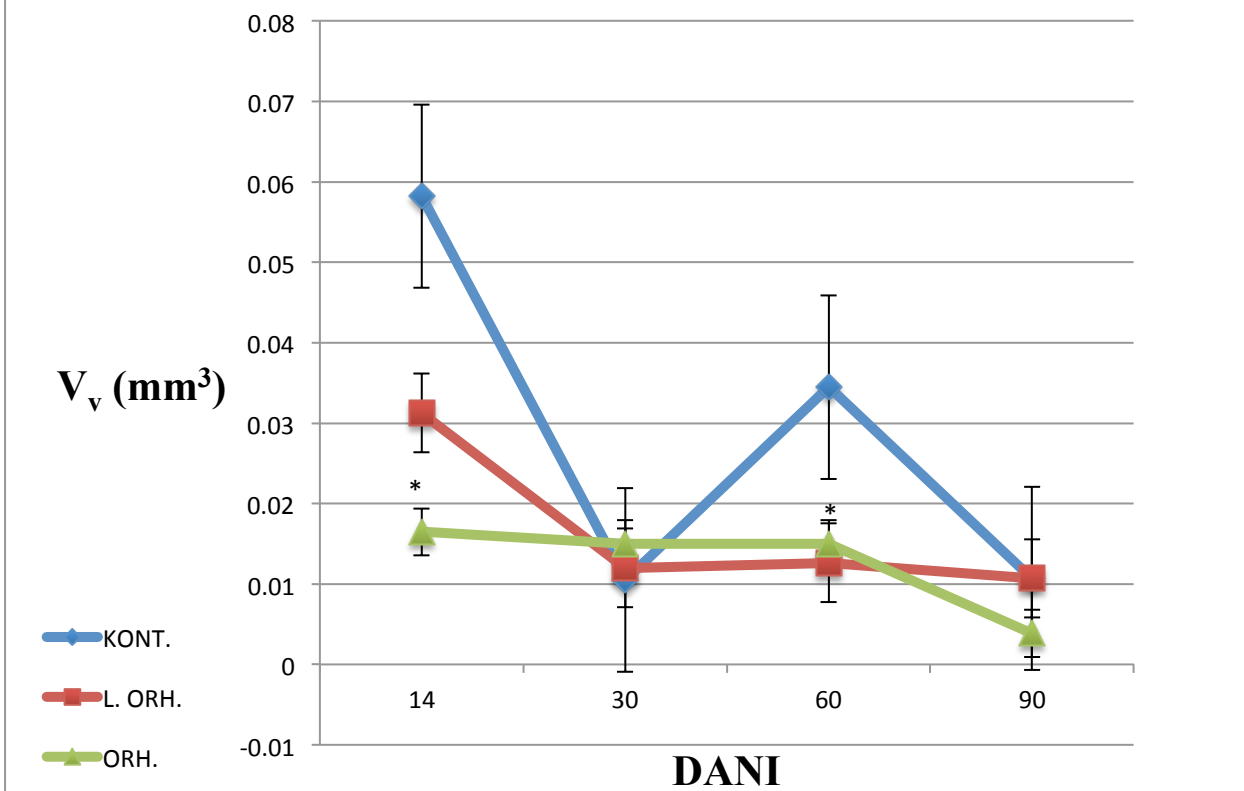


Grafikon 6. Volumen sekretnih zrnaca acinusnih stanic izvanorbitalne žlijezde u mm^3 tkiva

L. ORH. – Lažno orhidektomirane životinje; ORH. – Orhidektomirane životinje; KONT. – Kontrolna (intaktna) skupina

* - $p < 0.05$ (u odnosu na kontrolne skupine)

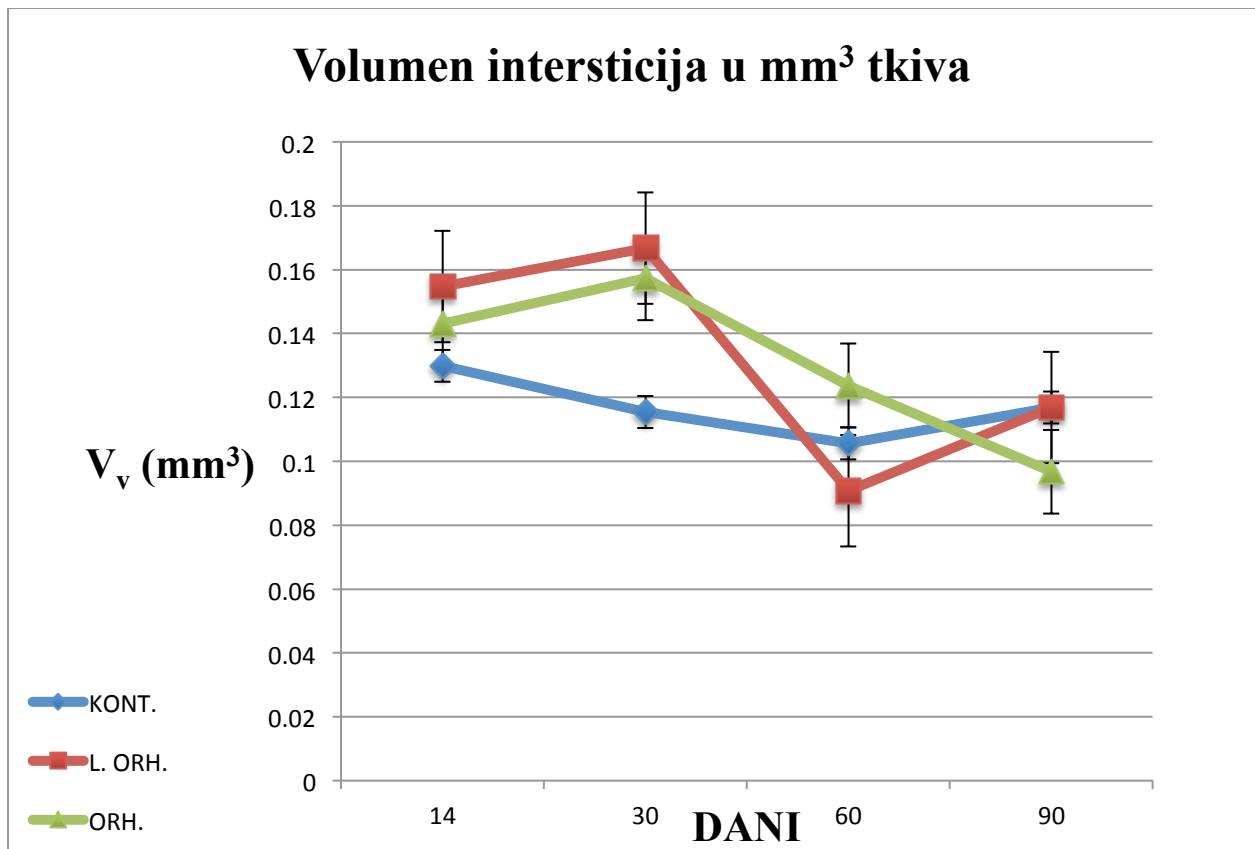
Volumen lumena acinusa u mm^3 tkiva



Grafikon 7. Volumen lumena acinusa izvanorbitalne žljezde u mm^3 tkiva

L. ORH. – Lažno orhidektomirane životinje; ORH. – Orhidektomirane životinje; KONT. – Kontrolna (intaktna) skupina

* - $p < 0.05$ (u odnosu na kontrolne skupine)



Grafikon 8. Volumen intersticija acinus-a izvanorbitalne žlijezde u mm³ tkiva

L. ORH. – Lažno orhidektomirane životinje; ORH. – Orhidektomirane životinje; KONT. – Kontrolna (intaktna) skupina

* - p<0.05 (u odnosu na kontrolne skupine)

19.2 Tablice

Skupina i broj životinja/razdoblje	Intaktna	Lažno operirana	Orhidektomirana
3 dana	3	3	6
15 dana	3	3	6
30 dana	3	3	6
60 dana	3	3	6
90 dana	3	3	6
UKUPNO:	15	15	30

Tablica 1. Prikaz pojedinih skupina životinja i razdoblja nakon kojih su životinje žrtvovane.

Deskriptivna analiza

1 = KONT. 2 = L. ORH. 3 = ORH.	N	Mean	Standardna devijacija	Standardna greška	95% Confidence Interval za srednju vrijednost		Mini-mum	Maksi-mum	
					Donja granica	Gornja granica			
3 D acinus	1	50	34.62	2.258	.319	33.98	35.26	30	38
	2	50	34.82	2.593	.367	34.08	35.56	28	40
	3	50	31.72	3.031	.429	30.86	32.58	26	38
	Ukupno	150	33.72	2.988	.244	33.24	34.20	26	40
3 D vezivo	1	50	7.38	2.258	.319	6.74	8.02	4	12
	2	50	7.18	2.593	.367	6.44	7.92	2	14
	3	50	10.28	3.031	.429	9.42	11.14	4	16
	Ukupno	150	8.28	2.988	.244	7.80	8.76	2	16
14 D acinus	1	50	33.92	2.762	.391	33.14	34.70	27	40
	2	50	34.28	3.289	.465	33.35	35.21	26	41
	3	50	33.24	2.854	.404	32.43	34.05	26	39
	Ukupno	150	33.81	2.989	.244	33.33	34.30	26	41
14 D vezivo	1	50	8.08	2.762	.391	7.30	8.86	2	15
	2	50	7.72	3.289	.465	6.79	8.65	1	16
	3	50	8.76	2.854	.404	7.95	9.57	3	16
	Ukupno	150	8.19	2.989	.244	7.70	8.67	1	16

30 D	1	50	30.66	3.001	.424	29.81	31.51	21	37
acinus	2	50	33.74	2.465	.349	33.04	34.44	27	38
	3	50	33.82	3.367	.476	32.86	34.78	25	39
	Ukupno	150	32.74	3.296	.269	32.21	33.27	21	39
30 D	1	50	11.34	3.001	.424	10.49	12.19	5	21
vezivo	2	50	8.26	2.465	.349	7.56	8.96	4	15
	3	50	8.18	3.367	.476	7.22	9.14	3	17
	Ukupno	150	9.26	3.296	.269	8.73	9.79	3	21
60 D	1	50	35.24	2.890	.409	34.42	36.06	28	40
acinus	2	50	34.74	2.609	.369	34.00	35.48	30	40
	3	50	35.46	2.509	.355	34.75	36.17	29	40
	Ukupno	150	35.15	2.673	.218	34.72	35.58	28	40
60	1	50	6.76	2.890	.409	5.94	7.58	2	14
vezivo	2	50	7.26	2.609	.369	6.52	8.00	2	12
	3	50	6.54	2.509	.355	5.83	7.25	2	13
	Ukupno	150	6.85	2.673	.218	6.42	7.28	2	14
90 D	1	50	35.00	2.466	.349	34.30	35.70	27	39
acinus	2	50	34.18	2.488	.352	33.47	34.89	26	39
	3	50	34.04	3.117	.441	33.15	34.93	25	40
	Ukupno	150	34.41	2.722	.222	33.97	34.85	25	40

90 D	1	50	7.00	2.466	.349	6.30	7.70	3	15
vezivo	2	50	7.82	2.488	.352	7.11	8.53	3	16
	3	50	7.96	3.117	.441	7.07	8.85	2	17
	Ukupno	150	7.59	2.722	.222	7.15	8.03	2	17

Tablica 2. Rezultati deskriptivne analize za acinus i vezivo tkivo izvanorbitalne suzne žljezde

L. ORH. – Lažno orhidektomirane životinje; ORH. – Orhidektomirane životinje; KONT. – Kontrolna (intaktna) skupina; D - dani

ANOVA

		Zbroj kvadrata	df	Srednja vrijednost kvadrata	F	Značajno	Post Hoc (Tuckey)
3 D acinus	Između grupa	301.000	2	150.500	21.495	.000	1 = KONT. 2 = L. ORH. 3 = ORH.
	Unutar grupa	1029.24	147	7.002			
	Ukupno	1330.24	149				
3 D vezivo	Između grupa	301.000	2	150.500	21.495	.000	1 vs 3 2 vs 3
	Unutar grupa	1029.24	147	7.002			
	Ukupno	1330.24	149				
14 D acinus	Između grupa	27.893	2	13.947	1.574	.211	NS
	Unutar grupa	1302.88	147	8.863			
	Ukupno	1330.77	149				
14 D vezivo	Između grupa	27.893	2	13.947	1.574	.211	NS
	Unutar grupa	1302.88	147	8.863			
	Ukupno	1330.77	149				

30 D acinus	Između grupa	324.640	2	162.320	18.437	.000	1 vs 2 1 vs 3
	Unutar grupa	1294.22	147	8.804			
	Ukupno	1618.86	149				
30 D vezivo	Između grupa	324.640	2	162.320	18.437	.000	1 vs 2 1 vs 3
	Unutar grupa	1294.22	147	8.804			
	Ukupno	1618.86	149				
60 D acinus	Između grupa	13.613	2	6.807	.952	.388	
	Unutar grupa	1051.16	147	7.151			NS
	Ukupno	1064.77	149				
60 D vezivo	Između grupa	13.613	2	6.807	.952	.388	
	Unutar grupa	1051.16	147	7.151			NS
	Ukupno	1064.77	149				
90 D acinus	Između grupa	26.893	2	13.447	1.835	.163	
	Unutar grupa	1077.30	147	7.329			NS
	Ukupno	1104.19	149				
90 D vezivo	Između grupa	26.893	2	13.447	1.835	.163	
	Unutar grupa	1077.30	147	7.329			NS
	Ukupno	1104.19	149				

Tablica 3. Usporedba KONT. vs L. ORH. vs ORH po danim za acinus i vezivo tkivo izvanorbitalne žlijezde

L. ORH – Lažno orhidektomirane životinje; ORH. – Orhidektomirane životinje; KONT. – Kontrolna (intaktna) skupina; D – dana

ANOVA

		Zbroj kvadrata	df	Srednja vrijednost kvadrata	F	Značajno	Post hoc (Tuckey)
KONT. ACINUS	Između grupa	701.064	4	175.266	24.235	.000	1=3 d
	Unutar grupa	1771.800	245	7.232			2=14 d
	Ukupno	2472.864	249				3=30 d
KONT. VEZIVO	Između grupa	701.064	4	175.266	24.235	.000	4=60 d
	Unutar grupa	1771.800	245	7.232			5=90 d
	Ukupno	2472.864	249				1 vs 3
L. ORH. ACINUS	Između grupa	38.944	4	9.736	1.330	.260	2 vs 3
	Unutar grupa	1794.080	245	7.323			3 vs 4
	Ukupno	1833.024	249				3 vs 5
L. ORH. VEZIVO	Između grupa	38.944	4	9.736	1.330	.260	NS
	Unutar grupa	1794.080	245	7.323			NS
	Ukupno	1833.024	249				

ORH. ACINUS	Između grupa	367.496	4	91.874	10.283	.000	1 vs 3
	Unutar grupa	2188.920	245	8.934			1 vs 4
	Ukupno	2556.416	249				1 vs 5 2 vs 4
ORH. VEZIVO	Između grupa	367.496	4	91.874	10.283	.000	1 vs 3
	Unutar grupa	2188.920	245	8.934			1 vs 4
	Ukupno	2556.416	249				1 vs 5 2 vs 4

Tablica 4. Usporedba istih skupina po danima za acinus i vezivo izvanorbitalne suzne žljezde štakora

L. ORH – Lažno orhidektomirane životinje; ORH. – Orhidektomirane životinje; KONT. – Kontrolna (intaktna) skupina; D - dana

Deskriptivna analiza

	1 = 3 D 2 = 14 D 3 = 30 D 4 = 60 D 5 = 90 D	N	Srednja vrijednost	Standaardna devijacija	Standaardna greška	95% Interval pouzdanosti srednje vrijednosti		Minim-	Maksi-
						Donja granica	Gornja granica		
L. ORH	1	102	.88	1.037	.103	.68	1.09	0	5
	2	102	1.20	1.251	.124	.95	1.44	0	7
	3	102	1.15	.999	.099	.95	1.34	0	4
	4	102	1.11	1.142	.113	.88	1.33	0	4
	5	102	.91	1.025	.102	.71	1.11	0	5
	Ukupno	510	1.05	1.098	.049	.95	1.14	0	7
ORH	1	102	1.74	1.509	.149	1.44	2.03	0	6
	2	102	1.13	1.050	.104	.92	1.33	0	4
	3	102	1.29	1.199	.119	1.06	1.53	0	6
	4	102	1.02	1.108	.110	.80	1.24	0	5
	5	102	1.07	1.322	.131	.81	1.33	0	5
	Ukupno	510	1.25	1.270	.056	1.14	1.36	0	6

KON	1	102	1.07	1.237	.122	.83	1.31	0	5
T	2	102	1.45	1.216	.120	1.21	1.69	0	5
	3	102	1.29	1.199	.119	1.06	1.53	0	5
	4	102	.81	1.002	.099	.62	1.01	0	4
	5	102	.66	.802	.079	.50	.81	0	4
	Ukupno	510	1.06	1.138	.050	.96	1.16	0	5

Tablica 5. Rezultati deskriptivne analize za duljinu intralobularnih odvodnih kanala izvanorbitalne suzne žljezde

L. ORH – Lažno orhidektomirane životinje; ORH. – Orhidektomirane životinje; KONT. – Kontrolna (intaktna) skupina; D - dana

ANOVA

		Zbroj kvadrata	df	Srednja vrijednost kvadrata	F	Značajno	Post hoc (Tuckey)
L. ORH.	Između grupa	8.294	4	2.074	1.729	.142	1 = 3 d
	Unutar grupa	605.480	505	1.199			2 = 14 d
	Ukupno	613.775	509				3 = 30 d
ORH.	Između grupa	34.522	4	8.630	5.539	.000	4 = 60 d
	Unutar grupa	786.853	505	1.558			5 = 90 d
	Ukupno	821.375	509				NS
KON T.	Između grupa	43.949	4	10.987	9.016	.000	1 vs 2
	Unutar grupa	615.402	505	1.219			1 vs 4
	Ukupno	659.351	509				1 vs 5

Tablica 6. Usporedba istih skupina po danima za duljinu intralobularnih odvodnik kanala

izvanorbitalne suzne žljezde štakora

L. ORH – Lažno orhidektomirane životinje; ORH. – Orhidektomirane životinje; KONT. –

Kontrolna (intaktna) skupina; D – dana

ANOVA

	Zbroj kvadrata	df	Srednja vrijednost kvadrata	F	Značajno	Post hoc (Tuckey)
3 D	Između grupa	41.026	20.513	12.608	.000	1 L. ORH.
	Unutar grupa	492.961	1.627			2 ORH.
	Ukupno	533.987				3 KONT.
14 D	Između grupa	5.928	2.964	2.145	.119	1 vs 2
	Unutar grupa	418.676	1.382			2 vs 3
	Ukupno	424.605				
30 D	Između grupa	1.471	.735	.570	.566	NS
	Unutar grupa	391.147	1.291			NS
	Ukupno	392.618				
60 D	Između grupa	4.647	2.324	1.971	.141	1 vs 2
	Unutar grupa	357.235	1.179			2 vs 3
	Ukupno	361.882				

90 D	Između grupa	8.810	2	4.405	3.839	.023	2 vs 3
	Unutar grupa	347.716	303	1.148			
	Ukupno	356.526	305				

Tablica 7. Usporedba KONT. vs L. ORH. vs ORH po danima za duljinu intralobularnih odvodnih kanala izvanorbitalne žljezde

L. ORH – Lažno orhidektomirane životinje; ORH. – Orhidektomirane životinje; KONT. – Kontrolna (intaktna) skupina; D - dana

Deskriptivna analiza

1 KONT.	2 L. ORH	3 ORH	N	Srednja vrijednost	Standarnja devijacija	Standarnja greška	95% Interval pouzdanosti srednje vrijednosti		Minimum	Maksimum
							Donja granica	Gornja granica		
14 D Sekretno zrnce	1	73	21.73	9.730	1.139	19.46	24.00	2	41	
	2	73	26.30	11.968	1.401	23.51	29.09	4	58	
	3	73	28.12	10.175	1.191	25.75	30.50	1	45	
	Ukupno	219	25.38	10.956	.740	23.92	26.84	1	58	
14 D Hrapavi ER	1	73	25.48	8.056	.943	23.60	27.36	9	48	
	2	73	21.71	8.377	.980	19.76	23.67	4	45	
	3	73	21.95	6.553	.767	20.42	23.47	7	40	
	Ukupno	219	23.05	7.860	.531	22.00	24.09	4	48	
14 D Jezgra	1	73	4.75	3.274	.383	3.99	5.52	0	14	
	2	73	4.08	3.157	.369	3.35	4.82	0	19	
	3	73	3.71	2.418	.283	3.15	4.28	0	9	
	Ukupno	219	4.18	2.991	.202	3.78	4.58	0	19	
14 D Intersticij	1	73	8.32	6.712	.786	6.75	9.88	0	25	
	2	73	9.90	7.735	.905	8.10	11.71	0	31	
	3	73	9.16	7.828	.916	7.34	10.99	0	38	
	Ukupno	219	9.13	7.437	.503	8.14	10.12	0	38	

14 D	1	73	3.73	3.583	.419	2.89	4.56	0	19
Lumen acinusa	2	73	2.00	2.179	.255	1.49	2.51	0	9
	3	73	1.05	1.480	.173	.71	1.40	0	9
	Ukupno	219	2.26	2.786	.188	1.89	2.63	0	19
30 D	1	73	21.81	11.384	1.332	19.15	24.46	0	48
Sekretno zrnce	2	73	25.58	10.402	1.217	23.15	28.00	2	47
	3	73	28.25	9.947	1.164	25.93	30.57	2	50
	Ukupno	219	25.21	10.873	.735	23.76	26.66	0	50
30 D	1	73	29.07	8.857	1.037	27.00	31.14	6	50
Hrapavi ER	2	73	23.34	6.702	.784	21.78	24.91	8	38
	3	73	21.78	6.742	.789	20.21	23.35	5	43
	Ukupno	219	24.73	8.101	.547	23.65	25.81	5	50
30 D	1	73	5.07	4.080	.478	4.12	6.02	0	24
Jezgra	2	73	3.64	2.912	.341	2.96	4.32	0	12
	3	73	2.95	2.510	.294	2.36	3.53	0	13
	Ukupno	219	3.89	3.342	.226	3.44	4.33	0	24
30 D	1	73	7.38	6.563	.768	5.85	8.91	0	27
Intersticij	2	73	10.67	7.576	.887	8.90	12.44	0	30
	3	73	10.07	7.709	.902	8.27	11.87	0	36
	Ukupno	219	9.37	7.407	.500	8.39	10.36	0	36

30 D	1	73	.67	1.573	.184	.30	1.04	0	7
Lumen acinusa	2	73	.77	1.161	.136	.50	1.04	0	7
	3	73	.96	1.567	.183	.59	1.32	0	6
	Ukupno	219	.80	1.445	.098	.61	.99	0	7
60 D	1	73	27.47	11.670	1.366	24.74	30.19	3	54
Sekretno zrnce	2	73	31.73	9.034	1.057	29.62	33.83	9	52
	3	73	20.49	9.409	1.101	18.30	22.69	5	44
	Ukupno	219	26.56	11.078	.749	25.09	28.04	3	54
60 D	1	73	23.14	8.846	1.035	21.07	25.20	6	49
Hrapavi ER	2	73	21.38	7.956	.931	19.53	23.24	4	41
	3	73	30.90	8.732	1.022	28.87	32.94	7	51
	Ukupno	219	25.14	9.441	.638	23.88	26.40	4	51
60 D	1	73	4.44	2.944	.345	3.75	5.13	0	13
Jezgra	2	73	4.27	3.429	.401	3.47	5.07	0	15
	3	73	3.73	3.254	.381	2.97	4.49	0	12
	Ukupno	219	4.15	3.215	.217	3.72	4.57	0	15
60 D	1	73	6.75	5.510	.645	5.47	8.04	0	21
Intersticij	2	73	5.81	5.438	.636	4.54	7.08	0	35
	3	73	7.92	6.062	.709	6.50	9.33	0	24
	Ukupno	219	6.83	5.716	.386	6.07	7.59	0	35

60 D	1	73	2.21	2.477	.290	1.63	2.78	0	10
Lumen acinusa	2	73	.81	1.198	.140	.53	1.09	0	6
	3	73	.96	1.628	.191	.58	1.34	0	7
	Ukupno	219	1.32	1.942	.131	1.07	1.58	0	10
90 D	1	73	23.11	8.704	1.019	21.08	25.14	2	52
Sekretno zrnce	2	73	28.10	9.798	1.147	25.81	30.38	6	52
	3	73	26.11	12.378	1.449	23.22	29.00	1	57
	Ukupno	219	25.77	10.562	.714	24.37	27.18	1	57
90 D	1	73	28.12	7.265	.850	26.43	29.82	8	43
Hrapavi ER	2	73	24.40	7.949	.930	22.54	26.25	7	41
	3	73	28.89	8.892	1.041	26.82	30.97	7	46
	Ukupno	219	27.14	8.263	.558	26.04	28.24	7	46
90 D	1	73	4.60	2.947	.345	3.92	5.29	0	12
Jezgra	2	73	4.67	3.245	.380	3.91	5.43	0	15
	3	73	2.56	3.362	.394	1.78	3.35	0	14
	Ukupno	219	3.95	3.323	.225	3.50	4.39	0	15
90 D	1	73	7.48	5.396	.632	6.22	8.74	0	26
Intersticij	2	73	6.40	5.286	.619	5.16	7.63	0	26
	3	73	6.19	6.979	.817	4.56	7.82	0	31
	Ukupno	219	6.69	5.937	.401	5.90	7.48	0	31

90 D	1	73	.68	1.311	.153	.38	.99	0	5
Lumen acinusa	2	73	.44	.943	.110	.22	.66	0	6
	3	73	.25	.596	.070	.11	.39	0	3
	Ukupno	219	.46	1.005	.068	.32	.59	0	6

Tablica 8. Rezultati deskriptivne analize za sekretno zrnce, hrapavi endoplazmatski

retikulum, jezgru, intersticij, lumen acinusa tkivo izvanorbitalne suzne žljezde

L. ORH – Lažno orhidektomirane životinje; ORH. – Orhidektomirane životinje; KONT. –

Kontrolna (intaktna) skupina; D – dana

ANOVA

	Zbroj kvadrata	df	Srednja vrijednost kvadrata	F	Značajno	Post Hoc (Tuckey)
14 D Sekretno zrnce	Između grupa	1586.000	2	793.000	6.968	.001
	Unutar grupa	24583.781	216	113.814		1 vs 2 1 vs 3
	Ukupno	26169.781	218			
14 D Hrapavi ER	Između grupa	650.584	2	325.292	5.482	.005
	Unutar grupa	12816.959	216	59.338		1 vs 2 1 vs 3
	Ukupno	13467.543	218			
14 D Jezgra	Između grupa	40.667	2	20.333	2.299	.103
	Unutar grupa	1910.027	216	8.843		NS
	Ukupno	1950.694	218			

14 D Intersticij	Između grupa Unutar grupa Ukupno	92.311 11964.110 12056.420	2 216 218	46.155 55.389	.833	.436	NS
14 D Lumen acinusa	Između grupa Unutar grupa Ukupno	267.863 1424.301 1692.164	2 216 218	133.932 6.594	20.31 1	.000	1 vs 2 1 vs 3
30 D Sekretno zrnce	Između grupa Unutar grupa Ukupno	1527.626 24244.712 25772.338	2 216 218	763.813 112.244	6.805	.001	1 vs 3
30 D Hrapavi ER	Između grupa Unutar grupa Ukupno	2149.516 12155.589 14305.105	2 216 218	1074.758 56.276	19.09 8	.000	1 vs 2 1 vs 3
30 D Jezgra	Između grupa Unutar grupa Ukupno	170.968 2263.178 2434.146	2 216 218	85.484 10.478	8.159	.000	1 vs 2 1 vs 3

30 D Intersticij	Između grupa	447.269	2	223.635	4.196	.016	1 vs 2
	Unutar grupa	11512.027	216	53.296			
	Ukupno	11959.297	218				
30 D Lumen acinusa	Između grupa	3.132	2	1.566	.748	.474	NS
	Unutar grupa	452.027	216	2.093			
	Ukupno	455.160	218				
60 D Sekretno zrnce	Između grupa	4694.986	2	2347.493	22.98 9	.000	1 vs 2
	Unutar grupa	22056.932	216	102.115			1 vs 3
	Ukupno	26751.918	218				2 vs 3
60 D Hrapavi ER	Između grupa	3748.393	2	1874.196	25.81 4	.000	1 vs 2
	Unutar grupa	15682.219	216	72.603			2 vs 3
	Ukupno	19430.612	218				
60 D Jezgra	Između grupa	20.311	2	10.155	.982	.376	NS
	Unutar grupa	2233.014	216	10.338			
	Ukupno	2253.324	218				

60 D Intersticij	Između grupa	163.023	2	81.511	2.530	.082	NS
	Unutar grupa	6960.384	216	32.224			
	Ukupno	7123.406	218				
60 D Lumen acinusa	Između grupa	85.872	2	42.936	12.59	.000	1 vs 2
	Unutar grupa	736.110	216	3.408	9		1 vs 3
	Ukupno	821.982	218				
90 D Sekretno zrnce	Između grupa	920.009	2	460.005	4.246	.016	1 vs 2
	Unutar grupa	23398.575	216	108.327			
	Ukupno	24318.584	218				
90 D Hrapavi ER	Između grupa	843.397	2	421.699	6.487	.002	1 vs 2
	Unutar grupa	14042.493	216	65.012			2 vs 3
	Ukupno	14885.890	218				
90 D Jezgra	Između grupa	209.781	2	104.890	10.31	.000	1 vs 3
	Unutar grupa	2197.562	216	10.174	0		2 vs 3
	Ukupno	2407.342	218				

90 D Intersticij	Između grupa	69.872	2	34.936	.991	.373	NS
	Unutar grupa	7615.014	216	35.255			
	Ukupno	7684.886	218				
90 D Lumen acinusa	Između grupa	7.050	2	3.525	3.570	.030	1 vs 3
	Unutar grupa	213.288	216	.987			
	Ukupno	220.338	218				

Tablica 9. Usporedba KONT. vs L. ORH. vs ORH po danima za sekretno zrnce, hrapavi endoplazmatski retikulum, jezgru, intersticij, lumen acinusa izvanorbitalne žljezde

L. ORH – Lažno orhidektomirane životinje; ORH. – Orhidektomirane životinje; KONT. – Kontrolna (intaktna) skupina; D - dana

ANOVA

	Zbroj kvadrata	df	Srednja vrijednost kvadrata	F	Značajno	Post Hoc (Tuckey)
KONT. Sekretno zrnce	Između grupa	1597.658	3	532.553	4.883	.003
	Unutar grupa	31409.123	288	109.059		1 = 14 d 2 = 30 d
	Ukupno	33006.781	291			3 = 60 d 4 = 90 d
KONT. Hrapavi ER	Između grupa	1574.932	3	524.977	7.653	.000
	Unutar grupa	19755.397	288	68.595		1 vs 3 2 vs 3
	Ukupno	21330.329	291			3 vs 4
KONT. Jezgra	Između grupa	15.736	3	5.245	.469	.704
	Unutar grupa	3219.671	288	11.179		NS
	Ukupno	3235.408	291			
KONT. Intersticij	Između grupa	90.120	3	30.040	.814	.487
	Unutar grupa	10626.795	288	36.899		NS
	Ukupno	10716.914	291			

KONT. Lumen acinusa	Između grupa	466.438	3	155.479	26.84 1	.000	1 vs 2 1 vs 3 1 vs 4 2 vs 3 3 vs 4
	Unutar grupa	1668.301	288	5.793			
	Ukupno	2134.740	291				
L. ORH. Sekretno zrnce	Između grupa	1652.288	3	550.763	5.135	.002	1 vs 3 2 vs 3
	Unutar grupa	30892.055	288	107.264			
	Ukupno	32544.342	291				
L. ORH. Hrapavi ER	Između grupa	438.120	3	146.040	2.418	.066	
	Unutar grupa	17394.137	288	60.396			NS
	Ukupno	17832.257	291				
L. ORH. Jezgra	Između grupa	39.901	3	13.300	1.306	.273	
	Unutar grupa	2932.877	288	10.184			NS
	Ukupno	2972.777	291				
L. ORH. Intersticij	Između grupa	1312.640	3	437.547	10.01 6	.000	1 vs 3 1 vs 4 2 vs 3 2 vs 4 3 vs 4
	Unutar grupa	12581.233	288	43.685			
	Ukupno	13893.873	291				
L. ORH. Lumen acinusa	Između grupa	102.668	3	34.223	16.25 5	.000	1 vs 2 1 vs 3 1 vs 4
	Unutar grupa	606.329	288	2.105			
	Ukupno	708.997	291				

ORH Sekretno zrnce	Između grupa	2892.914	3	964.305	8.683	.000	1 vs 3 2 vs 3 3 vs 4
	Unutar grupa	31982.822	288	111.051			
	Ukupno	34875.736	291				
ORH Hrapavi ER	Između grupa	4861.079	3	1620.360	26.594	.000	1 vs 3 1 vs 4 2 vs 3 2 vs 4
	Unutar grupa	17547.726	288	60.930			
	Ukupno	22408.805	291				
ORH Jezgra	Između grupa	73.462	3	24.487	2.877	.036	NS
	Unutar grupa	2451.233	288	8.511			
	Ukupno	2524.695	291				
ORH Intersticij	Između grupa	617.603	3	205.868	3.994	.008	2 vs 4
	Unutar grupa	14843.507	288	51.540			
	Ukupno	15461.110	291				
ORH Lumen acinusa	Između grupa	30.777	3	10.259	5.361	.001	1 vs 4 2 vs 4 3 vs 4
	Unutar grupa	551.096	288	1.914			
	Ukupno	581.873	291				

Tablica 10. Usporedba istih skupina po danima za sekretno zrnce, hrapavi endoplazmatski retikulum, jezgru, intersticij, lumen acinusa izvanorbitalne žlijezde

L. ORH – Lažno orhidektomirane životinje; ORH. – Orhidektomirane životinje; KONT. – Kontrolna (intaktna) skupina; D – dana

20. Životopis

Dr. Gordan Grahovac, specijalist neurokirurg, Odjel za neurokirurgiju KB "Dubrava"

Dr. Gordan Grahovac rođen je 1978. godine. Osnovnu i srednju školu završio je u Zagrebu gdje 1997. godine upisuje Medicinski fakultet Sveučilišta u Zagrebu. Diplomu istog Fakulteta stječe 2003. godine.

Tijekom studija istakao se visokim prosjekom ocjena. Pri brojnim katedrama Medicinskog fakulteta obavljao je dužnost demonstratora. Nakon završenog studija postaje znanstveni novak pri Katedri za histologiju i embriologiju, Medicinskog fakulteta Sveučilišta u Zagrebu. Specijalizaciju iz neurokirurgije počinje 2006. godine u KB "Dubrava", a specijalistički ispit iz neurokirurgije položio je 2012. Godine. Tijekom specijalizacije bio je stručnom usavršavanju iz područja minimalno invazivne endoskopske neurokirurgije u trajanju od tri mjeseca na Cornell University, New York, USA.

Dobitnik je nagrade rektora Sveučilišta u Zagrebu 1998. godine za najbolji studentski znanstveni rad. Rad je bio izrađen pod mentorstvom profesora dr.sc. Slobodana Vukičevića u čijem je laboratoriju kontinuirano radio kao student od 1998. do 2003. godine. Daljnji istraživački rad nastavlja kao istraživač (research fellow) u Department of Biological Chemistry and Molecular Pharmacology, Division of Matrix Biology, Department of Medicine, Beth Israel Deaconess Medical Center, Boston, USA, pod vodstvom dr. Raghu Kallurija. Za vrijeme specijalizacije boravi na jednomjesečnom obilasku odjela neurokirurgije, Mayo Clinic, Rochester, Minnesota, USA.

Autor je više znanstvenih i stručnih radova u domaćim i stranim časopisima.